



รายงานการวิจัย

การปรับปรุงระบบการผลิตและคุณภาพอุตสาหกรรมน้ำดื่มสำหรับชุมชน

Improving Process and Quality of Drinking Water Industry

คณะผู้วิจัย

หัวหน้าโครงการ
ทูลพัฒน์ พงษ์ มัตรraz
ภาควิชาวิสาหกรรมเคมี คณะวิศวกรรมศาสตร์
มหาวิทยาลัยอุบลราชธานี

ผู้ร่วมวิจัย
สุมนา ภิรพัฒนาภูต
ภาควิชาวิสาหกรรมเคมี คณะวิศวกรรมศาสตร์
มหาวิทยาลัยอุบลราชธานี

โครงการวิจัยนี้ได้รับทุนสนับสนุนการวิจัยจากเงินรายได้ของมหาวิทยาลัยอุบลราชธานี

ประจำปีงบประมาณ พ.ศ. 2546

ISBN 974-609-236-7



A Research Report

Improving Process and Quality of Drinking Water Industry

Researchers

Head of Project

Supatpong Mattaraj

Department of Chemical Engineering, Faculty of Engineering
Ubon Rajathanee University

Co-Researchers

Sumana Siripattanakul

Department of Chemical Engineering, Faculty of Engineering
Ubon Rajathanee University

This research was financially supported from Ubon Rajathanee University
In Finance Year, 2003

ISBN 974-609-236-7

รายงานการวิจัยเรื่อง	การปรับปรุงระบบการผลิตและคุณภาพอุดสาหกรรมน้ำดื่มสำหรับชุมชน
หัวหน้าโครงการ	นายสุพันธุ์ พงษ์ มัตราช
ผู้ร่วมโครงการ	นางสาวสุมนา สิริพัฒนาฤกุล
ภาควิชาวิศวกรรมเคมี	คณะวิศวกรรมศาสตร์ มหาวิทยาลัยอุบลราชธานี
ปีงบประมาณ	2546
งบประมาณที่ได้รับ	40,000.- บาท
คำสำคัญ	น้ำดื่ม สารแมลงน้ำส ถ่านกัมมันต์ สารเรซิ่น

บทคัดย่อ

โครงการวิจัยนี้ออกแบบเพื่อตรวจสอบประสิทธิภาพของกระบวนการผลิตน้ำดื่มและการปรับปรุงคุณภาพน้ำดื่ม แหล่งน้ำที่ใช้ในการทดสอบเป็นน้ำดื่มจากชุมชนลับแล อำเภอวารินชำราบ จังหวัดอุบลราชธานี สารกรองทั้งสี่ชนิดที่ใช้ในกระบวนการผลิตน้ำดื่มน้ำดื่มประกอบด้วยสารแมลงน้ำส ถ่านกัมมันต์ สารเรซิ่นประจุบวกและสารเรซิ่นประจุลบ การทดลองพบว่าสารแมลงน้ำสสามารถให้ค่าการกำจัดเหล็กและแมลงน้ำสต้าอ่อนน้อมจากผลของการเข้มข้นของเหล็กและแมลงน้ำสที่มีค่าอนข้างค่าอนน้ำดื่มอย่าง ถ่านกัมมันต์ให้คุณภาพสารอินทรีย์ธรรมชาติได้ดีโดยการกำจัดของสารอนละลายน้ำประมาณ 74.2% ถึง 88.5% จากการเพิ่มปริมาณของถ่านกัมมันต์จาก 0.5 กรัม ถึง 2.0 กรัม การทดสอบของสารเรซิ่นพบว่าปริมาณสารเรซิ่นประจุบวกเพิ่มจาก 0.5 กรัม ถึง 2.0 กรัม สารเรซิ่นสามารถกำจัดแคลเซียม แมกนีเซียมและความกระด้างของน้ำประมาณ 35.7%-43.2%, 10.5%-13.7%, และ 25.1%-31.2% ตามลำดับ ส่วนสารเรซิ่นประจุลบให้การกำจัดซัลเฟต และไนเตรตค่อนข้างค่า ส่งผลทำให้ความเข้มข้นของสารน้ำมีค่าเกินมาตรฐานน้ำดื่มน อย่างไรก็ตาม สารเรซิ่นประจุลบสามารถกำจัดไนเตรตได้ดีเมื่อทำการทดสอบสารเรซิ่นด้วย 10% ของกรดไฮโดรคลอริกก่อนที่จะถูกใช้งาน ส่วนในกระบวนการผลิตน้ำดื่มสารเรซิ่นประจุลบควรทำความสะอาด และล้างขอนกลับอย่างระมัดระวังด้วยการใช้กรดไฮโดรคลอริกเพื่อเพิ่มการกำจัดซัลเฟตและไนเตรตให้ดีขึ้น และให้คุณภาพน้ำดื่มน้ำดื่มที่ดี รวมทั้งให้ระยะเวลาของการดำเนินระบบที่นานขึ้น

Improving Process and Quality of Drinking Water Industry

Head of Project Mr. Supatpong Mattaraj

Co-researchers Miss Sumana Siripattanakul

Department of Chemical Engineering, Faculty of Engineering, Ubon Rajathanee University

In Finance Year 2003 for 40,000.- Baht

Keyword Drinking water, Manganese, Activated carbon, Ion exchange resin

Abstract

This research project was designed to investigate the efficiency of drinking water process and improve the quality of drinking water. Source water obtained from Lablae Community, Amphor Warinchumrab, Ubon Rajathanee, was used in this study. Four different materials, used in drinking water process, were manganese, activated carbon, cation exchange resin, and anion exchange resin. It was found that manganese resin provided low iron and manganese removal, possibly due to low concentrations of iron and manganese in source water. Activated carbon could adsorb natural organic matter effectively while the rejections of dissolved organic carbon were approximately 74.2% to 88.5% with increasing weight of carbon from 0.5 g to 2.0 g. It was observed that cation exchange resin ranging from 3 to 10 g could remove calcium, magnesium, and hardness approximately 35.7%-43.2%, 10.5%-13.7%, and 25.1%-31.2%, respectively. Anion exchange resin provided relatively low sulfate and nitrate removal, indicating higher concentrations than those of drinking water standard. However, this resin could remove nitrate effectively when it was cleaned with 10% hydrochloric acid (HCl) before used. In the drinking water process, anion exchange resin should be carefully cleaned and regenerated with hydrochloric acid in order to improve sulfate and nitrate removal and to provide high quality of drinking water and long-term period of operation.

กิตติกรรมประกาศ

งานวิจัยครั้งนี้สำเร็จลุล่วงไปได้ด้วยดี ด้วยการสนับสนุนจากทุนวิจัยจากเงินรายได้ของมหาวิทยาลัยอุบลราชธานี ดังนั้นผู้วิจัยขอรับขอบพระคุณไว้ ณ ที่นี่

ขอขอบพระคุณทางคณะวิศวกรรมศาสตร์ โดยภาควิชาวิศวกรรมเคมีที่ให้ความอนุเคราะห์ สถานที่ทำการวิจัย และขอขอบพระคุณชุมชนล้านเต อำเภอวารินชำราบ จังหวัดอุบลราชธานี ที่เอื้อเพื่อตัวอย่างในการศึกษา รวมทั้งให้ข้อมูลในการผลิตน้ำดื่มอย่างละเอียด

นอกจากนี้แล้วในการทำงานวิจัยครั้งนี้คงจะไม่สามารถดำเนินการได้ครบถ้วน หากขาดความร่วมมือจากครุภูนิคิการภาควิชาวิศวกรรมเคมี ซึ่งได้แก่ นางสาวยุภาพร อรุณา และนายไชยคนน์ ใจเย็นคุ นักศึกษาช่วยงานวิจัย ได้แก่ นายpermศักดิ พวงพลดอย นักศึกษาภาควิชาเคมีคณะวิทยาศาสตร์ และนายมนตรี สามหมื่น นักศึกษาภาควิชาวิศวกรรมโยธา คณะวิศวกรรมศาสตร์

ผู้วิจัยหวังเป็นอย่างยิ่งว่าโครงการวิจัยครั้งนี้ จะเป็นประโยชน์ในการพัฒนากระบวนการผลิตน้ำดื่มและเพิ่มประสิทธิภาพการผลิตของอุตสาหกรรมน้ำดื่มสำหรับชุมชน

สุพัฒน์ พงษ์ มัตราช
สุวนานา สิริพัฒนาคุล

เมษายน 2547

สารบัญ

	หน้า
ปกในภาษาไทย	ii
ปกในภาษาอังกฤษ	iii
บทคัดย่อภาษาไทย	iv
บทคัดย่อภาษาอังกฤษ	v
กิตติกรรมประกาศ	vi
สารบัญ	vii
สารบัญตาราง	ix
สารบัญภาพ	x
1. บทนำ	
1.1 หลักการและเหตุผลของโครงการ	1
1.2 วัตถุประสงค์ของโครงการ	2
1.3 ขอบเขตการวิจัย	3
1.4 ประโยชน์ที่คาดว่าจะได้รับ	3
2. ทฤษฎีและงานวิจัยที่เกี่ยวข้อง	
2.1 กระบวนการและทฤษฎีที่ใช้ในการผลิตน้ำดื่ม	5
2.2 ขั้นตอนการผลิตน้ำดื่ม	13
2.3 มาตรฐานที่เกี่ยวข้องกับการผลิตน้ำดื่ม	14
3. แผนการวิจัย	
3.1 กรอบแนวคิดการวิจัย	19
3.2 การออกแบบการทดลอง	21
3.3 อุปกรณ์และเครื่องมือที่ใช้ในการวิจัย	25
4. ผลการวิจัย	
4.1 ผลการวิจัยศึกษากระบวนการผลิตน้ำดื่มน้ำชุมชนตัวอย่าง	32
4.2 ผลและการวิเคราะห์การทดลองแบบไม่ค่อนเนื่อง	36
4.3 ผลและการวิเคราะห์การทดลองแบบค่อนเนื่อง	60
4.4 ผลและการวิเคราะห์การทดลองของน้ำดื่มน้ำชุมชน	64
4.5 ข้อสรุปและการทดลอง	68

สารบัญ (ต่อ)

	หน้า
5. สรุปและข้อเสนอแนะ	
5.1 สรุปผลการศึกษา	70
5.2 ข้อเสนอแนะ	71
บรรณานุกรม	73
ประวัตินักวิจัย 1	74
ประวัตินักวิจัย 2	80

สารบัญตาราง

	หน้า
ตารางที่ 2.1 การจับคือของประชารัฐออกอนที่มีค่าเริ่มน	12
ตารางที่ 2.2 ประโยชน์ของสารกรองแต่ละชนิด	13
ตารางที่ 2.3 ประโยชน์ของอุปกรณ์ในการกรองและฆ่าเชื้อจุลินทรีย์	14
ตารางที่ 2.4 มาตรฐานผลิตภัณฑ์อุตสาหกรรมน้ำบริโภค	14
ตารางที่ 2.5 มาตรฐานคุณภาพน้ำดื่มในภาคตะวันออกเฉียงเหนือที่ปัจจุบัน	17
ตารางที่ 3.1 แผนการดำเนินงานทั้งโครงการ	20
ตารางที่ 3.2 คุณสมบัติทางกายภาพของสารแมงกานีส	21
ตารางที่ 3.3 คุณสมบัติทางกายภาพของถ่านกัมมันต์	23
ตารางที่ 3.4 คุณสมบัติทางกายภาพของเรซิ่นประจุบวก	23
ตารางที่ 3.5 คุณสมบัติทางกายภาพของเรซิ่นประจุลบ	24
ตารางที่ 4.1 อุปกรณ์ของระบบที่ใช้ในกระบวนการผลิตน้ำดื่มน้ำแข็งของชุมชนลับแล	33
ตารางที่ 4.2 คุณภาพของน้ำดื่มน้ำแข็งสำหรับการผลิตน้ำดื่มในชุมชนลับแล	35
ตารางที่ 4.3 ประสิทธิภาพการกำจัดโดยสารเรซิ่นประจุบวก	55
ตารางที่ 4.4 คุณภาพน้ำที่ผ่านกระบวนการผลิตสารแมงกานีส สารกรอง สารเรซิ่นประจุบวกและลบ	65

สารบัญภาพ

	หน้า
ภาพที่ 3.1 กรอบแนวทางการทำงานของโครงการ	19
ภาพที่ 3.2 ความสัมพันธ์ระหว่างค่าการคุณลักษณะและความเข้มข้นของสารเหล็ก	26
ภาพที่ 3.3 ความสัมพันธ์ระหว่างค่าการคุณลักษณะและความเข้มข้นของสารแมงกานีส	27
ภาพที่ 3.4 ความสัมพันธ์ระหว่างค่าการคุณลักษณะและความเข้มข้นของสารในเครด	27
ภาพที่ 3.5 ความสัมพันธ์ระหว่างค่าการคุณลักษณะและความเข้มข้นของสารซัลเฟต	28
ภาพที่ 3.6 ความสัมพันธ์ระหว่างค่าการคุณลักษณะและความเข้มข้นของอินทรีบอร์น	29
ภาพที่ 3.7 ความสัมพันธ์ระหว่างความเข้มข้นของโซเดียมคลอไรด์และการนำไฟฟ้า	30
ภาพที่ 3.8 ความสัมพันธ์ระหว่างความชุ่มที่วัดได้กับค่าความชุ่มที่เป็นตัวอย่างมาตรฐาน	31
ภาพที่ 4.1 ขั้นตอนการผลิตน้ำดื่มของชุมชนลับแล	32
ภาพที่ 4.2 ความสามารถในการกำจัดเหล็กตามปริมาณของสารแมงกานีส	37
ภาพที่ 4.3 ความเข้มข้นของเหล็กตามปริมาณของสารแมงกานีส	38
ภาพที่ 4.4 สัมประสิทธิ์การกระจายของเหล็กโดยสารแมงกานีส	39
ภาพที่ 4.5 ความสามารถในการกำจัดแมงกานีสตามปริมาณของสารแมงกานีส	40
ภาพที่ 4.6 สัมประสิทธิ์การกระจายของแมงกานีสโดยใช้สารแมงกานีส	41
ภาพที่ 4.7 ความสามารถในการจับตัวของไอออนโดยใช้สารแมงกานีส	42
ภาพที่ 4.8 ความเข้มข้นคาร์บอนของสารละลายน้ำอินทรีที่สามารถนำหันกล่องถ่านกันมันต์	43
ภาพที่ 4.9 ปริมาณการคุณลักษณะของสารอินทรีที่สามารถระยำเวลาการทดสอบ	44
ภาพที่ 4.10 ปริมาณการคุณลักษณะของสารอินทรีที่สามารถปริมาณของถ่านกันมันต์	45
ภาพที่ 4.11 ความเข้มข้นของแคลเซียมตามปริมาณของสารเรซิ่นประจุบวก	46
ภาพที่ 4.12 ความสามารถในการกำจัดแคลเซียมตามระยำเวลาการทดสอบ	47
ภาพที่ 4.13 ความสามารถในการกำจัดแคลเซียมตามปริมาณของสารเรซิ่นประจุบวก	48
ภาพที่ 4.14 สัมประสิทธิ์การกระจายของแคลเซียมโดยใช้สารเรซิ่นประจุบวก	49

สารบัญภาค (ต่อ)

	หน้า
ภาพที่ 4.15 ความเข้มข้นของแมกนีเซียมตามปริมาณของสารเรซินประจุบวก	50
ภาพที่ 4.16 ความสามารถในการกำจัดแมกนีเซียมด้วยระยะเวลาการทดสอบ	51
ภาพที่ 4.17 สัมประสิทธิ์การกระจายของแมกนีเซียมโดยใช้สารเรซินประจุบวก	52
ภาพที่ 4.18 ความสามารถในการกำจัดไอออนโคดิยสารเรซินประจุบวก	52
ภาพที่ 4.19 อัตราส่วนของสัมประสิทธิ์การกระจายระหว่างแคลเซียมและแมกนีเซียม	53
ภาพที่ 4.20 ความเข้มข้นของความกระต้างตามปริมาณของสารเรซินประจุบวก	54
ภาพที่ 4.21 ความสามารถในการกำจัดความกระต้างโดยสารเรซินประจุบวก	54
ภาพที่ 4.22 ความเข้มข้นของชัลเพดตามปริมาณของสารเรซินประจุลบ	56
ภาพที่ 4.23 ความสามารถในการกำจัดชัลเพดโดยสารเรซินประจุลบ	57
ภาพที่ 4.24 ความเข้มข้นของไนเตรตตามปริมาณของสารเรซินประจุลบ	58
ภาพที่ 4.25 ความสามารถในการกำจัดไนเตรตโดยสารเรซินประจุลบ	59
ภาพที่ 4.26 ความสามารถในการกำจัดไอออนโคดิยสารเรซินประจุลบ	60
ภาพที่ 4.27 การปรับอัตราการไหลของปั๊ม	61
ภาพที่ 4.28 อัตราการไหลจริงที่เข้าสู่ระบบและออกจากระบบ	61
ภาพที่ 4.29 ประสิทธิภาพการล้างเรซินก่อนการทดสอบสารเรซินประจุลบ	62
ภาพที่ 4.30 ประสิทธิภาพการกำจัดไนเตรตโดยสารเรซินประจุลบในคลันน์	63
ภาพที่ 4.31 อัตราการไหลต่อประสิทธิภาพการกำจัดไนเตรตโดยสารเรซินประจุลบ	64
ภาพที่ 4.32 ความเข้มข้นของไนเตรตตามปริมาณน้ำที่ผ่านกระบวนการผลิต	67

บทที่ 1

บทนำ

1.1 หลักการและเหตุผลของโครงการ

ปัจจุบันการผลิตน้ำดื่มได้ขยายตัวมากขึ้นทั้งในระดับชุมชนและอุดสาหกรรม กระบวนการผลิตน้ำดื่มของแต่ละระดับก็มีความแตกต่างกันไปทั้งนี้ขึ้นอยู่กับคุณภาพของแหล่งน้ำ ความสามารถในการลงทุนของการผลิต โดยมีคุณภาพน้ำดื่มเป็นดัชนีที่สำคัญตามที่กฎหมายได้กำหนด มาตรฐานคุณภาพน้ำดื่มเพื่อผลิตภัณฑ์อุดสาหกรรมน้ำบริโภค และมาตรฐานคุณภาพน้ำดื่มในภาคตะวันออกที่ปิดสนิท อย่างไรก็ตามเพื่อให้ได้คุณภาพน้ำดื่มที่เหมาะสมตรงตามมาตรฐานที่กำหนดและลดค่าใช้จ่ายในกระบวนการผลิต จึงจำเป็นอย่างยิ่งคือการกระบวนการผลิตน้ำดื่มของแต่ละขั้นตอนเพื่อศึกษาประสิทธิภาพการผลิตและคุณภาพน้ำดื่มหลังผ่านกระบวนการผลิต ซึ่งจะเป็นประโยชน์ในการลดค่าใช้จ่ายในการดำเนินระบบ การเพิ่มประสิทธิภาพการผลิตน้ำดื่มและคุณภาพน้ำที่ได้เกณฑ์มาตรฐานตามที่กฎหมายกำหนด

แหล่งน้ำที่ใช้ในการผลิตน้ำดื่มโดยทั่วไปอาจมาจากการน้ำประปา น้ำพิวดินและน้ำใต้ดิน (น้ำบาดาล) น้ำประปาเป็นน้ำที่มีคุณภาพน้ำดื่มค่อนข้างดีค่าใช้จ่ายในการผลิตน้ำดื่มอาจสูงเนื่องจาก การหน่วยการลงทุนในการผลิตน้ำสูง น้ำพิวดินส่วนใหญ่จะมีปัญหารื่องของความชุ่ม สารแขวนลอย และมีสิ่งปนเปื้อนสูงแต่จะมีปริมาณเรื่อยๆต่ำกว่าในน้ำใต้ดิน การบ้าน้ำดื่มน้ำจึงต้องใช้กระบวนการกรองเพื่อเพื่อลดปัญหาความชุ่มและสารแขวนลอย อย่างไรก็ตามในเขตพื้นที่ภาคตะวันออกเฉียงเหนืออาจมีการใช้น้ำจากแหล่งน้ำใต้ดินมากกว่าน้ำพิวดิน โดยทั่วไปน้ำใต้ดินได้รับการปนเปื้อนจากสิ่งสกปรกภายนอกน้อยเมื่อเทียบกับแหล่งน้ำพิวดิน เนื่องจากน้ำที่ไหลเขมลลงได้ดินถูกกรองด้วยชั้นดินและชั้นหินก้อน แต่ในขณะเดียวกันแหล่งน้ำใต้ดินประกอบไปด้วยแร่ธาตุต่างๆ ที่เจือปนอยู่จำนวนมากหลากหลายชนิด เช่นเหล็ก แมงกานีส ในเครดและชั้นฟลู ดังนั้นในการผลิตน้ำดื่มน้ำบริสุทธิ์จำเป็นต้องมีการปรับปรุงคุณภาพน้ำทั้งนี้ขึ้นอยู่กับแหล่งน้ำดื่มและคุณภาพของน้ำที่แยกค่างกันออกไว้

กระบวนการผลิตน้ำดื่มน้ำบริสุทธิ์สามารถกระทำได้โดยผ่านหลายขั้นตอนการผลิต เริ่มต้นจากการคัดกอนของสารแขวนลอยในเบื้องต้นก่อนผ่านเข้าสู่ระบบการบ้าน้ำดื่มน้ำอ่อน ๆ เช่น การผ่านถังกรองทรายเพื่อกำจัดสารแขวนลอย ถังกรองแมงกานีสเพื่อกำจัดเหล็กและแมงกานีส (ไฟศาลา 2545) ถังกรองการรับอนเพื่อคุณภาพกลิ่นและสารอินทรีย์ การแยกเปลี่ยนไอก่อนโดยใช้เครื่องประจุบวกและลบ (มั่นสินและไฟพรอม 2545) โดยสารเรซิ่นประจุบวกสามารถใช้เพื่อกำจัด

ความกระต้างของน้ำที่ประกบด้วยแคลเซียมและแมกนีเซียม นอกจานี้สามารถกำจัดธาตุเหล็ก และธาตุแมงกานีสตัวอักษร การแยกเปลี่ยนประจุลบโดยใช้สารเรซิ่นสามารถใช้กำจัดประจุลบเข่นกอล์ฟรีด ชัลเพด และไนเตรตที่เจือปนมาในน้ำ การใช้น้ำผ่านการกรองแบบไมโครฟิลเตอร์ชั้น (microfiltration) เพื่อกำจัดสารแขวนลอย หรือการกรองที่มีรูกรองมีขนาดเล็กกว่าไมโครฟิลเตอร์ชั้น เข่น ระบบกรองแบบ nanoфильтร์ (nanofiltration) แม้กระหั่งระบบบริเวรส์ออสโนว์สหราชอาณาจักร (reverse osmosis) เพื่อใช้ในการกำจัดสารอินทรีย์ในน้ำ (Mataraj and Kilduff, 2003) สุดท้ายการผ่านกระบวนการกรองร่างเชื้อเบคทีเรียโดยการใช้แสงยูวีอุตศรีไวโอลेट หรือโอโซน (ozone)

ชุมชนบ้านลับและเป็นชุมชนขนาดใหญ่ในอ่าเภอวารินชำราบ จังหวัดอุบลราชธานี ในชุมชนมีอุดสาหกรรมการผลิตน้ำดื่มเพื่อใช้บริโภคภายในห้องเดิน โดยมีแหล่งน้ำเดินเป็นแหล่งน้ำได้เดิน ในกระบวนการผลิตประกบด้วยขันตอนด่าง ๆ หลายขันตอน เห็น การแยกเปลี่ยนประจุ การกรอง ตลอดจนการร่างเข้าโครงด้วยรังสียูวี ซึ่งระบบดังกล่าวเป็นระบบที่สามารถผลิตน้ำดื่มน้ำที่มีคุณภาพดีได้ แต่ย่างไรก็ตามเมื่อใช้ระบบไปเป็นเวลานานก็จำเป็นจะต้องมีการเปลี่ยนหรือปรับปรุงระบบ เห็น การเปลี่ยนวัสดุกรอง หรือการทำความสะอาดเครื่อง เป็นต้น ซึ่งในขันตอนนี้เป็นปัญหาของชุมชนบ้านลับและชุมชนส่วนใหญ่ ก่อ ขาดความรู้ในการดูแลระบบที่เหมาะสมกับคุณภาพน้ำของแหล่งน้ำเดินชุมชน ทำให้ระบบมีอัตราการใช้งานน้อย ไม่สามารถผลิตน้ำที่มีคุณภาพน้ำได้ตามต้องการ รวมทั้งในการผลิตก็มีต้นทุนในการผลิตสูง ดังนั้นในเมืองของการดูแลระบบการผลิตน้ำดื่มน้ำ การตรวจสอบคุณภาพน้ำและประสิทธิภาพของระบบจึงมีความสำคัญอย่างยิ่ง เพื่อให้สามารถผลิตน้ำดื่มน้ำที่ได้มาตรฐาน และมีค่าใช้จ่ายในการดูแลระบบผลิตไม่สูงนัก

จากเหตุผลดังกล่าวจึงนิจึงเป็นการวิจัยศึกษาหาประสิทธิภาพ และความคุ้มคุณภาพจากกระบวนการผลิต การออกแบบสำหรับกระบวนการผลิตน้ำดื่มน้ำ ความคุ้มทุนในการผลิตเมื่อเทียบกับค่าใช้จ่ายในการดูแลหรือเปลี่ยนวัสดุในกระบวนการผลิต นอกจานี้นิจึงนิจึงสามารถด้วยกันให้กับชุมชนห้องเดินอื่นที่สนใจทำการผลิตน้ำบริสุทธิ์ หรือด้วยกันเทคโนโลยีที่เป็นประโยชน์ต่อโรงงานอุตสาหกรรมที่เกี่ยวข้องอีกด้วย

1.2 วัตถุประสงค์ของโครงการ

- 1) ศึกษาระบวนการผลิตน้ำดื่มเพื่อให้เหมาะสมสำหรับชุมชนและอุดสาหกรรม
- 2) ศึกษาประสิทธิภาพของสารทดสอบในกระบวนการผลิตน้ำดื่มและประเมินค่าใช้จ่าย เนื่องด้วยในการดำเนินการผลิตน้ำดื่มน้ำ
- 3) ศึกษาคุณภาพน้ำที่มีผลต่อการวิเคราะห์และการปรับปรุงกระบวนการผลิตน้ำดื่มน้ำให้ความ เหมาะสมกับการผลิตน้ำดื่มน้ำที่ได้มาตรฐานยิ่งขึ้น

1.3 ขอบเขตงานวิจัย

1. เลือกสถานที่ที่ใช้เป็นแหล่งน้ำดิบสำหรับผลิตน้ำดื่มของชุมชน วิเคราะห์คุณภาพน้ำดื่มน้ำย่างและเปรียบเทียบกับมาตรฐานคุณภาพน้ำดื่มน้ำดื่ม พร้อมทั้งศึกษาระบวนการผลิตน้ำดื่มของโรงงานคืนแบบสำหรับชุมชน
 2. ทดสอบสารที่ใช้ในกระบวนการผลิตน้ำดื่ม เช่น สารเคมีกันเสีย สารเคมีกันเรื้อรัง สารเคมีกันเชื้อ สารเคมีกันกลิ่น สารเคมีกันสี และสารเคมีกันกรด โดยการทดสอบแบบไม่ต่อเนื่อง (batch test) ตามปริมาณสาร เพื่อใช้ในการจัดสิ่งปนเปื้อนในน้ำดื่มน้ำย่าง โดยสารกรองแต่ละชนิดสามารถกำจัดสิ่งปนเปื้อนในน้ำที่แตกต่างกันไป ตามรายละเอียดของข้อมูลจากงานวิจัยที่เกี่ยวข้อง
 3. ออกแบบการทดสอบแบบต่อเนื่อง (continuous test) เพื่อกำจัดสิ่งเจือปนที่ซึมมีค่าเกินมาตรฐานของคุณภาพน้ำดื่มน้ำดื่มในภาคเหนือที่ปีคืนนี้ โดยเน้นการทดสอบสารเรซินประจุลบเพื่อกำจัดในเครื่องที่ซึมมีค่าเกินมาตรฐานน้ำดื่มน้ำดื่ม การตรวจสอบประสิทธิภาพของสารเรซิน โดยไม่ได้ล้างสารเรซินและทดสอบสารแบบถังสารเรซิน การใช้ข้อมูลสำหรับการวิเคราะห์ในกระบวนการผลิตน้ำดื่มน้ำดื่มของชุมชน
 4. วิเคราะห์คุณภาพน้ำที่ผ่านสารกรองจากกระบวนการผลิตน้ำดื่มน้ำดื่ม เพื่อใช้เป็นข้อมูลในการวิเคราะห์และหาแนวทางการปรับปรุงกระบวนการผลิตน้ำดื่มน้ำดื่มให้เหมาะสมกับการผลิตน้ำดื่มน้ำดื่มที่ได้มาตรฐาน
 5. สรุปผลการวิจัย รวมทั้งซึ่งเป็นปัญหาและอุปสรรคในการวิจัยและเสนอแนวทางการแก้ไขปัญหา พร้อมทั้งใช้เป็นข้อมูลเพิ่มแปรในการถ่ายทอดเทคโนโลยีสู่ชุมชนท้องถิ่น ตลอดจนที่ต้องการพัฒนากระบวนการผลิตน้ำดื่มน้ำดื่ม

1.4 ประโยชน์ที่คาดว่าจะได้รับ

- สามารถเข้าใจกลไกการกำจัดของสิ่งเจือปนในน้ำด้วยที่ใช้ในกระบวนการผลิตน้ำดื่ม
 - สามารถเพิ่มประสิทธิภาพของกระบวนการผลิตน้ำดื่มให้เป็นมาตรฐาน สามารถผลิตน้ำที่สะอาด บริสุทธิ์ เหนาะสำหรับผลิตน้ำเพื่อการบริโภค และเป็นประโยชน์ต่อสุขภาพชีวิตของผู้บริโภค
 - ได้ผลผลิตที่เพิ่มขึ้นจากการพัฒนาและปรับปรุงระบบ รวมทั้งการคุ้มครองมาตรฐานที่ง่ายขึ้น และการลดค่าใช้จ่ายระหว่างดำเนินการผลิต เหนาะสำหรับการผลิตน้ำสำหรับชุมชน
 - การออกแบบระบบการผลิตน้ำดื่ม สามารถใช้เป็นการด่ายอดเหตุในโลหิตให้กับชุมชน เพื่อการพัฒนาชีวิตความเป็นอยู่ที่ดีขึ้นของชุมชน

4. สามารถเสนอผลงานตีพิมพ์ในวารสารหรืองานประชุมวิชาการได้ คั่งนี้เป็นการ
พิมพ์งานวิจัยของประเทศ รวมทั้งเป็นการพัฒนาศักยภาพในการทำงานวิจัยของอาจารย์ใน
มหาวิทยาลัย

บทที่ 2

2.1 กระบวนการและทฤษฎีที่ใช้ในการผลิตน้ำดื่ม

กระบวนการในการผลิตน้ำดื่มน้ำมีหลายวิธีและในแต่ละวิธี มีขั้นตอนรายละเอียดหลายส่วน รวมทั้งในการใช้วิธีการต่าง ๆ ก็มีทฤษฎีที่ใช้ประกอบการศึกษาวิจัยต่าง ๆ กัน ดังนั้นในส่วนนี้จะกล่าวถึงขั้นตอนการผลิตน้ำดื่มน้ำหรือน้ำสะอาดโดยทั่วไปที่นิยมใช้ในปัจจุบัน มาตรฐานที่เกี่ยวข้องกับผลิตน้ำดื่ม และทฤษฎีที่เกี่ยวข้องกับการผลิตน้ำดื่ม

ด้วยกระบวนการผลิตน้ำดื่มที่เกี่ยวข้อง ได้แก่ การใช้กรองด้วยสารแมงกานีสชีโอลีด์ การใช้ด่านกัมมันต์หรือแอคทีเวทเต็คคาร์บอน (Activated Carbon) ในกระบวนการกรุดซับ (Adsorption) การกำจัดความกระต้างของน้ำโดยใช้การแลกเปลี่ยนประจุบวก (Cation Exchange Resin) เพื่อกำจัดสารแคลเซียม (Ca^{2+}) และแมกนีเซียม (Mg^{2+}) ส่วนการกำจัดสารละลายน้ำที่มีอยู่ในน้ำเป็นประจุลบ เช่น ไนเตรต (NO_3^-) ฟอสเฟต (PO_4^{3-}) ซัลเฟต (SO_4^{2-}) คลอไรด์ (Cl^-) เป็นต้น สามารถทำได้โดยใช้การแลกเปลี่ยนประจุนิคลบ (Anion Exchange Resin) การกำจัดตะกอนที่อาจหลงเหลืออยู่และการกำจัดเชื้อแบคทีเรียโดยใช้ไนโตรฟิลเตอร์ (Microfiltration) และการกำจัดเชื้อแบคทีเรียอีกครั้งโดยใช้แสงอัลตราไวโอเลต (UV) ก่อนที่น้ำที่ผ่านกระบวนการกรองจะถูกบรรจุเพื่อการบริโภคต่อไป

2.2.1 การกำจัดเห็ดก่อนทำงานนีสโดยสารแมลงภายใน

การใช้การกรองแบบแมงกานีส (Manganese Greensand) สำหรับกำจัดเหล็กและแมงกานีส โดยสารประกลบด้วยทรายเขียว (Green Sand) ที่ชื่อมด้วยแมงกานัสulfate (Manganous Sulfate, $MnSO_4$) และค่างทับทิม ทำให้เกิด Manganic Oxide (Mn_2O_3) ที่ผิวขาวของทรายกรอง การผ่านน้ำ ด้วยร่องที่มีปริมาณของเหล็กและแมงกานีสทำให้เกิดการกระบวนการออกซิเดชันโดยมีออกซิเจน เป็นด้วยประกลบทำให้เกิดการเปลี่ยนสารเหล็กและแมงกานีสในรูปของการตกตะกอน เช่น $Fe(OH)_3$ และ MnO_2 การเปลี่ยนกระบวนการของก๊าซไฮโดรเจนซัลไฟด์ (H_2S) โดยกระบวนการออกซิเดชันทำให้เกิดการเปลี่ยนสารเป็นชัลเฟอร์และชัลเฟต การทำความสะอาดเพื่อให้กำจัดตะกอน หรือเรียกว่า (Regeneration) สามารถทำได้เพื่อให้ได้ตะกอนของ $Fe(OH)_3$ และ MnO_2 ออกจาก ระบบ การทำความสะอาดอาจใช้สารค่างทับทิม ($KMnO_4$) เพื่อให้ปริมาณของ Mn_2O_3 มีสภาพ ดีขึ้นเพื่อให้เกิดประสิทธิภาพการกำจัดที่เหนือกว่าเดิม การทำความสะอาดควรให้พอยเทนาร์ไม่ให้

ปริมาณการล้างด้วยด่างทันทินมีปริมาณที่น้อยไปหรือมากไปเพรำะจะทำให้ประสิทธิภาพที่เปลี่ยนไป สารแมงกานีสสามารถใช้กำจัดเหล็กและแมงกานีสให้พ้อเဟมาร์ได้ในความเข้มข้นประมาณ 1-2 มิลลิกรัมต่อลิตร ความเข้มข้นของสารเหล็กและแมงกานีสที่มีมากขึ้นส่งผลต่อการอุดตันของระบบและทำให้กระบวนการล้างสารแมงกานีสบ่อขึ้นเพื่อให้ประสิทธิภาพการกำจัดกลับคืน

2.2.2 กระบวนการคุตชัน (Adsorption) โดยใช้ด่านกัมมันต์ (Activated Carbon)

กระบวนการคุตชัน (Adsorption) เป็นกระบวนการที่สารละลายนำสามารถดูดซับอยู่บนผิวของตัวที่เป็นตัวคุตชัน (Adsorbent) ตัวผิวสามารถแบ่งเป็นตัวผิวระหว่างเฟสของน้ำ ก้าชของแข็งหรือเฟสของน้ำด้วยกัน สำหรับในกระบวนการผลิตน้ำดื่มจะเป็นการกำจัดสารที่อยู่ในเฟสที่เป็นของเหลวไปสู่ในเฟสที่เป็นของแข็ง เช่น การใช้ด่านกัมมันต์หรือแอคติเวทเต็คาร์บอน (Activated Carbon) ในการกำจัดสารที่อยู่ในสารละลายโดยกระบวนการคุตชันเข้าไปอยู่ในส่วนที่เป็นของแข็ง การเพื่อฟื้นฟูประสิทธิภาพของคาร์บอนสามารถทำได้โดยใช้การเผาให้เกิดออกซิไดซ์สารอินทรีย์ และสามารถกำจัดออกจากผิวของด่านคาร์บอน โดยทั่วไปจ่านการบันปะมาณร้อยละ 5 ถึง 10 จะถูกทำลายในกระบวนการฟื้นฟูประสิทธิภาพ ดังนั้นจึงต้องมีการเพิ่มปริมาณของด่านใหม่ทุกครั้ง การฟื้นฟูประสิทธิภาพของด่านที่ใช้ไปแล้วจะมีประสิทธิภาพต่ำกว่าด่านที่นำมาใช้ใหม่ นอกจากนี้การฟื้นฟูประสิทธิภาพของด่านคาร์บอนเองไม่มีวิธีการที่แน่นอน ทำให้เป็นปัญหาสำหรับน้ำด่านที่ใช้แล้วกลับมาใช้ใหม่

การวิเคราะห์ค่าการคุตชันเกิดขึ้น 3 ขั้นตอน ขั้นแรกการถ่ายเทของสารอินทรีย์ดึงผิวของของเหลวและของแข็งโดยกระบวนการแพร่กระจาย (Diffusion) และการกระจายโดยมีความเร็วเข้ามาเก็บขึ้น (Convection) ขั้นที่สองเกิดขึ้นจากการแพร่กระจายของสารอินทรีย์ผ่านแหล่งที่เกิดการคุตชันที่รูพรุนที่เกิดของด่านคาร์บอน ขั้นสุดท้ายเกิดการคุตชัน (Sorption) เกิดขึ้นที่ผิวของด่านคาร์บอน การคุตชันที่เกิดขึ้นเนื่องจากพลอยของสารอินทรีย์ทางเดียวติดผิวของด่านกัมมันต์ โดยที่การคุตชันสามารถเกิดขึ้นได้จากการกระบวนการคุตชันทางเคมีและกายภาพ ซึ่งจากต่อการสร้างให้เห็นความแตกต่างระหว่างทั้งสองกระบวนการ เมื่ออัตราการคุตชันมีค่าเท่ากับอัตราการขดตัว (Desorption) ทำให้เกิดสภาพสมดุลเกิดขึ้นและทำให้ทราบความสามารถของ การคุตชันของด่านกัมมันต์ หรือตัวคุตชัน (Adsorbent) ส่วนการวิเคราะห์ถึงค่าการคุตชันสารอินทรีย์หรือสิ่งเจือปนที่สกปรกทำได้โดยการคำนวณจากค่า Adsorption Isotherm

ปริมาณของสารอินทรีย์ที่ถูกคุตชันจากด่านกัมมันต์ หรือตัวคุตชัน (Adsorbent) เป็นฟังก์ชันกับลักษณะและความเข้มข้นของสารอินทรีย์และอุณหภูมิที่เข้านาเก็บขึ้น โดยทั่วไป

ปริมาณของสารอินทรีย์ที่ถูกคุดชันหาได้จากค่า Adsorption Isotherm สมการการคุดชันสามารถอธิบายดังผลการทดสอบได้ เช่น สมการ Freundlich Isotherm และสมการ Langmuir Isotherm เป็นต้น

1) Freundlich Isotherm สามารถเขียนสมการได้ดังนี้

$$q = \frac{x}{m} = K_f C_e^{1/n}$$

โดยที่ค่า $\frac{x}{m}$ เท่ากับปริมาณของสิ่งเจือปนที่ถูกคุดชันต่อหน่วยน้ำหนักของผ่านกัมมันต์

C_e เท่ากับค่าความเข้มข้นที่สภาวะสมดุลของสารอินทรีย์หรือสิ่งเจือปนในสารละลายที่ได้ภายหลังจากการคุดชันแล้ว
 K_f, n เท่ากับค่าคงที่ของ isotherm

ถ้าค่าคงที่ของสมการสามารถหาได้โดยการสร้างกราฟระหว่าง $\frac{x}{m}$ และ C_e โดยวิธีสมการเขิงเส้นตรง สามารถแสดงได้ดังนี้

$$\log(q) = \log K_f + \frac{1}{n} \log C_e$$

2) Langmuir Isotherm มีสมการดังนี้คือ

$$q = \frac{x}{m} = \frac{abC_e}{1+bC_e}$$

โดยที่ค่า $\frac{x}{m}$ เท่ากับ ปริมาณของสิ่งเจือปนที่ถูกคุดชันต่อหน่วยน้ำหนักของผ่านกัมมันต์

a, b เท่ากับ ค่าคงที่
 C_e เท่ากับ ค่าความเข้มข้นที่สภาวะสมดุลของสารอินทรีย์หรือสิ่งเจือปนในสารละลายที่ได้ภายหลังจากการคุดชันแล้ว

การหาค่าการคุดชันของ Langmuir isotherm สามารถทำได้โดย

- 1) ทราบจำนวนที่จัดคัดของ absorbent ที่ใช้ในการดูดซับสารอินทรีย์
 - 2) การดูดซับเป็นกระบวนการที่ข้อนกลับได้ โดยที่ ณ สถานะสมดุลเกิดขึ้นเมื่ออัตราการดูดซับของโนเลกูลเท่ากับอัตราการรายด้วงของโนเลกูลจากผิว
- การหาค่าคงที่ของสมการ Langmuir isotherm สามารถทำได้โดยการสร้างและหาค่าส่วนที่เป็นความชันและส่วนตัดแกนของกราฟดังนี้

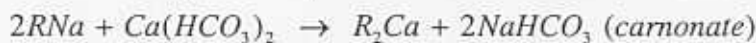
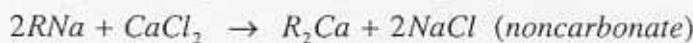
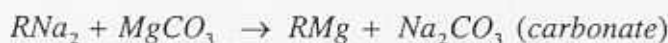
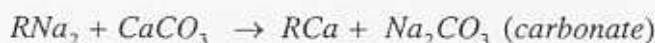
$$\frac{C_e}{q} = \frac{1}{ab} + \frac{C_e}{a}$$

2.2.3 การกำจัดประจุของไอออนในน้ำโดยการแลกเปลี่ยนประจุของเรซิ่น

รูปแบบของเรซิ่นที่ใช้ในการทดลองของงานวิจัยนี้มีลักษณะเป็นเม็ด การใช้เรซิ่นนี้เป็นกระบวนการที่ใช้การแลกเปลี่ยนประจุของไอออนจากไอออนที่ไม่ต้องการในน้ำ ไอออนที่เจือปนมากับน้ำจะแลกเปลี่ยนประจุกับเฟสที่เป็นของแข็งหรือเรียกว่า Adsorbent ส่วนลักษณะการใช้งานของเรซิ่นจะอยู่ในระบบ Packed Bed Column โดยที่น้ำเดินถูกผ่านเข้าสู่ Bed Column ในทิศทางจากบนลงล่าง (Downward) หรือจากล่างขึ้นบน (Upward) ส่วนชนิดของเรซิ่น มีดังนี้

2.1.3.1 เรซิ่นชนิดประจุบวก

1. เรซิ่นชนิดประจุบวกแบบโซเดียม (Sodium Cation Resin) ส่วนใหญ่ที่ใช้ในกระบวนการผลิตน้ำดื่ม ปกติในเรซิ่นที่มีประจุบวกจะมีกลุ่มสาร Active Group ที่เป็นสารซัลโฟนิก Sulfonic (SO_3^-) รวมตัวกับโซเดียม ในรูปของ SO_3Na เรซิ่นชนิดนี้สามารถใช้ในการกำจัดความกระต้างของน้ำที่อยู่ในรูปของแคลเซียม Ca^{2+} และแมกนีเซียม Mg^{2+} สามารถกำจัดได้ทั้งความกระต้างแบบคาร์บอนเนต (Carbonate Hardness) และความกระต้างที่ไม่ใช่แบบคาร์บอนเนต (Noncarbonated Hardness) สมการที่เกิดขึ้นจากการแลกเปลี่ยนประจุ เช่น ได้ดังนี้

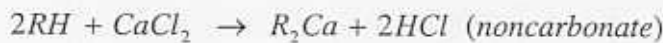


โดยที่ R เท่ากับสัญลักษณ์ที่ใช้แทนเรซิ่น

จากสมการข้างต้น การแลกเปลี่ยนประจุระหว่างไอออนของแคลเซียม Ca^{2+} และแมกนีเซียม Mg^{2+} โดยที่เรซิ่นทำหน้าที่จับ Ca^{2+} และ Mg^{2+} ไว้กับตัวเรซิ่นในขณะที่ปล่อยตัว

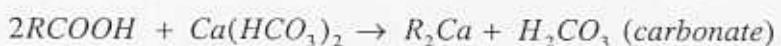
โซเดียมออกมา (Na^+) แทนที่ ทำให้น้ำลดความกระต้างลง ส่วนสารประกอบอื่นเช่น Fe^{2+} และ Mn^{2+} ก็เกิดการแลกเปลี่ยนได้ เช่นกัน

2. เรชินชนิดประจำน้ำแบบกรดแก่ (Strong Acid Cation) สามารถดำเนินการได้ในช่วงค่าพิอเขที่กว้าง เนื่องจากผลของสารซัลฟอนิก Sulfonic (SO_3^-) ที่มีคุณสมบัติเป็นกรดที่สามารถแอกตัวในช่วงค่าพิอเขที่กว้าง (pH 1 - 14) ด้วยอย่างประจำที่สามารถแลกเปลี่ยนกับเรชินชนิดนี้ได้แก่ แคลเซียม (Ca^{2+}) แมgnีเซียม (Mg^{2+}) เหล็ก (Fe^{2+}) แบร์เที่ยม (Ba^{2+}) สตราอนเที่ยม (Sr^{2+}) หรือแมgnีส (Mn^{2+}) สมการที่เกิดขึ้นจากการแลกเปลี่ยนประจำ เป็นดังนี้



การล้างประจำสามารถทำได้โดยใช้ความเข้มข้นของกรดแก่ไฮโคลอโริก (HCl) ที่มีความเข้มข้นสูงประมาณ 1-3 M ทำให้เกิดการแลกเปลี่ยนค่าไฮโคลอโริกกลับไปที่เรชิน สามารถนำกลับมาใช้งานได้อีก

3. เรชินชนิดประจำน้ำแบบกรดอ่อน (Weak Acid Cation) สามารถแลกเปลี่ยนประจำในช่วงค่าพิอเขที่เป็นกลางถึงค่าพิอเขที่มีความเป็นค่าง เนื่องจากผลของคาร์บอไฮเดท (Carboxylate) ($\text{pK}_a = 4.8$) ไม่สามารถแอกตัวได้ที่ค่าพิอเขต่ำ เรชินชนิดนี้สามารถกำจัดความกระต้างแบบคาร์บอเนต (Carbonate Hardness) แต่ไม่สามารถกำจัดความกระต้างที่ไม่ใช่แบบคาร์บอเนต (Noncarbonated Hardness) สามารถเขียนสมการได้ดังนี้



โดยสรุประชินชนิดประจำน้ำแบบกรดแก่ สามารถกำจัดความกระต้างทั้งสองชนิดคือความกระต้างแบบคาร์บอเนต (carbonate hardness) และความกระต้างที่ไม่ใช่แบบคาร์บอเนต (noncarbonated hardness) ส่วนเรชินชนิดประจำน้ำแบบกรดอ่อนกำจัดได้เฉพาะความกระต้างแบบคาร์บอเนต (carbonate hardness) อย่างไรก็ตามข้อดีของเรชินชนิดประจำน้ำแบบกรดอ่อนคือ การลคลงของค่าของแข็งละลายทั้งหมด (total dissolved solid) โดยที่ไม่มีการเพิ่มของค่าโซเดียม นอกจากนี้การล้างคืนของประจำทำได้ดีกว่าเรชินชนิดประจำน้ำแบบกรดแก่ เนื่องจากผลการรวมตัวของกรดคาร์บอไฮเดท (carboxylate) กับประจำไฮโคลอโริกกลับ

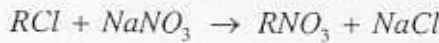
2.1.3.2 เรชินชนิดประจุลบ

1. เรชินชนิดประจุลบแบบค่างแก๊ส (Strong Base Anion Resin) มีอยู่ 2 แบบ ดังนี้ แบบ Type I ที่มี Active Group เป็นพวก Quaternary Ammonium และ Methyl Group กำจัดซิลิกาได้ดี แบบ Type II ที่มี Active Group เป็นพวก Quaternary Ammonium พร้อมด้วย Methyl และ Ethanol Group กำจัดซิลิกาได้ไม่ดีเท่า Type I ช่วงค่าพีเอชที่ใช้กำจัดอยู่ระหว่างพีเอช (pH) 1-13 เมื่อจากผลของฟังก์ชันกรุ๊ปของ Quaternary Ammonium ที่มีคุณสมบัติเป็นเบสและแตกตัวได้ในช่วงพีเอช ดังกล่าว

สมการที่ใช้กำจัดประจุลบทำได้ดังนี้



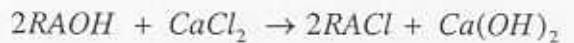
ด้าอย่างเรชินชนิดประจุลบแบบค่างแก๊ส ที่ใช้กำจัดไนเตรต (NO_3^-) ที่ส่วนใหญ่พบมากในน้ำได้ดีนั้นมีปริมาณของไนเตรตสูง สามารถเขียนสมการได้ดังนี้



การเกิดการแลกเปลี่ยนประจุของสมการข้างต้น เป็นผลของฟังก์ชันกรุ๊ปของ Quaternary Ammonium ที่รวมตัวได้น้อยกับไฮดรอกไซด์ (OH^-) ไอออน ทำให้เกิดการรวมตัวระหว่างโซเดียมกับไฮดรอกไซด์ (OH^-) ทำให้เกิดโซเดียมไฮดรอกไซด์ ($NaOH$) ส่วนสมการหลังเกิดจากการแลกเปลี่ยนประจุ ระหว่างไนเตรตกับเรชินที่มีฟังก์ชันกรุ๊ปของ Quaternary Ammonium เนื่องจากไนเตรตมีค่าการรวมตัวที่สูงกว่าคลอรอไรด์ทำให้เกิดการรวมตัวของโซเดียมกับคลอรอไรด์แทน โดยที่ไม่เปลี่ยนแปลงค่าพีเอช ส่วนด้านคืนของประจุโคลาไชค่าไฟ ด้าอย่างของสมการการล้างประจุ มีดังนี้



2. เรชั่นชนิดประจุลบแบบด่างอ่อน (Weak Base Anion Resin) เรชั่นเป็นแบบ Active Group เป็นพาก Polyamide จะเกิดการแลกเปลี่ยนกับประจุลบของกรด เช่น Cl^- SO_4^{2-} และ NO_3^- แต่จะไม่แลกเปลี่ยนกับประจุกรดอ่อนเช่น CO_3^{2-} HCO_3^- หรือ SiO_3^{2-} การเกิดปฏิกิริยาเมื่อตัวนี้



การถังคืนด้วยโซดาไฟ ได้สมการดังนี้



2.1.3 ค่าแฟกเตอร์การแยก (Separation factor)

โดยทั่วไปสารเรชั่นไม่สามารถกำจัดไอออนทุกด้วยกัน สำหรับการแยกระหว่างประจุสองชนิดในตัวเรชั่น ค่าที่ใช้แสดงแฟกเตอร์การแยก (Separation factor, α) เพื่อสนับสนุนการได้ดังนี้

$$\alpha_{i,j} = \frac{\text{distribution of ion } i \text{ between phase}}{\text{distribution of ion } j \text{ between phase}} = \frac{y_i / x_i}{y_j / x_j}$$

ตัวอย่างประจุไอออนของในเครดและคลอไรด์ สามารถเขียนแฟกเตอร์การแยก ได้ดังนี้

$$\alpha_{N/Cl} = \frac{y_N / x_N}{y_{Cl} / x_{Cl}} = \frac{y_N x_{Cl}}{y_{Cl} x_N} = \frac{(q_N/q)(C_{Cl}/C)}{(q_{Cl}/q)(C_N/C)} = \frac{q_N C_{Cl}}{q_{Cl} C_N}$$

โดยที่

y_{Cl} = equivalent fraction of chloride in resin, q_{Cl}/q

x_{Cl} = equivalent fraction of chloride in water, C_{Cl}/C

q_N = concentration of nitrate on resin, eq/L

q = total exchange capacity of resin, eq/L

q_{Cl} = concentration of chloride on resin, eq/L

C_N = nitrate concentration of water, eq/L

C = total ionic concentration of water, eq/L

C_{Cl} = chloride concentration of water, eq/L

เนื่องจากการจับตัวของ ไอออนต่อเรชั่นที่แคลกค้างกันขึ้นอยู่กับประจุของ ไอออน ชนิดของ ไอออน และชนิดของเรชั่น ตารางที่ 2.1 แสดงผลการการจับตัวของประจุ ไอออนที่มีต่อเรชั่น โดยใช้ค่าแฟกเตอร์การแยกเป็นตัวชี้วัด

ตารางที่ 2.1 การจับตัวของประจุ ไอออนที่มีต่อเรชั่น

เรชั่นชนิดประจุบวก แบบกรดแก๊ส	เรชั่นชนิดประจุลบ แบบเบสแก๊ส		
ประจุบวก	α_{i/Na^+}	ประจุลบ	α_{i/Cl^-}
Ra ²⁺	13.0	CrO ₄ ²⁻	100.0
Ba ²⁺	5.8	SeO ₄ ²⁻	17.0
Pb ²⁺	5.0	SO ₄ ²⁻	9.1
Sr ²⁺	4.8	HSO ₄ ²⁻	4.1
Cu ²⁺	2.6	NO ₃ ⁻	3.2
Ca ²⁺	1.9	Br ⁻	2.3
Zn ²⁺	1.8	HAsO ₄ ²⁻	1.5
Fe ²⁺	1.7	SeO ₃ ²⁻	1.3
Mg ²⁺	1.7	HSO ₃ ³⁻	1.2
K ⁺	1.7	NO ₂ ⁻	1.1
Mn ²⁺	1.6	Cl ⁻	1.0
NH ₄ ⁺	1.3	HCO ₃ ⁻	0.27
Na ⁺	1.0	CH ₃ COO ⁻	0.14
H ⁺	0.7	F ⁻	0.07

ที่มา: Clifford, D. A. (1990) "Ion Exchange and Inorganic Adsorption". In Water Quality and Treatment, American Water Works Association, Fourth Edition, McGraw Hill, New York.

หมายเหตุ เรชั่นชนิดบวกเป็นแบบ polystyrene divinylbenzene เขียวมันกับรัชไฟฟอน (SO₃⁻) พังผืดชั้นนักกูป (Sulfonate functional group)

เรชั่นชนิดลบเป็นแบบ polystyrene divinylbenzene เขียวมันด้วย quaternary amine พังผืดชั้นนักกูป (Sulfonate functional group)

จากตาราง ค่าแฟกเตอร์การแยกที่ได้สำหรับเรชั่นชนิดบวกเทียบกับค่าโซเดียม ส่วนค่า แฟกเตอร์การแยกที่ได้สำหรับเรชั่นชนิดลบ เป็นค่าที่ได้เทียบกับคลอไรด์ ตัวอย่างเช่น ค่าแฟกเตอร์ การแยกระหว่างแคลลเซียมกับโซเดียม $\alpha_{Ca^{2+}}$ เท่ากับ 1.9 ซึ่งมีหมายความว่าแคลลเซียมมีความสามารถในการจับตัวกับเรชั่นมากกว่าโซเดียมถึง 1.9 เท่า ในกรณีที่มีการใช้เรชั่นใน Packed Bed Column ที่มีการเคลื่อนตัวจากส่วนบนลงส่วนล่าง ประจุของ ไอออนที่มีค่าแฟกเตอร์มากจะประกูลูใน ส่วนบนของคอลัมน์ โดยที่ ไอออนมีการแยกเปลี่ยนประจุสูงกับเรชั่น ส่วนประจุของ ไอออนที่มีค่า แฟกเตอร์น้อยจะประกูลูในส่วนล่างของคอลัมน์ เนื่องจากมีการแยกเปลี่ยนประจุก่อนข้างตัว เพราะ ความสามารถในการจับตัวค่า คังนั้นจึงง่ายต่อการให้ผลผ่านลงมาที่ส่วนล่างของคอลัมน์

2.2 ขั้นตอนในการผลิตน้ำดื่ม

การผลิตน้ำดื่มมีวิธีการผลิตได้หลากหลาย ซึ่งวิธีการที่สำนักงานคณะกรรมการอาหารและยาได้ร่วมกับสถาบันวิจัยโภชนาการ มหาวิทยาลัยมหิดล ได้ศึกษาและจำลองกระบวนการผลิตที่เหมาะสมในการผลิตน้ำดื่มน้ำบรรจุขวดในภาชนะปิดสนิทสำหรับสถานประกอบการขนาดกลางและขนาดเล็ก มีขั้นตอนหลัก ๆ ดังนี้

1. การสูบน้ำดิน โดยปกติน้ำดินที่ใช้ในการผลิตน้ำดื่มนี้ 2 ประเภท คือ น้ำประปาและน้ำบาดาลบ่อเล็ก ในขั้นตอนนี้เป็นการสูบน้ำดินเก็บพักไว้ก่อนเข้าสู่กระบวนการผลิตเพื่อให้ส่วนที่เป็นตะกอนตกอยู่ในบ่อพัก และยังเพิ่มประสิทธิภาพของกระบวนการผลิตอีกด้วย นอกจากนี้ในกรณีที่น้ำดินมีปริมาณจุลินทรีย์ค่อนข้างสูง วิธีการหนึ่งที่ใช้เพื่อลดปริมาณจุลินทรีย์หรือเชื้อแบคทีเรีย คือการเติมคลอรีนในรูปของสารละลายเพื่อฆ่าลางเชื้อจุลินทรีย์ก่อนเข้าสู่ขั้นตอนของกระบวนการผลิตในขั้นตอนนี้เมื่อในกรณีที่ใช้น้ำประปาที่มีถังพักน้ำ ในครัวปั่นน้ำจากห้องประปาโดยตรง เมื่อออกจากห้องเกิดปัญหาการดูดซึ่งสกปรกต่าง ๆ เข้าไปภายในท่อบริเวณที่เกิดรอยร้าว รวมทั้งเมื่อมีถังพักน้ำที่สามารถดูดซึบปริมาณคลอรีนที่คงเหลือในน้ำดินได้

2. การกรองทางกายภาพและทางเคมี ในขั้นตอนนี้เป็นการกรองแยกสิ่งที่ไม่พึงประสงค์หรือสิ่งที่เจือปนที่ต้องกำจัดออกจากน้ำ โดยการกรองทางกายภาพเป็นการแยกสารแขวนลอยและตะกอนด่าง ๆ ส่วนการกรองทางเคมีเป็นความกระด้างเข่นแคลเซียมและแมกนีเซียม ธาตุเหล็ก ธาตุแมงกานิส และธาตุอื่น ๆ นอกจากนี้ยังมีส่วนเกี่ยวข้องกับกระบวนการกรดคุชชันที่ต้องกำจัดสารอินทรีย์ในน้ำด้วย กลไกที่เกิดขึ้นในขั้นตอนนี้เป็นการแลกเปลี่ยนประจุ (ion exchange resin) และการคุชชัน (adsorption) โดยสารกรองที่นิยมใช้ เช่น แอนแทร้าไซด์ คาร์บอน เรซิ่น เป็นต้นสารกรองชนิดด่าง ๆ มีประโยชน์ดัง ๆ กันไป ดังแสดงในตารางที่ 2.2

ตารางที่ 2.2 ประโยชน์ของสารกรองแค่ลักษณะ

ชนิดสารกรอง	ประโยชน์ของสารกรอง
แอนทราไซค์	กรองชาตุเหล็กที่มีอยู่ในน้ำ ช่วยลดคลื่นและรสที่เผ็ดปungจากการมีชาตุเหล็กปนเปื้อน
คาร์บอน	กำจัดคลื่น ศี และรสที่ไม่พึงประสงค์ และใช้กำจัดกลิ่นตกห้างในน้ำ
เรซิ่น	ลดความกระต้างของน้ำ

ที่มา กองความคุณอาหาร. แนวการการป้องกันภัยจากการปนเปื้อนของจุลินทรีย์ในการผลิตน้ำนมไวโภคบรรจุขวด. พิมพ์ครั้งที่ 1. สันักงานคณะกรรมการอาหารและยา. 2543.

สารกรองทุกชนิดเมื่อใช้งานแล้วต้องมีการล้างย้อน (backwash) ทุกครั้งก่อนการผลิต เพื่อกำจัดสิ่งสกปรกและจุลินทรีย์ที่สะสมและเจริญอยู่ในตัวสารกรอง และเมื่อใช้งานเป็นเวลานาน จนสารกรองเริ่มเสื่อมสภาพ ที่ต้องเปลี่ยนหรือฟื้นฟื้นฟุ้ประสีกธิกาพ (regeneration)

3. การกรองและฆ่าเชื้อจุลินทรีย์ ในขั้นตอนนี้เป็นการกำจัดสารแขวนลอยและฆ่าเชื้อโรค ขั้นสุดท้ายก่อนบรรจุน้ำลงภาชนะ ซึ่งกลไกที่เกิดขึ้นในขั้นตอนนี้ คือ การกรอง (Filtration) และการฆ่าเชื้อโรค (Disinfection) โดยมีอุปกรณ์สำคัญ ได้แก่ ไบสังเคราะห์ เซรามิก และหลอดดูวี ซึ่ง อุปกรณ์ดังกล่าวประযุกชน์ต่างกัน ดังแสดงในตารางที่ 2.3

ตารางที่ 2.3 ประยุกชน์ของอุปกรณ์ในการกรองและฆ่าเชื้อจุลินทรีย์

ชนิดอุปกรณ์	ประยุกชน์ของอุปกรณ์
ไบสังเคราะห์	กรองเศษผุน และสารแขวนลอย
เซรามิก	กรองจุลินทรีย์ขนาดใหญ่และสารแขวนลอยขนาดเล็ก
หลอดดูวี	ฆ่าเชื้อจุลินทรีย์

ที่มา กองควบคุมอาหาร แนวทางการป้องกันภัยจากการปนเปื้อนของจุลินทรีย์ในการผลิตน้ำบริโภคบรรจุขวด. พิมพ์ครั้งที่ 1. สำนักงานคณะกรรมการอาหารและยา. 2543.

4. การบรรจุขวด ในขั้นตอนนี้เป็นการบรรจุน้ำลงภาชนะปิดและผนึกฝา โดยภาชนะทุกชิ้นต้องผ่านการทำความสะอาดแล้ว

2.3 มาตรฐานที่เกี่ยวข้องกับการผลิตน้ำดื่ม

มาตรฐานน้ำดื่มน้ำที่มีใช้อยู่ในประเทศไทย ได้แก่มาตรฐานผลิตภัณฑ์อุตสาหกรรมน้ำบริโภค และมาตรฐานคุณภาพน้ำดื่มน้ำในภาชนะบรรจุที่ปิดสนิท โดยมีรายละเอียดดังตารางที่ 2.4 ถึง 2.5

ตารางที่ 2.4 มาตรฐานผลิตภัณฑ์อุตสาหกรรมน้ำบริโภค

คุณลักษณะ	ตัวนิยมคุณภาพน้ำ	หน่วย	มาตรฐาน	
			เกณฑ์ก่อให้เกิดสูงสุด (Maximum Acceptable Concentration)	เกณฑ์อนุญาต (Maximum Allowable Concentration)
ทางกายภาพ	1.สี (Colour)	ปลาตินัม-โคบัลต์ (Platinum-Cobalt)	5	15



ทุบตักขยะ	ตัวชี้วัดคุณภาพน้ำ	หน่วย	มาตรฐาน	
			เกณฑ์ก้าวหน้าสูงสุด (Maximum Acceptable Concentration)	เกณฑ์อนุโภมสูงสุด (Maximum Allowable Concentration)
	2.รส (Taste)	-	ไม่เป็นที่รังเกียจ	ไม่เป็นที่รังเกียจ
	3.กลิ่น (Odour)	-	ไม่เป็นที่รังเกียจ	ไม่เป็นที่รังเกียจ
	4.ความขุ่น (Turbidity)	ซิลิค้า สะเก็ด ยูนิต (Silica scale unit)	5	20
	5.ความเป็นกรด-ด่าง (pH)	-	6.5-8.5	9.2
ทางเคมี	6.ปริมาณสารทั้งหมด (Total Solids)	มก./ล.	500	1,500
	7.เหล็ก (Fe)	มก./ล.	0.5	1.0
	8.แมกนีเซียม (Mn)	มก./ล.	0.3	0.5
	9.เหล็กและแมกนีเซียม (Fe & Mn)	มก./ล.	0.5	1.0
	10.ทองแดง (Cu)	มก./ล.	1.0	1.5
	11.ซิงค์ (Zn)	มก./ล.	5.0	15.0
	12.แคลเซียม (Ca)	มก./ล.	75 ^b	200
	13.แมกนีเซียม (Mg)	มก./ล.	50	150
	14.โซเดียม (SO ₄)	มก./ล.	200	250 ^c
	15.คลอรอไนต์ (Cl)	มก./ล.	250	600
	16.ฟลูออไรต์ (F)	มก./ล.	0.7	1.0
	17.ไนเตรต (NO ₃)	มก./ล.	45	45
	18.อัลกิลเบนซิลโซโนเนต (Alkylbenzyl Sulfonate, ABS)	มก./ล.	0.5	1.0
	19.ฟานิลิกซิโนแสบเลนซ์ (Phenolic substances)	มก./ล. as phenol	0.001	0.002

คุณลักษณะ	ตัวนิยมภาพผ้า	หน่วย	มาตรฐาน	
			เกณฑ์ก้านดสูงสุด (Maximum Acceptable Concentration)	เกณฑ์อนุโภมสูงสุด (Maximum Allowable Concentration)
สารเป็นพิษ	20.ปรอต (Hg)	มก./ล.	0.001	-
	21.ตะกั่ว (Pb)	มก./ล.	0.05	-
	22.砷เรชิฟ (As)	มก./ล.	0.05	-
	23.ซิลิเมียม (Se)	มก./ล.	0.01	-
	24.โครเมียม (Cr hexavalent)	มก./ล.	0.05	-
	25.ไซาโนเจน (CN)	มก./ล.	0.2	-
	26.แมกนีเซียม (Cd)	มก./ล.	0.01	-
	27.แบนเรียม (Ba)	มก./ล.	1.0	-
ทางดูด เชื้อวิทยา	28.แมสคันดาร์เพลทเคานต์ (Standard Plate Count)	โคลิฟอร์มอยองบานาส์ เช่นเดียวกับ (Colonies/cm ³)	500	-
	29.ເມັນທີ່ເປັນ (MPN)	ໂຄລິຟ່ອວົນຂອງຮແກນິສຂັ້ນ ຕ້ອງ 100 ອຸກບາຫັດ ເຫັນດີເມີນ Coliform Organism/100 cm ³	ເນື້ອຍກວ່າ 2.2	-
	30.ອີໂກໄາ (E.coli)		ໄປເກີ	-

- หมายเหตุ:
- “ เกณฑ์ที่อนุโภมให้สูงสุดเป็นเกณฑ์ที่อนุญาตให้สำหรับน้ำประปาหรือน้ำดื่มที่มีความจำเป็นต้องใช้บริโภคเป็นการชั่วคราวและน้ำที่มีคุณลักษณะอ่อนไหวระหว่างเกณฑ์ก้านดสูงสุด กับเกณฑ์อนุโภมสูงสุดนั้นในไข่น้ำที่ให้เกรดของมาตรฐานได้ ”
 - หากค่าเชื้อมีปริมาณสูงกว่าที่ก้านด และบักเกนเชื้อม มีปริมาณต่ำกว่าที่ก้านดในมาตรฐานให้พิจารณาค่าคอลเชื้อมและบักเกนเชื้อมในเทอมของความกระด้างทั้งหมด (Total Hardness) ด้วยรวมความกระด้างทั้งหมดนี้อ่อน化เป็นค่าเชื้อม ค่าร์บอนเดค มีปริมาณต่ำกว่า 300 มิลลิกรัมต่อลิตร ให้ถือว่าน้ำนั้นเป็นไปตามมาตรฐานการแบ่งระดับความกระด้างของน้ำดังต่อไปนี้
 - 0 ถึง 75 มิลลิกรัมต่อลิตร เรียก น้ำอ่อน
 - 75 ถึง 150 มิลลิกรัมต่อลิตร เรียก น้ำกระด้างปานกลาง
 - 150 ถึง 300 มิลลิกรัมต่อลิตร เรียก น้ำกระด้าง
 - 300 มิลลิกรัมต่อลิตร เรียก น้ำกระด้างมาก

หากข้อส่อเพล นิปริมาณตั้ง 250 มิลลิกรัมต่อดิตร มักเนเชิ่มน ต้องมีปริมาณไม่เกิน 30 มิลลิกรัมต่อดิตร (มิลลิกรัมต่อดิตร = มิลลิกรัมต่อถูกนาศักดิ์เข้มครั้ง)

แหล่งที่มา: ประกาศกระทรวงอุตสาหกรรม ฉบับที่ 332 (พ.ศ. 2521) ออกตามความในพระราชบัญญัติมาตรฐาน
ผลิตภัณฑ์อุตสาหกรรม พ.ศ. 2511 เรื่องกำหนดมาตรฐานผลิตภัณฑ์อุตสาหกรรมน้ำบริโภค คุณภาพในราชกิจจานุเบกษา^{เพิ่ม 95 ตอนที่ 68 ลงวันที่ 4 กรกฎาคม 2521}

ตารางที่ 2.5 มาตรฐานคุณภาพน้ำดื่มในภาคตะวันออกเฉียงเหนือที่ปิดสนิท

คุณลักษณะ	ตัวบ่งคุณภาพน้ำ	หน่วย	ค่ามาตรฐาน (เกณฑ์อนุโรมสูงสุด)
ทางกายภาพ	1.สี (Colour)	อาเซนชันนิค(Hazen)	20
	2.กลิ่น (Odour)	-	ไม่มีกลิ่น (ไม่รวมกลิ่นคลอรีน)
	3.ความขุ่น (Turbidity)	ซิลิกาสเกลทันนิค (silica scale unit)	5
	4.ค่าความเป็นกรด-ด่าง (pH)	-	6.5-8.5
ทางเคมี	5.ปริมาณสารทั้งหมด (Total Solids)	มก./ล.	500
	6.ความกระด้างทั้งหมด (Total Hardness) (ค่าน้ำจะเป็นแคลเซียมคาร์บอเนต)	มก./ล.	100
	7.สารหนุ่ม (As)	มก./ล.	0.05
	8.แมกนีเซียม (Ba)	มก./ล.	1.0
	9.แมกนีเซียม (Cd)	มก./ล.	0.005
	10.คลอไรด์ (Cl, ค่าน้ำจะเป็นคลอรีน)	มก./ล.	250
	11.โครเมียม (Cr)	มก./ล.	0.05
	12.ทองแดง (Cu)	มก./ล.	1.0
	13.เหล็ก (Fe)	มก./ล.	0.3
	14.ตะกั่ว (Pb)	มก./ล.	0.05
	15.แมกนีเซียม (Mn)	มก./ล.	0.05
	16.ปรอท (Hg)	มก./ล.	0.002
	17.ไนเตรต (NO_3^- -N, ค่าน้ำจะเป็นไนโตรเจน)	มก./ล.	4.0
	18.ฟีโนอล (Phenols)	มก./ล.	0.001

คุณลักษณะ	ตัวชี้วัดคุณภาพน้ำ	หน่วย	ค่ามาตรฐาน (กําหนดอย่างสูงสุด)
	19.ชิลีเมตัม (Se)	มก./ล.	0.01
	20.เงิน (Ag)	มก./ล.	0.05
	21.ซัลฟัต (SO_4)	มก./ล.	250
	22.สังกะสี (Zn)	มก./ล.	5.0
	23.ฟลูออไรด์ (F) (ที่น้ำจะเป็นฟลูออเรน)	มก./ล.	1.5
	24.อะกูมิเนียม	มก./ล.	0.2
	25.อลกิลเบนซีนโซโนเนต (Alkylbenzene Sulfonate)	มก./ล.	0.2
	26.ไจชาไนต์	มก./ล.	0.1
ทางน้ำกเดรี	27.โคเลิฟอร์ม (Coliform)	เชื้อ.พ./เชื้อ/100 มล.	2.2
	28.อี.โค.โอลี (E.Coli)	เชื้อ.พ./เชื้อ/100 มล.	ตรวจไม่พบ
	29.จุลินทรีย์ที่ทำให้เกิดโรค(Disease-causing bacteria)	เชื้อ.พ./เชื้อ/100 มล.	ตรวจไม่พบ

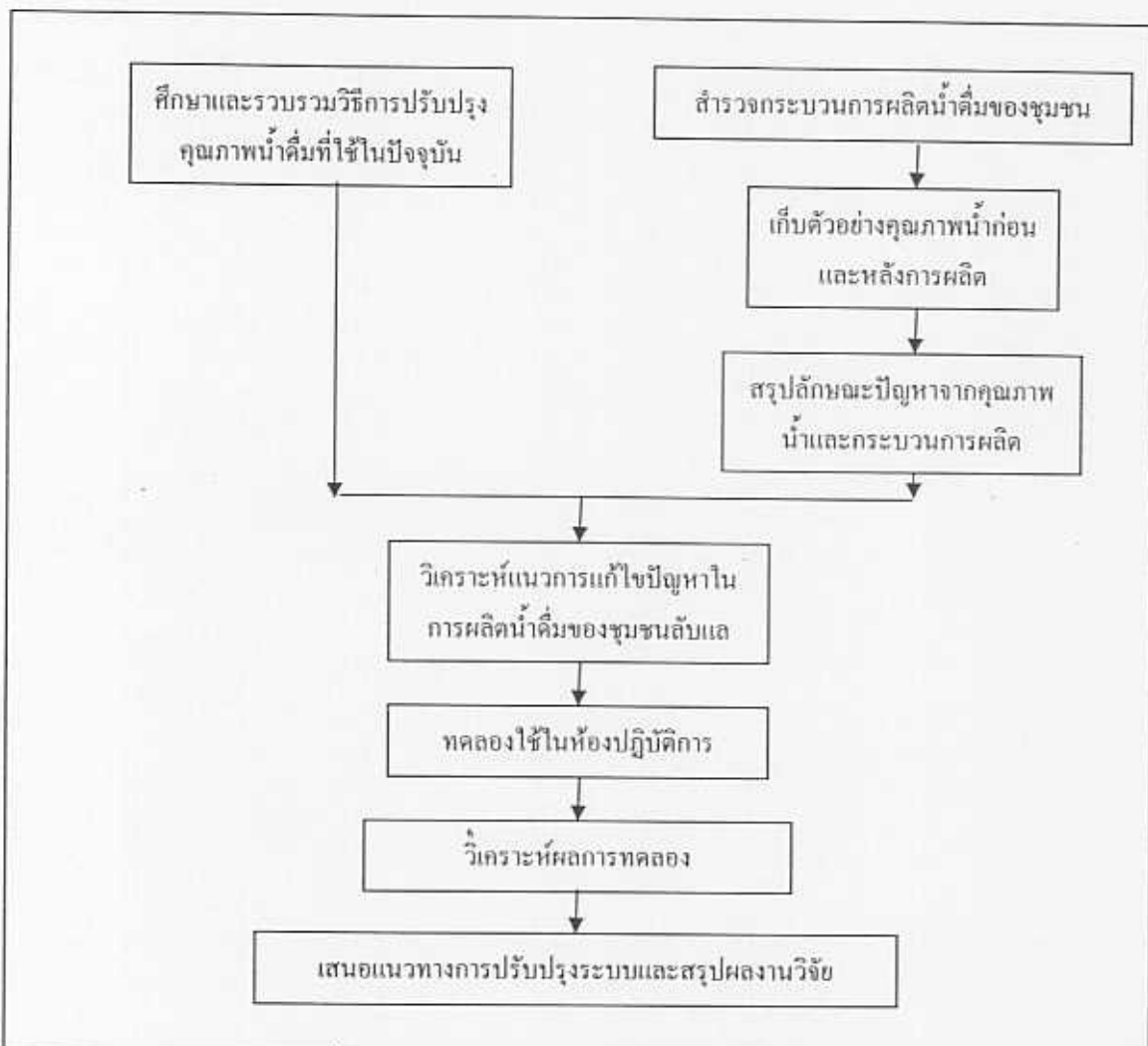
แหล่งที่มา: ประกาศกระทรวงสาธารณสุข ฉบับที่ 61 (พ.ศ. 2524) เรื่องน้ำบริโภคในภาระที่ปีคสันท พิพิมพ์ในราชกิจจานุเบกษา เล่ม 98 ตอนที่ 157 (ฉบับพิเศษ) ลงวันที่ 24 กันยายน 2524 ซึ่งได้แก้ไขเพิ่มเติมโดย ประกาศกระทรวงสาธารณสุข ฉบับที่ 135 (พ.ศ. 2534) เรื่อง น้ำบริโภคในภาระบรรจุที่ปีคสันท (ฉบับที่ 2) ลงวันที่ 26 ตุลาคม พ.ศ. 2534 พิพิมพ์ในหนังสือราชกิจจานุเบกษา เล่ม 108 ตอนที่ 61 ลงวันที่ 2 เมษายน 2534

บทที่ 3

แผนการวิจัย

3.1 กรอบแนวคิดการวิจัย

โครงการนี้มีแนวความคิดในการวิจัย คือ เพื่อศึกษากระบวนการผลิตน้ำดื่มและปรับปรุงระบบการผลิตน้ำดื่มของชุมชนให้มีประสิทธิภาพดีขึ้น สามารถผลิตน้ำดื่มได้คุณภาพตามมาตรฐานโดยมีหลักในการปรับปรุงสำคัญ 2 ประการ ได้แก่ ค่าใช้จ่ายในการดำเนินระบบต้นและเป็นระบบที่ใช้งานได้ง่ายต่อการดูแลและการจัดการกระบวนการผลิต จากการศึกษานี้ยังสามารถให้ข้อเสนอแนะสำหรับกระบวนการผลิตเพื่อแก้ปัญหาคุณภาพน้ำดื่มและเพิ่มประสิทธิภาพของระบบ โดยโครงการนี้มีแนวคิดในการวางแผนการกรองการทำงานดังแสดงไว้ในภาพที่ 3.1



ภาพที่ 3.1 กรอบแนวทางการทำงานของโครงการ

จากแนวทางการทำงานในเบื้องต้น สามารถสรุปเป็นแผนการดำเนินงานดังต่อไปนี้

- 1) ศึกษาและทบทวนเอกสารที่เกี่ยวข้อง โดยได้รับรวมเอกสารสำหรับกระบวนการผลิตน้ำดื่มและทฤษฎีที่เกี่ยวข้องไว้ในรายงานสรุป
- 2) การรวบรวมข้อมูลและการวิเคราะห์คุณลักษณะของน้ำดื่มน้ำดื่มที่ผลิตในโรงงานด้วยย่างรวมทั้งได้สรุปลักษณะปัญหาการผลิตเพื่อทดลองปรับปรุงกระบวนการผลิต โดยนำตัวอย่างมาวิเคราะห์ถึงกระบวนการผลิตน้ำดื่มน้ำดื่มเฉพาะด้านที่ไม่ได้มาตรฐานน้ำดื่มน้ำดื่ม
- 3) การทดสอบในห้องปฏิบัติการของภาควิชาชีวกรรมเคมี ภาควิชาชีวกรรมศาสตร์ มหาวิทยาลัยอุบลราชธานี โดยเน้นการทดสอบสารชนิดต่างๆ ในกระบวนการผลิตน้ำดื่มน้ำดื่ม
- 4) การประเมินค่าใช้จ่ายในการดำเนินระบบ โดยเน้นการศึกษาจากโรงงานผลิตน้ำดื่มน้ำดื่มแบบ
- 5) ข้อเสนอแนะการปรับปรุงกระบวนการผลิต ที่ประมวลได้จากผลการทดสอบแบบไม่ต่อเนื่องและการทดสอบแบบต่อเนื่อง เพื่อวิเคราะห์คุณภาพน้ำดื่มน้ำดื่มให้ได้มาตรฐาน
- 6) สรุปผลการดำเนินงานวิจัยและจัดสร้างรายงานการวิจัย

จากแผนการดำเนินงานข้างต้นใช้เวลาในการดำเนินงานทั้งสิ้น 12 เดือน สามารถสรุปเป็นปฏิทินการดำเนินงานดังตารางที่ 3.1

ตารางที่ 3.1 แผนการดำเนินงานทั้งโครงการ

แผนงาน/กิจกรรม	เดือนที่											
	1	2	3	4	5	6	7	8	9	10	11	12
1. ศึกษาและทบทวนเอกสารที่เกี่ยวข้อง	↔	↔										
2. เก็บรวบรวมและวิเคราะห์น้ำดื่อย่าง	↔	↔										
3. การทดลองในห้องปฏิบัติการ			↔	↔	↔	↔	↔	↔				
4. ประเมินค่าใช้จ่ายในการดำเนินระบบ								↔	↔			
5. เสนอแนะการปรับปรุงกระบวนการผลิต										↔	↔	
6. สรุปผลการวิจัย											↔	

3.2 การออกแบบการทดลอง

3.2.1 การทดสอบแบบไม่ต่อเนื่อง

การทดสอบแบบไม่ต่อเนื่อง สามารถทำได้ในห้องปฏิบัติการของภาควิชาวิศวกรรมเคมี คณะวิศวกรรมศาสตร์ มหาวิทยาลัยอุบลราชธานี การศึกษานี้เพื่อทดสอบประสิทธิภาพของสารชนิดต่าง ๆ ในแต่ละขั้นตอนการผลิตน้ำดื่ม โดยมีรายละเอียดแสดงได้ดังต่อไปนี้

1) การทดสอบสารแมงกานีส (Manganese Sand) เพื่อศึกษาประสิทธิภาพการกำจัดเหล็กและแมงกานีสในน้ำ โดยที่ทราบแมงกานีสหรือ Manganese Sand ที่ประกอบด้วยสารแมงกานีสไดออกไซด์ (Manganese Dioxide, MnO₂) เพื่อให้เกิดสารแมงกานีสไอโอดอกไซด์ที่ผิวดองทรรยาทำให้เกิดกระบวนการออกซิเดชัน (Oxidation) สามารถใช้กับตัวที่ก่อให้เกิดการออกซิเดชัน เช่น ไปಡสเซบิเมอร์แมงกานेट (Potassium Permanganate) โดยทั่วไปการใช้สารแมงกานีสสามารถใช้กำจัดธาตุเหล็กและธาตุแมงกานีส การกำจัดสารแขวนลอยและค่าความบุน การกำจัดสารไฮโดรเจนซัลไฟด์ สี กลิ่น และรส คุณสมบัติทางกายภาพของสารแมงกานีสแสดงได้ในตารางที่ 3.2

ตารางที่ 3.2 คุณสมบัติทางกายภาพของสารแมงกานีส

คุณสมบัติ	สารตัวอย่าง
ลักษณะทางกายภาพ (Physical Appearance)	เม็ดสีน้ำตาลคำ
ขนาด (Effective Size)	1.0 – 1.8 มิลลิเมตร
สัมประสิทธิ์ความรวมเรียบ (Uniformity Coefficient)	1.3 – 1.6
ความหนาแน่น (Bulk Density)	1,300 kg/m ³
ความสามารถในการออกซิเดชัน (Oxidation Capacity)	1.5 g of Fe/L หรือ 0.7 g of Mn/L

การทดสอบแบบไม่ต่อเนื่องหรือเป็นการทดสอบแบบ Batch Test ที่ได้ทำการทดสอบสารแมงกานีสกันน้ำตัวอย่างของชุมชนลับแล เพื่อศึกษาประสิทธิภาพของสารแมงกานีสในการกำจัดธาตุเหล็กและธาตุแมงกานีส โดยการทดลองแบ่งปริมาณสารแมงกานีสเป็น 0.5 กรัม 1.0 กรัม และ 2.0 กรัม ปริมาณน้ำตัวอย่างที่ใช้ทดสอบประมาณ 70 มิลลิลิตร ในภาชนะที่มีปริมาตรประมาณ 100 มิลลิลิตร โดยปล่อยให้มีการเขย่าโดยเครื่อง shaker ตลอดระยะเวลาที่ทำการทดสอบกำหนดไว้ที่ 24 ชั่วโมง เนื่องจากสารที่เกิดการแยกเปลี่ยนประจำตัวสู่ภาวะสมดุล ส่วนเวลาที่ใช้ทดสอบแบ่งเป็นเวลาการทดสอบที่หนึ่งชั่วโมง สองชั่วโมง สามชั่วโมง หกชั่วโมง สิบชั่วโมง สิบสี่ชั่วโมง สิบแปดชั่วโมง และยี่สิบสี่ชั่วโมง ตัวอย่างแต่ละช่วงเวลาถูกนำมาวิเคราะห์หา

ปริมาณเหล็กและแมงกานีสที่หลงเหลือเพื่อทำการทดสอบถึงความสามารถในการแลกเปลี่ยนประจุของสารดังกล่าว

การทดสอบปริมาณเหล็กและแมงกานีสสามารถทำได้ด้านวิธีของหนังสือ Standard Method (1995) โดยใช้แสงญี่วีในการเทียบกับค่ามาตรฐานของปริมาณเหล็กและแมงกานีส โดยที่การใช้แสงญี่วีที่ความยาวคลื่นเท่ากัน 510 นาโนเมตรและ 525 นาโนเมตร สำหรับค่าการวัดของปริมาณเหล็กและแมงกานีสตามล้ำดับ การทดสอบการคุณชั้บแมงกานีสโดยใช้สารแมงกานีสทำได้โดยการถังสารแมงกานีสด้วยน้ำกลั่นบริสุทธิ์ก่อน แล้วจึงนำมาอบแห้งก่อนที่จะซั่งน้ำหนักของสารแมงกานีสตามปริมาณของสารแมงกานีส เมื่อจากสารแมงกานีสที่ยังไม่ผ่านการทำความสะอาดที่ดีพออาจส่งผลต่อการวิเคราะห์ความเข้มข้นของแมงกานีสที่ปรากฏในปริมาณที่มากกว่าในน้ำด้วย

2) การทดสอบถ่านกัมมันต์หรือแอคทีวีเต็คคาร์บอน (Activated Carbon) เพื่อศึกษาประสิทธิภาพการกำจัดสารอินทรีย์โดยศึกษาการดูดซับของสารอินทรีย์ธรรมชาติ (Natural Organic Matter, NOM) ที่มีค่าถ่านกัมมันต์โดยการเน้นหาความเข้มข้นของสารคาร์บอนทั้งหมด (Total Organic Carbon, TOC) และการหาความสัมพันธ์ระหว่างค่าการดูดซับโดยการใช้ค่าการดูดกลืนแสง หรือแสงยูวีที่ความยาวคลื่นที่ 254 นาโนเมตร ($UV_{254 \text{ nm}}$) และความเข้มข้นของสารคาร์บอนทั้งหมด ถ่านกัมมันต์ที่ใช้เป็นถ่านคาร์บอนที่ได้จาก Granular Activated Coconut Shell Based Carbon เกรด DEO 8/30 โดยผ่านการทดสอบจาก ASTM โดยถ่านกัมมันต์สามารถใช้ประโยชน์ได้ในกระบวนการผลิตน้ำบริสุทธิ์ (Water Purification) การกำจัดกลิ่น (Deodorization) การกำจัดสี (Decolourization) การกำจัดคลอรีน (Dechlorination) และการกำจัดสารอินทรีย์ในน้ำ (Removal of Organic Compounds in Water) ส่วนคุณสมบัติทางกายภาพของถ่านกัมมันต์แสดงในตารางที่ 3.3

การทดสอบแบบไม่ต่อเนื่อง สำหรับถ่านกัมมันต์จะทดสอบกับน้ำดื้ออย่างของขุนชุมลับแล้วเพื่อศึกษาประสิทธิภาพการคัดซับของสารอินทรีย์ธรรมชาติต่อถ่านกัมมันต์ โดยการทดลองแบ่งตามปริมาณของถ่านกัมมันต์เป็น 0.5 กรัม 1.0 กรัม และ 2.0 กรัม ปริมาณน้ำดื้ออย่างที่ใช้ทดสอบประมาณ 70 มิลลิลิตร ในภาชนะที่มีปริมาตรประมาณ 100 มิลลิลิตร โดยปล่อยให้เกิดการคัดซับของสารอินทรีย์ธรรมชาติโดยใช้เครื่องเขย่า shaker ส่วนเวลาที่ใช้ทดสอบแบ่งเป็นเวลาการทดสอบที่หนึ่งชั่วโมง ส่องชั่วโมง สามชั่วโมง หกชั่วโมง สิบสี่ชั่วโมง สิบแปดชั่วโมงและสิบสองชั่วโมง

การทดสอบปริมาณของถ่านกัมมันต์จาก 0.2 กรัม ถึง 3 กรัม เพื่อศึกษาการคุ้มครองสารอินทรีย์ที่มีผลต่อปริมาณของถ่านกัมมันต์ โดยปล่อยให้เกิดการคุ้มครองเวลา 24 ชั่วโมง

ตารางที่ 3.3 คุณสมบัติทางกายภาพของถ่านกัมมันต์

คุณสมบัติ	สารตัวอย่าง
การกระจายของขนาด (Particle Size Distribution)	
+8 (2.36 mm)	Max. 5%
8/30 (2.36-0.60 mm)	Min. 90%
-30 (0.60 mm)	Min. 5%
ความหนาแน่น (Apparent Density)	Min. 0.50 – 0.58 g/cm ³
ความชื้น (Moisture)	Max. 8 (% w/w)
ค่า pH (pH)	8 - 10
พื้นที่ผิว (Surface Area)	Min. 850 m ² /g
Carbon Tetrachloride Adsorption	Min. 30 (% w/w)

3) การทดสอบเรซินประจุบวก (cation exchange resin) เพื่อศึกษาประสิทธิภาพการแลกเปลี่ยนของความเข้มข้นของแคลเซียม (Ca^{2+}) แมกนีเซียม (Mg^{2+}) และความกระด้างของน้ำ (hardness) เรซินที่ใช้ทดสอบเป็นเรซินชนิด polystyrene sulphonate cation exchange resin ไออ่อนอยู่ในรูปของ Na^+ คุณสมบัติทางกายภาพของเรซินประจุบวกแสดงไว้ในตารางที่ 3.4

ตารางที่ 3.4 คุณสมบัติทางกายภาพของเรซินประจุบวก

คุณสมบัติ	สารตัวอย่าง
โครงสร้างของโพลีเมอร์ (Polymer Matrix Structure)	Polystyrene Crosslinked with 7% DVB
ชนิด (Type)	Gel Strong Acid Resin
พังค์ชั่นนอลกรุป (Functional Group)	$\text{R}-\left(\text{SO}_3\right)^- \text{M}^+$
รูปร่าง (Appearance)	Clear Spherical Beads
ความชื้น (Moisture Content, %)	45 - 50
ค่า pH (pH Range)	1-14
Uniformity Coefficient, UC	≤ 1.6
ขนาดตะแกรง (Screen Size Range)	55~16 (U.S. Standard Screen)

การทดสอบสารเรซินชนิดบวกแบบไม่ต่อเนื่องหรือวิธีการทดสอบแบบ Batch Test เพื่อศึกษาการแลกเปลี่ยนประจุบวกของแคลเซียมกับแมกนีเซียม โดยใช้น้ำดื่มน้ำดื่มน้ำดื่มและ

การทดสอบความเข้มข้นของแคลเซียมจะแบ่งตามปริมาณของสารเรซินที่มีน้ำหนักจาก 0.5 กรัม 1.0 กรัม 2.0 กรัม 3 กรัม 5 กรัม และ 10 กรัม ตามลำดับ ส่วนความเข้มข้นของสารแมกนีเซียมจะทดสอบกับปริมาณสารเรซินที่มีน้ำหนักจาก 3 กรัม 5 กรัม และ 10 กรัม ตามลำดับ ปริมาตรของน้ำตัวอย่างที่ใช้ทดสอบประมาณ 70 มิลลิลิตร โดยการซั่งน้ำหนักของสารเรซินและเดินน้ำตัวอย่างลงในภาชนะที่มีปริมาตรประมาณ 100 มิลลิลิตร และปล่อยให้เกิดการแตกเปลี่ยนประจุระหว่างสารโซเดียมที่มีอยู่ในตัวเรซินและสารที่มีประจุบวกในน้ำตัวอย่าง เช่น Ca^{2+} และ Mg^{2+} เป็นต้น ช่วงเวลาที่ใช้ทดสอบแบ่งเป็นการทดสอบที่หนึ่งชั่วโมง สองชั่วโมง สามชั่วโมง หกชั่วโมง สิบชั่วโมง สิบห้าชั่วโมง สิบแปดชั่วโมงและสิบห้าชั่วโมง เพื่อศึกษาถึงการเปลี่ยนแปลงในการแตกเปลี่ยนประจุบวกในช่วงเวลาดังกล่าว ระหว่างช่วงเวลาการทดสอบจะมีเครื่องเขย่าหรือ shaker ตลอดระยะเวลาการทดสอบ

การทดสอบเพื่อหาค่าความเข้มข้นของสารแคลเซียม แมกนีเซียม และความกระด้างของน้ำสามารถหาได้โดยวิธีการ titration ตามมาตรฐานของวิธีในหนังสือ Standard Method (1995)

4) การทดสอบเรซินประจุลบ (Anion Exchange Resin) เพื่อศึกษาประสิทธิภาพการแยกเปลี่ยนของความเข้มข้นของสารที่มีประจุลบ เช่น ไนโตรเจน (NO_3^-) ซัลเฟต (SO_4^{2-}) ส่วนคุณสมบัติของสารเรซินมีฟังก์ชันลักษณะแบบ $\text{N}^+(\text{CH}_3)_3$ ชนิด styrene divinylbenzene copolymer ความสามารถในการเก็บน้ำ (Water Retention) ประมาณ 58-64% สารไอออนที่ใช้แยกเปลี่ยนประจุสำหรับสารเรซินประจุลบอยู่ในรูปของคลอไรด์ (Cl^-) ตารางที่ 3.5 แสดงคุณสมบัติทางกายภาพของเรซินประจุลบ

ตารางที่ 3.5 คุณสมบัติทางกายภาพของเรซินประจุลบ

คุณสมบัติ	สารตัวอย่าง
โครงสร้าง (Polymer Matrix Structure)	Styrene divinylbenzene copolymer
ฟังก์ชันลักษณะ (Functional Group)	$-\text{N}^+(\text{CH}_3)_3$
ลักษณะทางกายภาพ (Physical form)	Ivory Beads
ความสามารถจับความชื้น (Moisture holding capacity)	58 – 64 %
ไอออน (Ionic form)	Chloride
Uniformity Coefficient, UC	≤ 1.5
Maximum reversible swelling	$\text{Cl}^- \rightarrow \text{OH}^- : 25\%$

การทดสอบไม่ต่อเนื่องของเรซิ่นประจุลบใช้ทดสอบที่ปริมาณ 5 กรัม 10 กรัม และ 15 กรัม โดยใช้น้ำด้วยหัวจากขุนชันลับแล การทดสอบแบ่งเป็นการทดสอบของสารไนเตรต (NO_3^-) และซัลเฟต (SO_4^{2-}) เพื่อศึกษาการกำจัดสารตั้งกล่าวเทียบกับระยะเวลาที่ใช้ทดสอบที่หนึ่งชั่วโมง ส่องชั่วโมง สามชั่วโมง หกชั่วโมง สิบชั่วโมง สิบสี่ชั่วโมง สิบแปดชั่วโมงและยี่สิบชั่วโมง การวัดค่าความเข้มข้นของสารไนเตรตและซัลเฟตโดยใช้ค่าการคุณภาพสูงของแสงที่ความยาวคลื่นเท่ากับ 410 นาโนเมตร และ 420 นาโนเมตร ตามลำดับ โดยอาศัยความสัมพันธ์ระหว่างความเข้มข้นของสารทั้งสองชนิดต่อค่าการคุณภาพสูงแบบ UV Adsorbance

3.2.2 การทดสอบแบบต่อเนื่อง

การทดสอบแบบต่อเนื่องทำได้ในห้องปฏิบัติการภาควิชาชีวกรรมเคมี คณะวิศวกรรมศาสตร์ มหาวิทยาลัยอุบลราชธานี โดยเน้นการทดสอบของสารเรซิ่นประจุลบที่ใช้ในการกำจัดสารไนเตรตในน้ำด้วยหัว เนื่องจากสารไนเตรตพบว่ามีความเข้มข้นสูงและเกินมาตรฐานน้ำดื่มน้ำที่กำหนดไว้ประมาณ 4 มิลลิกรัมต่อลิตร การทดสอบโดยใช้กลั่มน้ำด้วยความยาวเท่ากับ 23.5 เซนติเมตร และเส้นผ่าศูนย์กลางเท่ากับ 0.45 เซนติเมตร น้ำหนักของเรซิ่นประจุลบประมาณ 5 กรัม ส่วนน้ำด้วยหัวจากขุนชันลับและถูกปืนเข้าสู่ระบบโดยใช้ปั๊มแบบ peristaltic pump อัตราการไหลอยู่กวนคุณไว้ที่ 30 มิลลิเมตรต่อนาที (mL min^{-1}) ซึ่งปั๊มน้ำดื่มน้ำถูกปรับแก้อัตราการไหลโดยใช้น้ำ DI ก่อนการทดสอบจริงสำหรับน้ำด้วยหัวของขุนชันลับแล

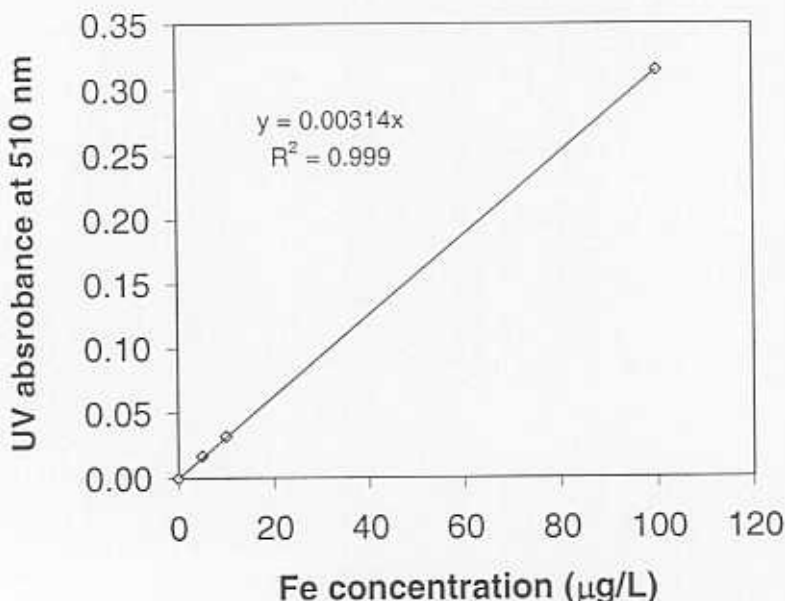
น้ำด้วยหัวปืนผ่านสารเรซิ่นประจุลบเพื่อหาความเข้มข้นของสารไนเตรตที่ผ่านกลั่มน้ำโดยเก็บด้วยหัวเพื่อนำมาวิเคราะห์ตามปริมาณของน้ำด้วยหัว ที่ผ่านการแยกเปลี่ยนประจุที่ออกมาจากกลั่มน้ำ

3.3 อุปกรณ์และเครื่องมือที่ใช้ในการวิจัย

3.3.1 เครื่องมือวิเคราะห์การคุณภาพสูง (UV-VIS spectrophotometer)

เครื่องมือวิเคราะห์การคุณภาพสูง (UV-VIS spectrophotometer)รุ่น UV mini 1240 จากบริษัท Shimadzu corporation (Japan) เป็นเครื่องมือแบบ single beam 5 nm ที่ใช้วิเคราะห์สารเหล็ก แมงกานีส ในเครต ซัลเฟต และการคุณภาพสูงของสารอินทรี สามารถทำได้โดยใช้เครื่องมือวิเคราะห์ค่าการคุณภาพสูงแบบ UV-VIS spectrophotometer โดยค่าความยาวคลื่นที่ใช้ในการคุณภาพสูงจะแตกต่างกันตามมาตรฐานของ Standard Method (1995) โดยความยาวคลื่นที่ใช้ในการวิเคราะห์สำหรับเหล็ก แมงกานีส ในเครต และซัลเฟต มีค่าเท่ากับ 510 นาโนเมตร 525 นาโนเมตร 410 นาโนเมตร และ 420 นาโนเมตร ตามลำดับ ค่าการคุณภาพสูงของสารอินทรีวัดที่

ความยาวคลื่นเท่ากับ 254 นาโนเมตร ความสัมพันธ์ระหว่างค่าการดูดกลืนแสงและความเข้มข้นของสารเหล็กแสลงได้ในภาพที่ 3.2



ภาพที่ 3.2 ความสัมพันธ์ระหว่างค่าการดูดกลืนแสงและความเข้มข้นของสารเหล็ก

ความสัมพันธ์ทางสถิติเชิงเส้นตรงระหว่างห้องส่องค่านี้ค่าสูงโดยที่ค่า r^2 เท่ากับ 0.999 สมการ ความสัมพันธ์ของค่าการดูดกลืนแสงและความเข้มข้นของสารเหล็กซึ่งเป็นสมการได้ดังนี้

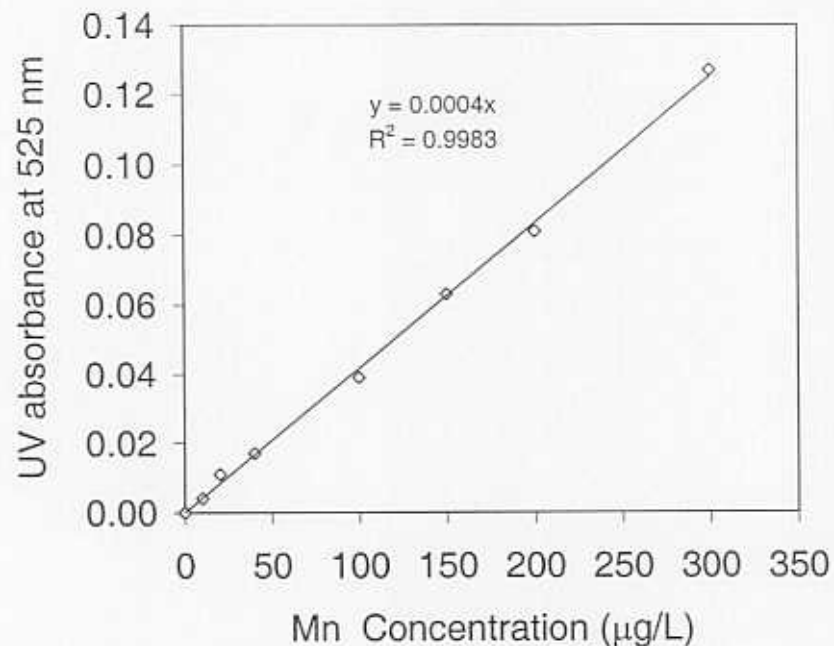
$$UV \text{ absorbance at } 510 \text{ nm} = 0.00314 \times [Fe^{2+}]; \quad r^2 = 0.999$$

โดยที่ $[Fe^{2+}]$ เท่ากับ ความเข้มข้นของสารเหล็กมีหน่วยเป็นไมโครกรัมต่อลิตร ($\mu\text{g/L}$)

ภาพที่ 3.3 แสดงความสัมพันธ์ระหว่างค่าการดูดกลืนแสงและความเข้มข้นของสารแมงกานีส ความสัมพันธ์ทางสถิติเชิงเส้นตรงระหว่างห้องส่องค่านี้ค่าสูงโดยที่ค่า r^2 เท่ากับ 0.9983 สมการ ความสัมพันธ์ระหว่างค่าการดูดกลืนที่ความยาวคลื่น 525 นาโนเมตรและความเข้มข้นของสารแมงกานีสแสลงได้ดังนี้

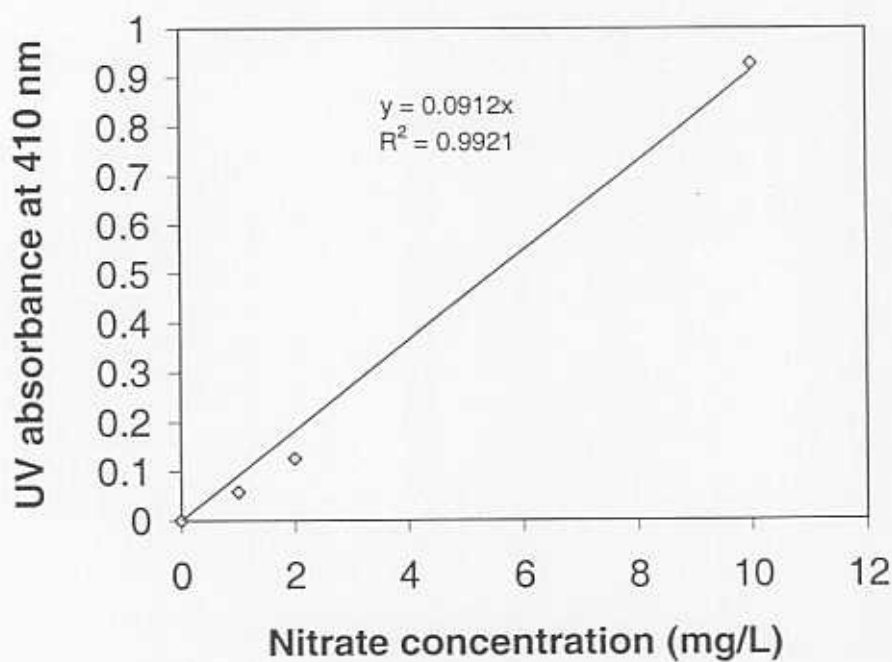
$$UV \text{ absorbance at } 525 \text{ nm} = 0.0004 \times [Mn^{2+}]; \quad r^2 = 0.9983$$

โดยที่ $[Mn^{2+}]$ เท่ากับ ความเข้มข้นของสารแมงกานีส หน่วยเป็นไมโครกรัมต่อลิตร ($\mu\text{g/L}$)



ภาพที่ 3.3 ความสัมพันธ์ระหว่างค่าการคุณค่าและความเข้มข้นของสารแมงกานีส

ภาพที่ 3.4 แสดงความสัมพันธ์ระหว่างค่าการคุณค่าและความเข้มข้นของสารในเดรด ความสัมพันธ์ทางสถิติเชิงเส้นตรงระหว่างทั้งสองค่ามีค่าสูงโดยที่ r^2 เท่ากับ 0.9921 ด้าน



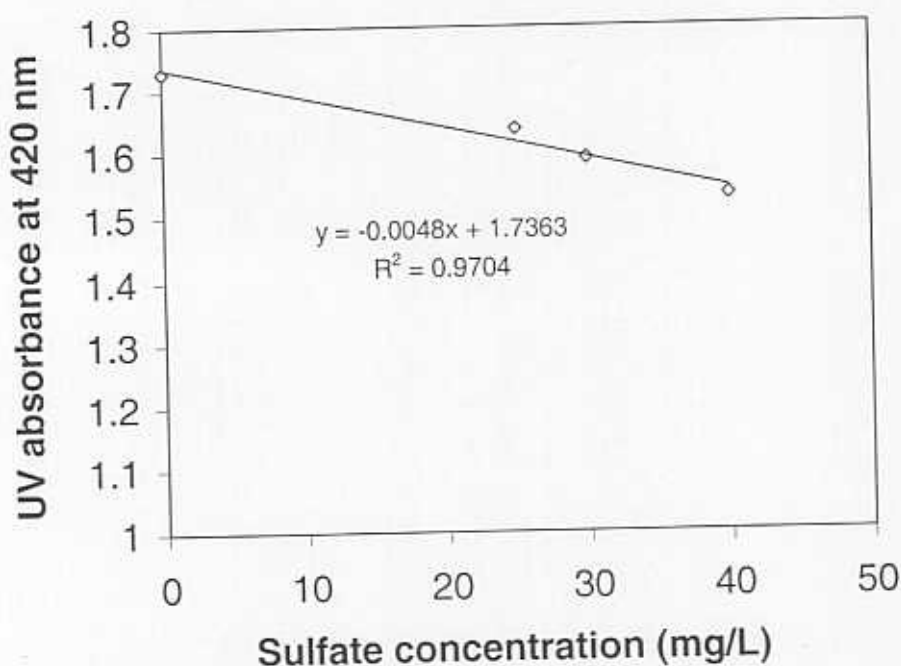
ภาพที่ 3.4 ความสัมพันธ์ระหว่างค่าการคุณค่าและความเข้มข้นของสารในเดรด

สมการแสดงความสัมพันธ์ระหว่างค่าการคุณลักษณะที่ความยาวคลื่นเท่ากับ 410 นาโนเมตรและความเข้มข้นของสาร ในเครดทดสอบ ได้ดังนี้

$$UV \text{ absorbance at } 410 \text{ nm} = 0.0921 \times [NO_3^-]; r^2 = 0.9921$$

โดยที่ $[NO_3^-]$ เท่ากับ ความเข้มข้นของสาร ในเครดมิหน่วยเป็นมิลลิกรัมต่อลิตร (mg/L)

ภาพที่ 3.5 แสดงความสัมพันธ์ระหว่างค่าการคุณลักษณะและความเข้มข้นของสารซัลเฟต



ภาพที่ 3.5 ความสัมพันธ์ระหว่างค่าการคุณลักษณะและความเข้มข้นของสารซัลเฟต

ความสัมพันธ์ของทั้งสองค่าให้ค่าที่คิดที่สุดที่ 60 วินาที เมื่อจากความสัมพันธ์มีค่าสูง (r^2 ประมาณ 0.97) จากช่วงเวลาที่ใช้ในการวัดทั้งหมดตั้งแต่ 0 ถึง 4 นาที โดยวัดทุก ๆ 30 วินาที ส่วนสมการความสัมพันธ์ระหว่างค่าการคุณลักษณะที่ความยาวคลื่น 420 นาโนเมตรกับความเข้มข้นของซัลเฟต แสดงได้ดังนี้

$$UV \text{ absorbance at } 420 \text{ nm} = -0.0048 \times [SO_4^{2-}] + 1.7363; r^2 = 0.9704$$

โดยที่ $[SO_4^{2-}]$ เท่ากับความเข้มข้นของสารซัลเฟตมิหน่วยเป็นมิลลิกรัมต่อลิตร (mg/L)

โดยการเพิ่มขึ้นของความเข้มข้นของซัลเฟตมีผลต่อการลดลงของค่าแสงญี่วีดังแสดงในกราฟ

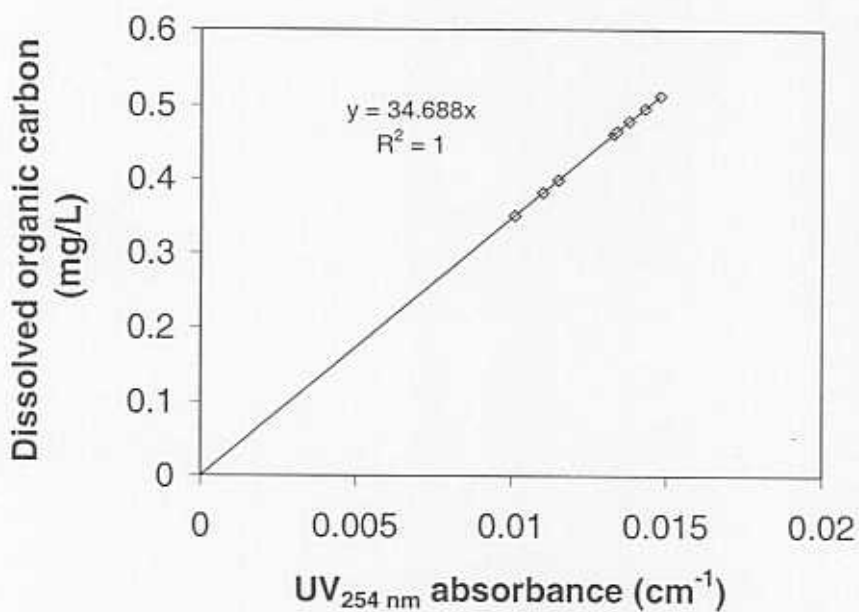
3.3.2 เครื่องมือวิเคราะห์การบันทึกหนดของสารอินทรีย์ (Total Organic Carbon, TOC)

เครื่องมือวิเคราะห์การบันทึกหนดของสารอินทรีย์ (Total Organic Carbon, TOC) รุ่น TOC-VCPh ของบริษัท Shimadzu Corporation (Japan) เป็นเครื่องมือที่ใช้ในการวิเคราะห์สารการบันทึกของสารอินทรีย์ในน้ำด้วยวิธี ภาพที่ 3.6 แสดงความสัมพันธ์ของสารการบันทึกหนด และค่าการคุณลักษณะที่ความยาวคลื่น 254 นาโนเมตร โดยใช้น้ำด้วยจากชุมชนลับแล

สมการความสัมพันธ์ระหว่างสารการบันทึกหนดของสารอินทรีย์และค่าการคุณลักษณะที่ความยาวคลื่น 254 นาโนเมตร แสดงได้ดังนี้

$$\text{Dissolved organic carbon} = 34.688 \times UV_{254\text{ nm}}; r^2 = 1$$

โดยที่ $UV_{254\text{ nm}}$ เท่ากับค่าการคุณลักษณะที่ความยาวคลื่นที่ 254 นาโนเมตร



ภาพที่ 3.6 ความสัมพันธ์ระหว่างค่าการคุณลักษณะและความเข้มข้นของอินทรีย์การบันทึก

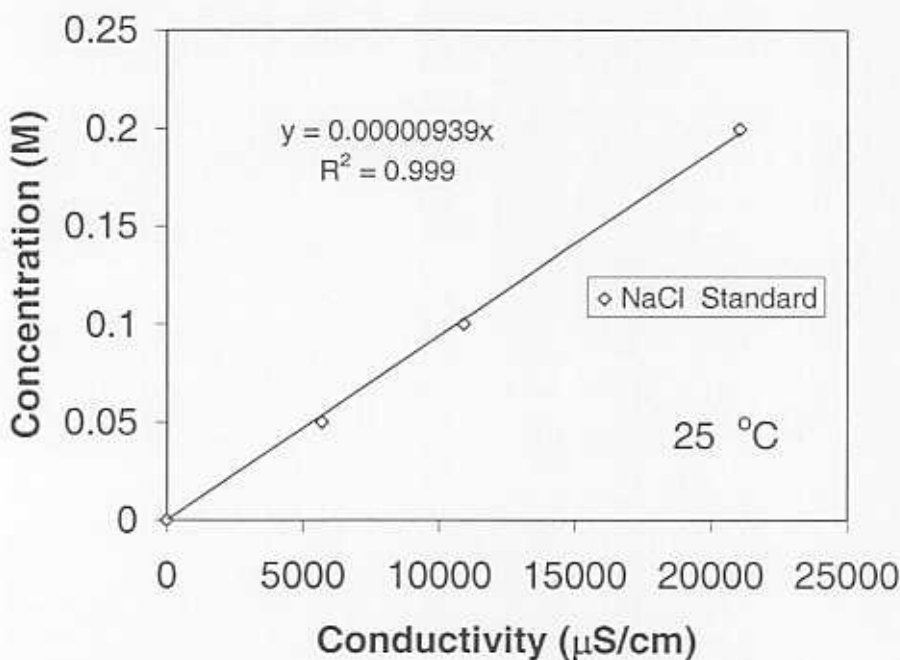
3.3.3 เครื่องมือวิเคราะห์ค่าการนำไฟฟ้า (Conductivity meter)

เครื่องมือวิเคราะห์ค่าการนำไฟฟ้า (Conductivity meter) รุ่น inoLab Cond Level 2 จากบริษัท Wissenschaftlich-Technische Werkstatten (WTW) GmbH & Co. (Weilheim, Germany) เป็นเครื่องมือที่ใช้ในการวิเคราะห์ค่าการนำไฟฟ้าหรือปริมาณไอออนที่อยู่ในน้ำด้วย เช่น

ไอออนที่เป็นประจุลบและเป็นประจุบวก แสดงหน่วยเป็นไมโครซีเมนต์ต่อเซนติเมตร ($\mu\text{S}/\text{cm}$) หรือ มิลลิซีเมนต์ต่อเซนติเมตร (mS/cm) ภาพที่ 3.7 แสดงความสัมพันธ์ของความเข้มข้นของโซเดียมคลอไรด์กับค่าการนำไฟฟ้าสมการความสัมพันธ์ระหว่างความเข้มข้นของโซเดียมคลอไรด์ และค่าการนำไฟฟ้า แสดงเป็นสมการได้ดังนี้

$$\text{NaCl concentration (M)} = 9.39 \times 10^{-6} \times (\text{conductivity, } \mu\text{S/cm}); r^2 = 0.999$$

โดยที่ ค่า conductivity มีหน่วยเป็นไมโครซีเมนต์ต่อเซนติเมตร



ภาพที่ 3.7 ความสัมพันธ์ระหว่างความเข้มข้นของโซเดียมคลอไรด์และค่าการนำไฟฟ้า

3.3.4 เครื่องมือวิเคราะห์ค่าความเป็นกรดและเบส (pH meter)

เครื่องมือวิเคราะห์ค่าความเป็นกรดและเบส (pH meter) รุ่น inoLab pH Level 1 จากบริษัท Wissenschaftlich-Technische Werkstatten (WTW) GmbH & Co. (Weilheim, Germany) เป็นเครื่องมือที่ใช้ทดสอบค่าความเป็นกรดและเบสของน้ำดื้อย่าง และใช้ปรับสภาพคุณภาพน้ำ

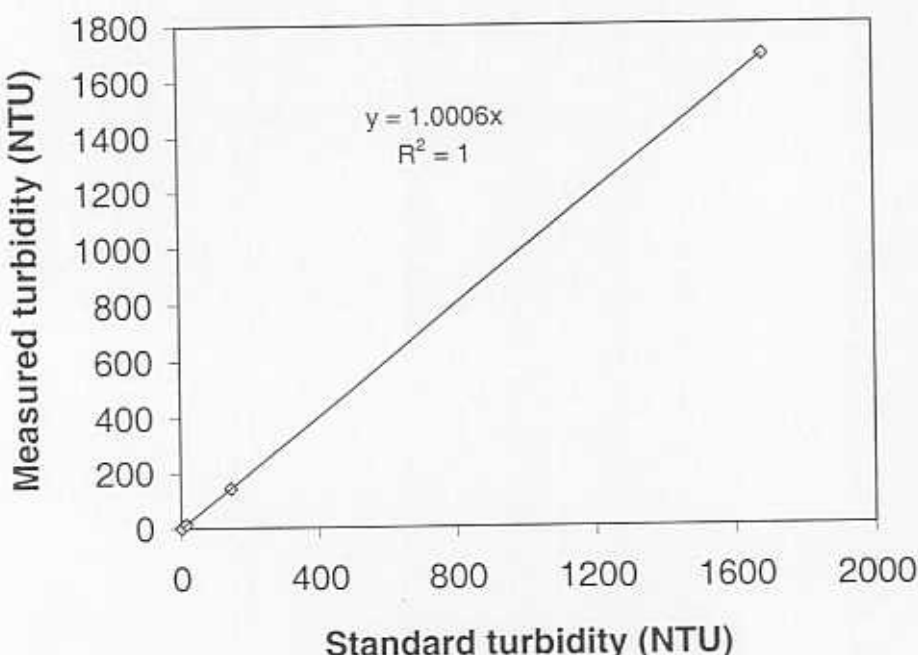
3.3.5 เครื่องมือวัดความชุ่ม (Turbidity meter)

เครื่องมือวัดความชุ่ม (Turbidity meter) รุ่น Hach Ratio/XRturbidimeter เป็นเครื่องมือที่ใช้วัดความชุ่มของน้ำดื้อย่างชุมชน ภาพที่ 3.8 แสดงความสัมพันธ์ของความชุ่มที่วัดได้กับค่าความ

บุ่นที่เป็นตัวอย่างมาตรฐาน ความสัมพันธ์ระหว่างความบุ่นที่วัดได้กับค่าความบุ่นที่เป็นตัวอย่างมาตรฐานแสดงเป็นสมการได้ดังนี้

$$\text{Measured turbidity (NTU)} = 1.0006 \times \text{Standard turbidity (NTU)}; r^2 = 1$$

ค่ามาตรฐานของตัวอย่างความบุ่นมีค่าใกล้เคียงกับค่าที่วัดได้จริง โดยแสดงจากค่าความสัมพันธ์เชิงเส้นตรงที่มีค่าสูง โดยมีค่า r^2 เท่ากับ 1 และถึงตัวอย่างมาตรฐานสามารถให้ค่าผลการวิเคราะห์ที่ใกล้เคียงกับที่วัดได้จริง ดังนั้นสามารถใช้ตัวอย่างมาตรฐานมาใช้สำหรับการวิเคราะห์น้ำด้วยเครื่องที่ได้จากชุมชนลับแล



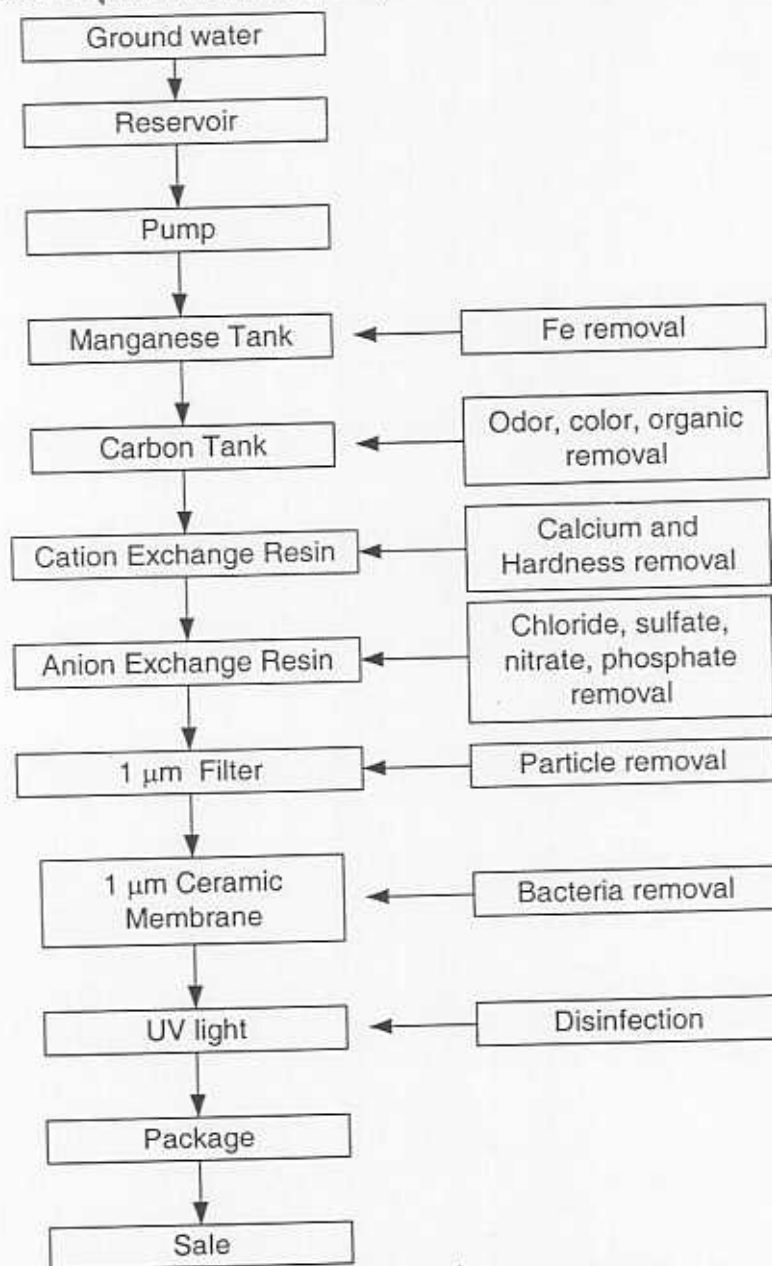
ภาพที่ 3.8 ความสัมพันธ์ระหว่างความบุ่นที่วัดได้กับค่าความบุ่นที่เป็นตัวอย่างมาตรฐาน

บทที่ 4
ผลการวิจัย

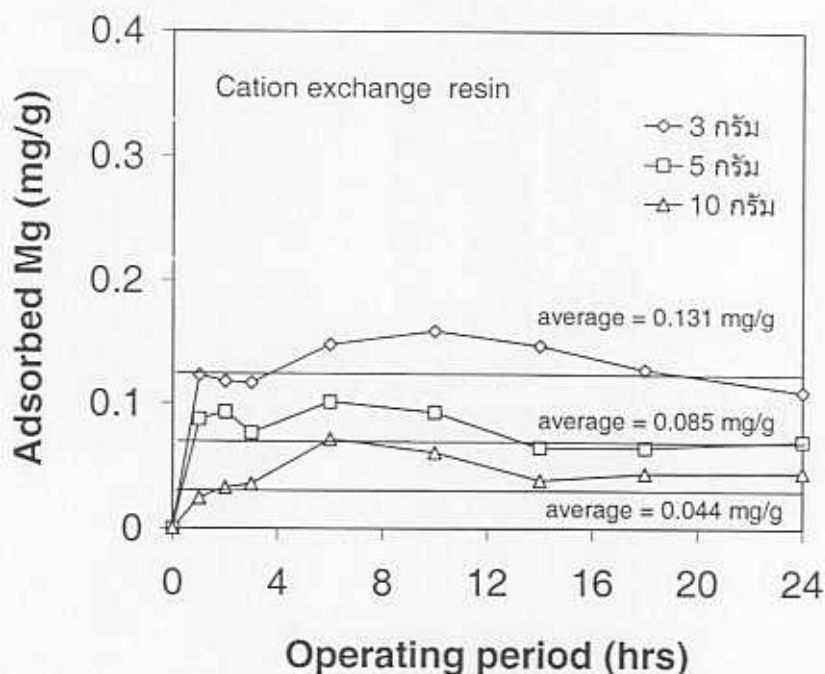
4.1 ผลการวิจัยศึกษากระบวนการผลิตน้ำดื่มน้ำมุกน้ำดื่มตัวอย่าง

4.1.1 ผังกระบวนการผลิตและคุณลักษณะของน้ำดื่บในโรงงานตัวอย่าง

น้ำดื่มที่ผลิตในชุมชนบ้านลับแลส่วนใหญ่ใช้เพื่อการบริโภคภายในห้องเดิน โดยเหล่าน้ำ



ภาพที่ 4.1 ขั้นตอนการผลิตน้ำดื่มน้ำดื่มของชุมชนลับแล

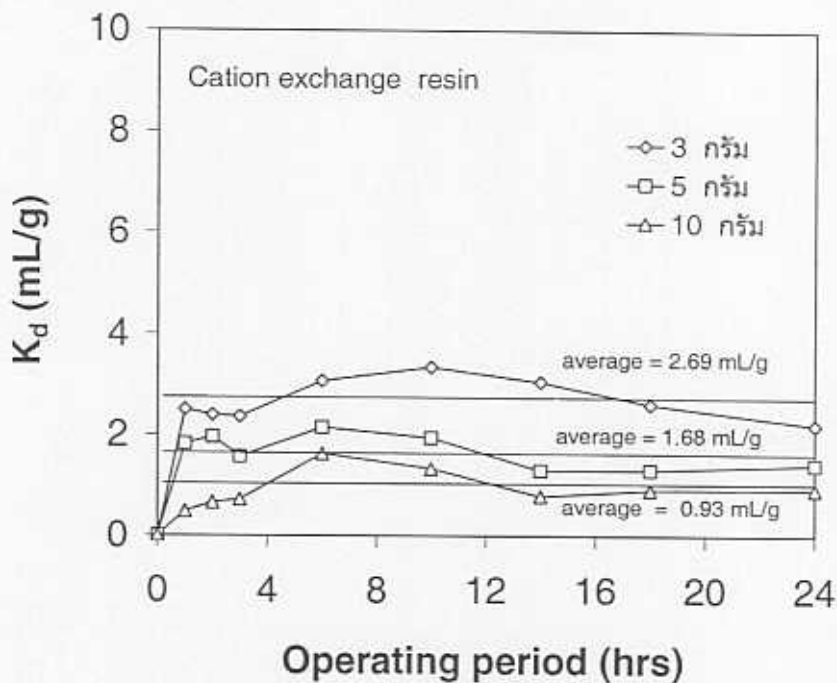


ภาพที่ 4.16 ความสามารถในการกำจัดแมกนีเซียมตามระยะเวลาการทดสอบ

ขั้นประจุบวก ค่าความสามารถในการกำจัดแมกนีเซียมโดยเฉลี่ยมีค่าเท่ากับ 0.131 มิลลิกรัมต่อกรัม 0.085 มิลลิกรัมต่อกรัม และ 0.044 มิลลิกรัมต่อกรัม สำหรับปริมาณของสารเรชั่นประจุบวกเท่ากับ 3 กรัม 5 กรัมและ 10 กรัม ความล้าดับ ค่าการจับตัวของแคลเซียมมีค่ามากในช่วงกลางของการทดสอบเนื่องจากผลของความเข้มข้นของแมกนีเซียมที่วัดได้น้อยในช่วงกลางของการทดสอบแบบ 'ไม่ค่อนเมื่อง'

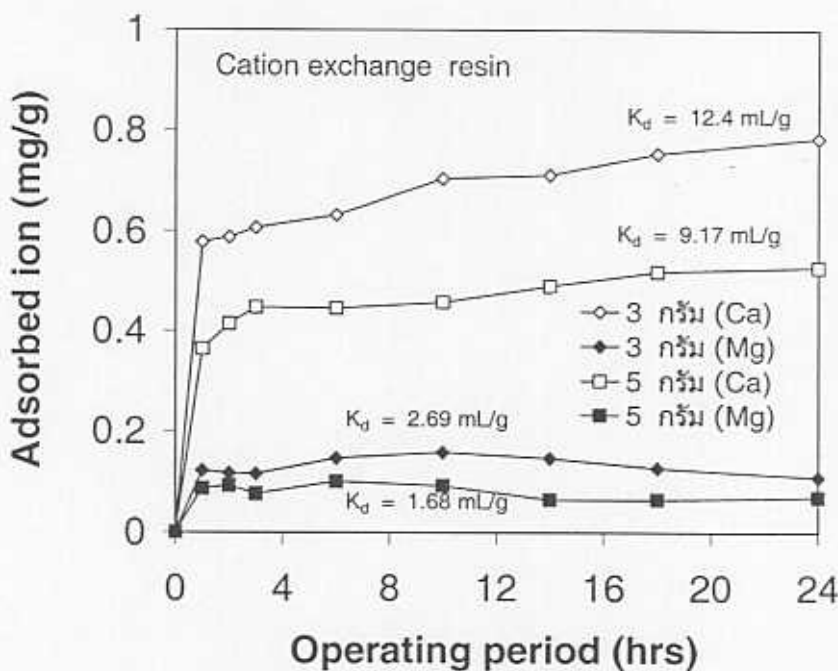
ภาพที่ 4.17 แสดงสัมประสิทธิ์การกระจายของแมกนีเซียมโดยใช้สารเรชั่นประจุบวก จากกราฟพนฐานว่าค่าสัมประสิทธิ์การกระจายของแมกนีเซียมโดยใช้สารเรชั่นประจุบวกมีค่าน้อยลง ตามปริมาณของสารเรชั่นประจุบวก ค่าสัมประสิทธิ์การกระจายของแมกนีเซียมมีค่าเฉลี่ยเท่ากับ 2.69 มิลลิตรต่อกรัม 1.68 มิลลิตรต่อกรัม และ 0.93 มิลลิตรต่อกรัม สำหรับปริมาณของสารเรชั่นประจุบวกเท่ากับ 3 กรัม 5 กรัม และ 10 กรัม ความล้าดับ

ภาพที่ 4.18 แสดงความสามารถในการกำจัดไฮอนโดยสารเรชั่นประจุบวก จากกราฟพนฐานว่าความสามารถในการกำจัดแคลเซียมมีค่าสูงกว่าแมกนีเซียมเนื่องจากความสามารถในการจับตัวของแคลเซียมที่ต่ำกว่าแมกนีเซียม ความสามารถในการจับตัวของแคลเซียมยังมีแนวโน้มสูงขึ้น เมื่อเทียบกับความสามารถในการจับตัวของแมกนีเซียมโดยสังเกตจากการทดสอบหลัง 24



ภาพที่ 4.17 สัมประสิทธิ์การกระจายของแมกนีเซียมโดยใช้สารเรชินประจุบวก

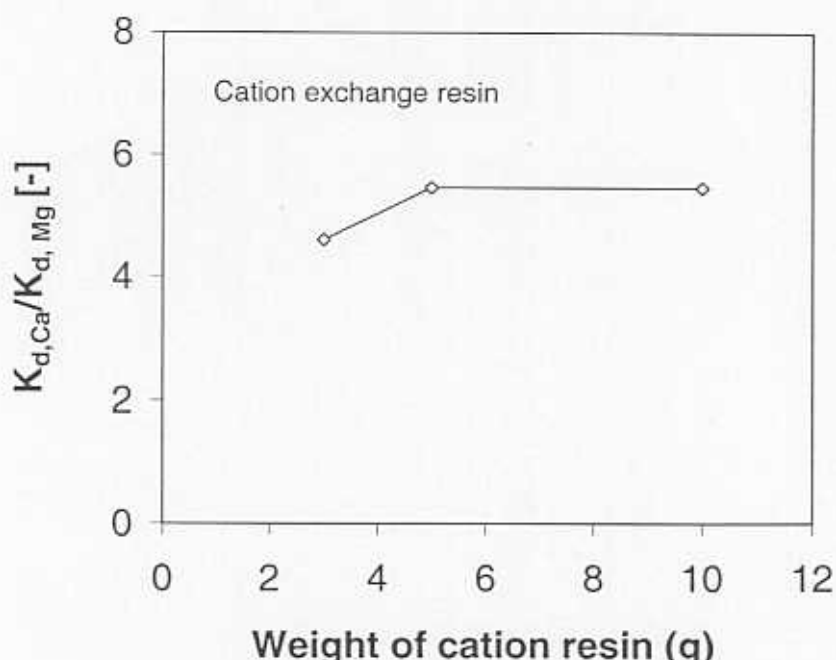
ข้อในใจ ค่าความสามารถในการกำจัดของเกลเชี่ยมยังส่งผลต่อค่าสัมประสิทธิ์การกระจายของแมกนีเซียมที่มีค่ามากกว่าค่าสัมประสิทธิ์การกระจายของแมกนีเซียมโดยใช้สารเรชินประจุบวก



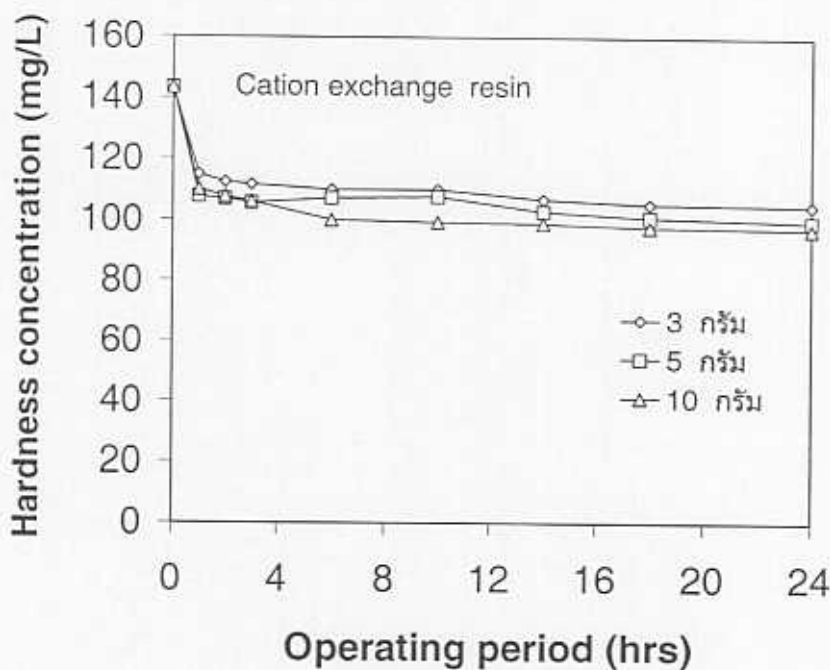
ภาพที่ 4.18 ความสามารถในการกำจัดไอออนโดยสารเรชินประจุบวก

ภาพที่ 4.19 แสดงอัตราส่วนของสัมประสิทธิ์การกระจายระหว่างแคลเซียมและแมกนีเซียม จากกราฟแสดงว่าค่าอัตราส่วนของสัมประสิทธิ์การกระจายระหว่างแคลเซียมและแมกนีเซียมมีค่ามากขึ้นตามปริมาณของสารเรชินประจุบวกและเข้าสู่สภาวะคงที่เมื่อปริมาณของสารเรชินประจุบวกมีค่าเท่ากับ 10 กรัม ค่าอัตราส่วนของสัมประสิทธิ์การกระจายระหว่างแคลเซียมและแมกนีเซียมมีค่าเท่ากับ 4.61 5.46 และ 5.46 สำหรับปริมาณของสารเรชินประจุบวกเท่ากับ 3 กรัม 5 กรัม และ 10 กรัม ตามลำดับ อย่างไรก็ตามผลกระบวนการของความเข้มข้นของแคลเซียมและแมกนีเซียมควรจะถูกตรวจสอบกับค่าสัมประสิทธิ์ของการกระจายเนื่องจากน้ำด้วยข้างที่ใช้ทดสอบนี้ความเข้มข้นของแคลเซียมและแมกนีเซียมที่แตกต่างกัน อาจส่งผลต่อค่าสัมประสิทธิ์การกระจายของแคลเซียมและแมกนีเซียมโดยใช้สารเรชินประจุบวก

ความกระต้างของน้ำเกิดจากองค์ประกอบในส่วนใหญ่ของแคลเซียมและแมกนีเซียม การกำจัดความกระต้างของน้ำสามารถทำได้โดยใช้สารเรชินประจุบวก ภาพที่ 4.20 แสดงความเข้มข้นของความกระต้างตามปริมาณของสารเรชินประจุบวก จากกราฟพบว่าความเข้มข้นของความกระต้างของน้ำมีค่าลดลงเล็กน้อยตามปริมาณของสารเรชินประจุบวกที่เพิ่มขึ้นจาก 3 กรัม ถึง 10 กรัม ความเข้มข้นของความกระต้างลดลงจาก 143.3 มิลลิกรัมต่อลิตรถึงความเข้มข้นค่าสูง 97.2 มิลลิกรัมต่อลิตร (ประมาณ 32.2% สำหรับการทำจัด) โดยใช้ปริมาณสารเรชินประจุบวกเท่ากับ 10 กรัม

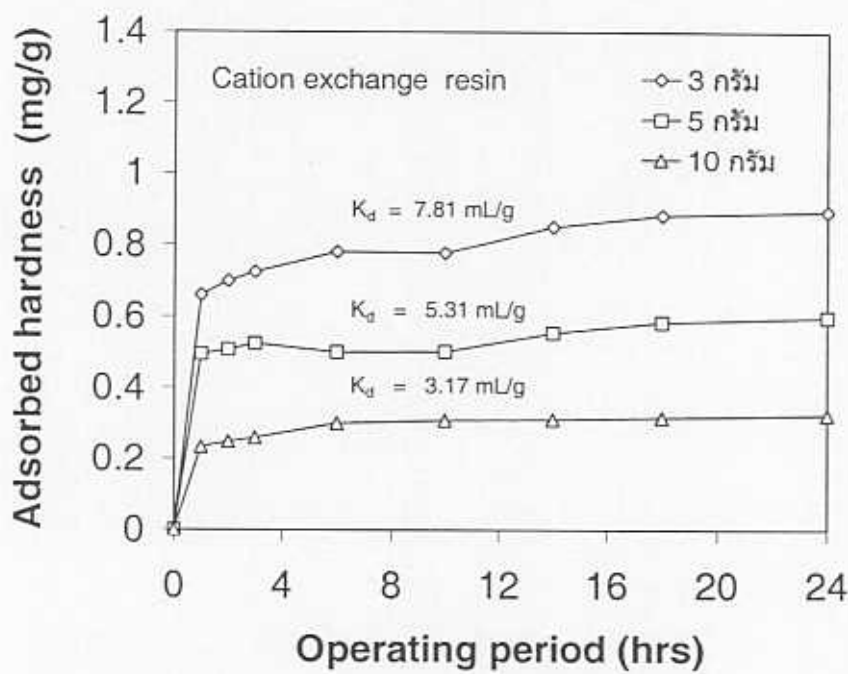


ภาพที่ 4.19 อัตราส่วนของสัมประสิทธิ์การกระจายระหว่างแคลเซียมและแมกนีเซียม



ภาพที่ 4.20 ความเข้มข้นของความกราะด้วยสารปริมาณของสารเรชั่นประจุบวก

ภาพที่ 4.21 แสดงความสามารถในการกำจัดความกราะด้วยสารเรชั่นประจุบวก จากกราฟพบว่าการจับตัวของสารแคลเซียมกับแมgnีเซียมในองค์ประกอบของความกราะดังของน้ำมี



ภาพที่ 4.21 ความสามารถในการกำจัดความกราะด้วยสารเรชั่นประจุบวก

ค่าสอดคล้องกับปริมาณของสารเรชินประจุบวกที่มีค่าเพิ่มขึ้น ค่าความสามารถในการกำจัดความกระด้างมีค่าเท่ากัน 0.837 มิลลิกรัมต่อกรัม 0.548 มิลลิกรัมต่อกรัมและ 0.313 มิลลิกรัมต่อกรัม สำหรับปริมาณสารเรชินประจุบวกเท่ากัน 3 กรัม 5 กรัมและ 10 กรัม ตามลำดับ นอกจากนี้ยังพบว่า ค่าความสามารถในการกำจัดความกระด้างของน้ำซั่งมีแนวโน้มในทิศทางเดียวกันกับค่า

สัมประสิทธิ์การกระจายของความกระด้าง โดยที่ค่าสัมประสิทธิ์การกระจายของความกระด้างมีค่าเท่ากัน 7.81 มิลลิลิตรต่อกรัม 5.31 มิลลิลิตรต่อกรัมและ 3.17 มิลลิลิตรต่อกรัม สำหรับปริมาณสารเรชินประจุบวกเท่ากัน 3 กรัม 5 กรัมและ 10 กรัม ตามลำดับ จะสังเกตว่าค่าความสามารถในการกำจัดความกระด้างและค่าสัมประสิทธิ์การกระจายของความกระด้างมีค่าอยู่ระหว่างค่าที่ได้จากแคลเซียมและแมกนีเซียมตามปริมาณของสารเรชินประจุบวกที่ใช้ ตารางที่ 4.3 แสดงประสิทธิภาพการกำจัดโดยสารเรชินประจุบวก จากตารางเปอร์เซ็นต์การกำจัดของสารมีค่าเพิ่มขึ้น

ตารางที่ 4.3 ประสิทธิภาพการกำจัดโดยสารเรชินประจุบวก

ชนิด	% กำจัด	q (mg/g)	K _d (mL/g)
แคลเซียม			
3 กรัม	35.73	0.718	12.4
5 กรัม	40.67	0.489	9.17
10 กรัม	43.15	0.261	5.08
แมกนีเซียม			
3 กรัม	10.65	0.131	2.69
5 กรัม	10.46	0.081	1.68
10 กรัม	13.66	0.044	0.93
ความกระด้าง			
3 กรัม	25.08	0.837	7.81
5 กรัม	27.70	0.548	5.31
10 กรัม	31.22	0.313	3.17

ตามปริมาณของสารเรชินประจุบวกที่ใช้ ส่วนความสามารถในการกำจัดสารและค่าสัมประสิทธิ์การกระจายนี้ค่าน้อยลงตามปริมาณของสารเรชินประจุบวก เปอร์เซนต์การกำจัดแคลเซียมมีค่าสูงสุดเมื่อเทียบกับเปอร์เซนต์การกำจัดของความกระด้างของน้ำและแมกนีเซียม โดยที่แมกนีเซียมให้ค่าเปอร์เซนต์การกำจัดค่อนข้างต่ำ การคำนวณเปอร์เซนต์การกำจัดนั้นมีสัดส่วนโดยตรง

กับค่าสัมประสิทธิ์การกระจายของสาร

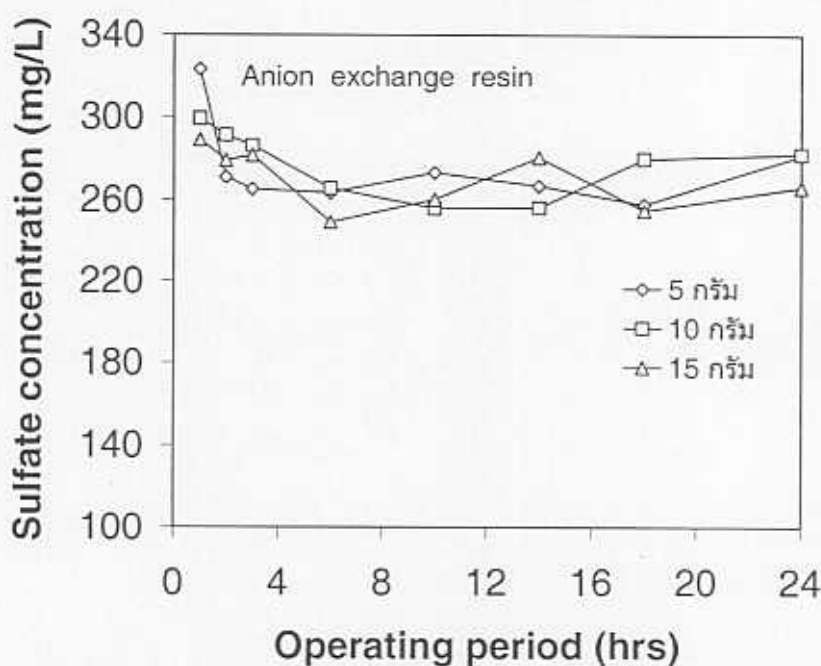
ตามลำดับของสารได้แก่ แคลเซียม ความกระด้างของน้ำ และแมgnีเซียม ซึ่งมีแนวโน้มเหมือนกันกับค่าปอร์เซ็นต์การกำจัดสาร

โดยค่าสัมประสิทธิ์การกระจายมีค่าจากมากไปน้อย

ตามลำดับของสารได้แก่ แคลเซียม ความกระด้างของน้ำ และแมgnีเซียม ซึ่งมีแนวโน้มเหมือนกันกับค่าปอร์เซ็นต์การกำจัดสาร ส่วนค่าสัมประสิทธิ์การกระจายมีสัดส่วนผกผันกับปริมาณสารเรซิ่นประจุบวก โดยที่ค่าสัมประสิทธิ์การกระจายมีค่าน้อยลงตามการเพิ่มขึ้นของปริมาณสารเรซิ่นประจุบวกจาก 3 กรัม 5 กรัมและ 10 กรัม ตามลำดับ

4.2.4 การกำจัดซัลเฟตและไนเตรตโดยใช้สารเรซิ่นประจุลบ

เรซิ่นประจุลบสามารถใช้กำจัดซัลเฟตและไนเตรตที่เป็นสารที่มีประจุลบในด้วย การกำจัดประจุลบเกิดขึ้นเนื่องจากการแลกเปลี่ยนระหว่างประจุลบ (คลอไรค์) ในสารเรซิ่นประจุลบกับสารที่มีประจุลบได้แก่ ซัลเฟตและไนเตรต เป็นดัง ภาพที่ 4.22 แสดงความเข้มข้นของซัลเฟตตามปริมาณของสารเรซิ่นประจุลบ จากกราฟพบว่าความเข้มข้นของซัลเฟตมีค่าลดลงตามปริมาณของ



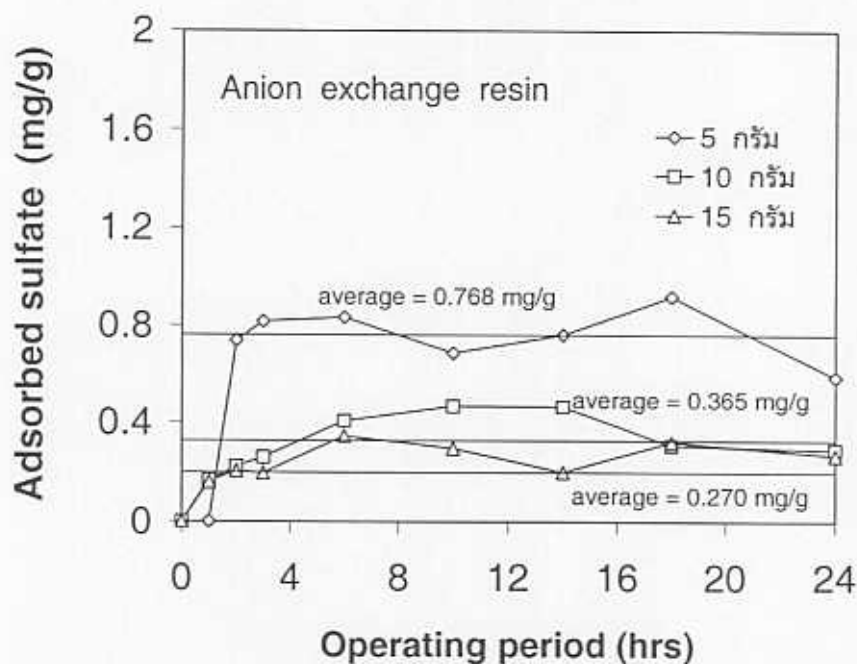
ภาพที่ 4.22 ความเข้มข้นของซัลเฟตตามปริมาณของสารเรซิ่นประจุลบ

สารเรซิ่นประจุลบ โดยเฉพาะปริมาณหนักที่ 10 กรัม อย่างไรก็ตามค่าที่วัดได้มีค่าไม่คงที่ตามปริมาณของสารเรซิ่นประจุลบที่มีค่าเพิ่มขึ้น ความเข้มข้นของซัลเฟตหลังผ่านสารเรซิ่นประจุลบมีค่าค่อนข้างสูง โดยค่าที่วัดได้สูงกว่ามาตรฐานคุณภาพน้ำดื่มน้ำในภาคตะวันออกเฉียงเหนือที่ปีกสนธิที่กำหนดไว้ประมาณ 250 มิลลิกรัมต่อลิตรตามปริมาณสารเรซิ่นประจุลบที่ใช้ในการทดสอบแบบใหม่ค่อนข้าง อย่างไรก็ตามสารเรซิ่นประจุลบที่ควรใช้ทดสอบความมีปริมาณน้ำหนักที่มากกว่าที่ใช้

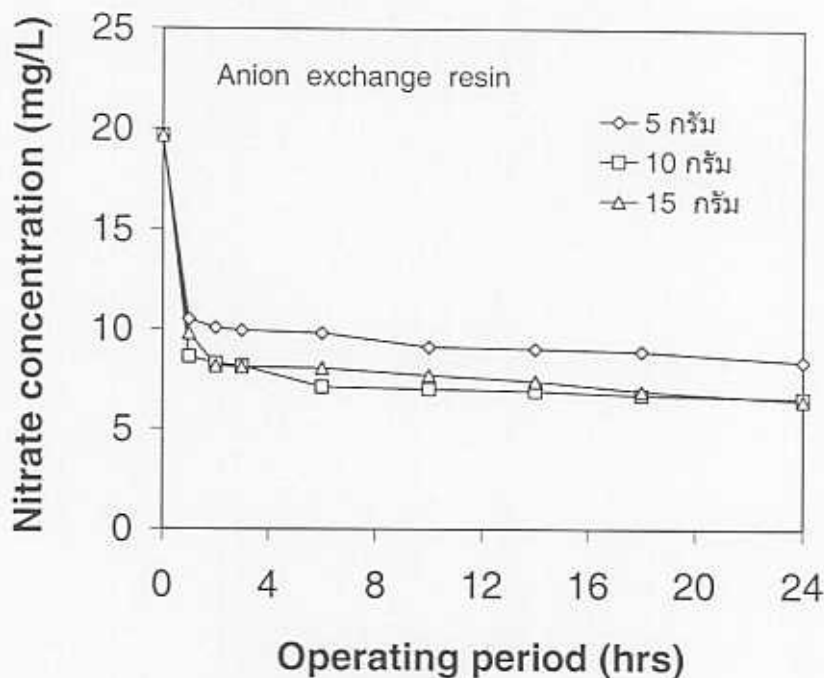
ทดสอบในการทดลองนี้เพื่อศึกษาถึงประสิทธิภาพของสารเรชั่นประจุลบเพื่อใช้ในการกำจัดซัลเฟตที่มีค่าสูงสำหรับน้ำดื้อข่านนี้ อย่างไรก็ตามความเข้มข้นของซัลเฟตที่มีค่าลดลงค่อนข้างน้อยอาจเนื่องมาผลกระทบของความเข้มข้นของสารชนิดอื่นที่มีอยู่ในองค์ประกอบของน้ำดื้อ ในเดือนเป็นต้น

ภาพที่ 4.23 แสดงความสามารถในการกำจัดซัลเฟตโดยสารเรชั่นประจุลบ จากกราฟพบว่าความสามารถในการกำจัดซัลเฟตมีค่าขั้นต่ำอย่างล้าบรวมการเพิ่มน้ำของสารเรชั่นประจุลบ ค่าที่คำนวณได้มีค่าไม่คงที่เนื่องจากผลของการเข้มข้นที่มีค่าไม่คงที่ตามระยะเวลาของการทดสอบความสามารถในการกำจัดซัลเฟตเนื่องจากการแลกเปลี่ยนประจุโดยใช้สารเรชั่นประจุลบมีค่าเท่ากับ 0.768 มิลลิกรัมต่อกิโลกรัม 0.365 มิลลิกรัมต่อกิโลกรัม และ 0.270 มิลลิกรัมต่อกิโลกรัม สำหรับปริมาณสารเรชั่นประจุลบเท่ากับ 5 กรัม 10 กรัม และ 15 กรัมตามลำดับ ส่วนประสิทธิภาพการกำจัดซัลเฟตเท่ากับ 17.1% 16.1% และ 17.9% สำหรับปริมาณสารเรชั่นประจุลบเท่ากับ 5 กรัม 10 กรัม และ 15 กรัมตามลำดับ

ภาพที่ 4.24 แสดงความเข้มข้นของไนเตรตตามปริมาณของสารเรชั่นประจุลบ จากกราฟพบว่าความเข้มข้นของไนเตรตมีค่าน้อยลงตามปริมาณสารเรชั่นประจุลบ อย่างไรก็ตามความ



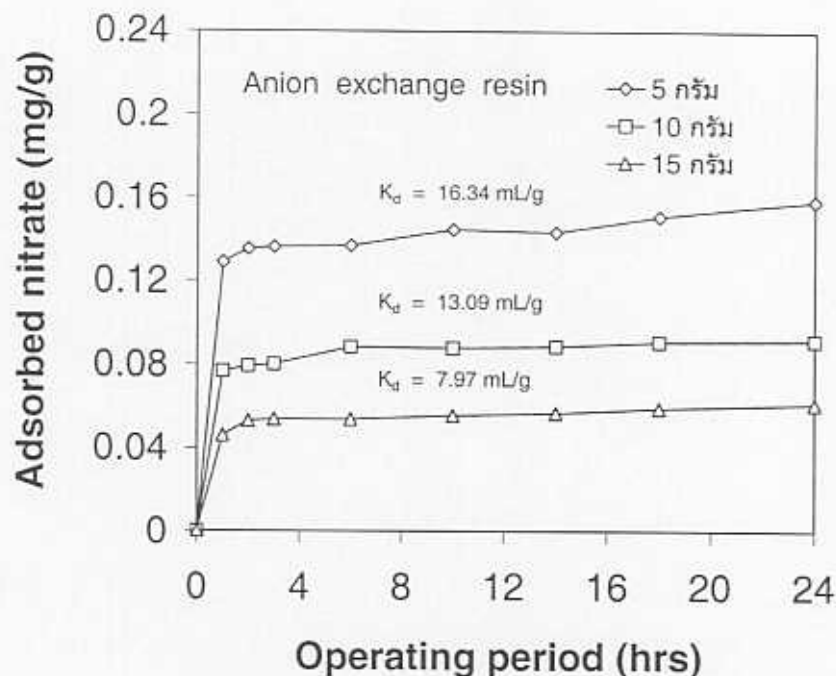
ภาพที่ 4.23 ความสามารถในการกำจัดซัลเฟตโดยสารเรชั่นประจุลบ



ภาพที่ 4.24 ความเข้มข้นของไนเตรตตามปริมาณของสารเรชั่นประจุลบ

เข้มข้นของไนเตรตที่ปริมาณสารเรชั่นประจุลบเท่ากับ 10 กรัมและ 15 กรัมมีค่าไม่แตกต่างกันนัก ส่วนประสิทธิภาพการกำจัดไนเตรตเท่ากับ 54.0% 65.1% และ 62.8% (โดยความเข้มข้นเริ่มต้นเท่ากับ 19.64 มิลลิกรัมต่อลิตร) สำหรับปริมาณสารเรชั่นประจุลบเท่ากับ 5 กรัม 10 กรัมและ 15 กรัม ความล้าดับ ความเข้มข้นของไนเตรต โดยเฉลี่ยสำหรับปริมาณสารเรชั่นประจุลบเท่ากับ 5 กรัม 10 กรัมและ 15 กรัม เท่ากับ 9.04 มิลลิกรัมต่อลิตร 6.86 มิลลิกรัมต่อลิตรและ 7.30 มิลลิกรัมต่อลิตร ความล้าดับ ซึ่งมีค่าเกินมาตรฐานคุณภาพน้ำคื่นในภาคตะวันออกเฉียงเหนือที่ปิดชนิดที่กำหนดไว้เท่ากับ 4 มิลลิกรัมต่อลิตร

ภาพที่ 4.25 แสดงความสามารถในการกำจัดไนเตรตโดยสารเรชั่นประจุลบ ความสามารถในการกำจัดไนเตรตโดยสารเรชั่นประจุลบมีค่าน้อยลงตามปริมาณการเพิ่มขึ้นของสารเรชั่นประจุลบ ความสามารถในการกำจัดไนเตรตโดยสารเรชั่นประจุลบมีค่าเท่ากับ 0.147 มิลลิกรัมต่อลิตร 0.09 มิลลิกรัมต่อลิตร และ 0.058 มิลลิกรัมต่อลิตร สำหรับปริมาณสารเรชั่นประจุลบเท่ากับ 5 กรัม 10 กรัมและ 15 กรัม ความล้าดับ ค่าความสามารถในการกำจัดไนเตรตมีแนวโน้มเพิ่มขึ้นไปพร้อมกับค่าสัมประสิทธิ์การกระจายของไนเตรต โดยที่ค่าสัมประสิทธิ์การกระจายของไนเตรตมีค่าน้อยลงตามปริมาณที่เพิ่มขึ้นของสารเรชั่นประจุลบ ค่าสัมประสิทธิ์การกระจายของไนเตรตมีค่าเท่ากับ 16.34 มิลลิลิตรต่อกิรัม 13.09 มิลลิลิตรต่อกิรัมและ 7.97 มิลลิลิตรต่อกิรัมสำหรับปริมาณสารเรชั่นประจุลบเท่ากับ 5 กรัม 10 กรัมและ 15 กรัม ความล้าดับ



ภาพที่ 4.25 ความสามารถในการกำจัดไนโตรตไดบาราเรชั่นประจุลบ

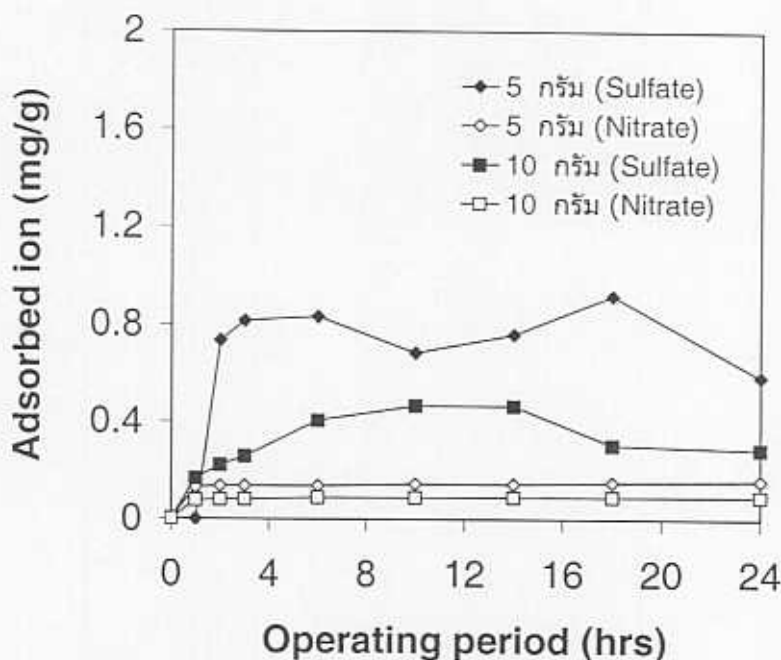
ภาพที่ 4.26 แสดงความสามารถในการกำจัดสารเรชั่นประจุลบ จากราฟพบว่า ความสามารถในการกำจัดซัลเฟตมีค่ามากกว่าความสามารถในการกำจัดไนโตรต อาจเนื่องมาจากการของซัลเฟตที่มีประจุสูงกว่าความสามารถจับด้วยกับสารเรชั่นประจุลบได้ดีกว่าไนโตรตที่มีประจุเพียงหนึ่งบวกตามลำดับความชอบในการจับด้วยกับสารเรชั่นประจุลบ (มั่นสิน ตั้มชาลเวศน์ 2538; ไฟศาล วีรกิจ 2545; Clifford, D.A., 1990) อย่างไรก็ตามค่าสัมประสิทธิ์การกระจายของซัลเฟต (ข้อมูลไม่ได้ถูกแสดง) มีค่าน้อยกว่าค่าสัมประสิทธิ์การกระจายของไนโตรตเนื่องจากผลของการเข้มข้นที่เริ่มนั่นที่ไม่เท่ากัน โดยความเข้มข้นเริ่มนั่นและสุดท้ายของซัลเฟตที่วัดได้หลังเวลา ๑ ๙ นิ่งสูงกว่าความเข้มข้นของไนโตรต ส่งผลให้ค่าสัมประสิทธิ์การกระจายของซัลเฟตมีค่าน้อยกว่าค่าสัมประสิทธิ์การกระจายของไนโตรต โดยสมการแสดงการคำนวณค่าสัมประสิทธิ์การกระจายแสดงเป็นสมการได้ดังนี้

$$K_{d,ion} \left(\frac{mL}{g} \right) = \frac{q_{ion} (mg / g)}{C_{ion,e} (mg / L)} \times 1000$$

โดยที่ $K_{d,ion}$ เท่ากับสัมประสิทธิ์การกระจายของไนโตรต มีหน่วยเป็นมิลลิลิตรต่อกิโลกรัม (mL/g)

q_{ion} เท่ากับความสามารถในการกำจัดไนโตรต มีหน่วยเป็นมิลลิกรัมต่อกิโลกรัม (mg/g)

$C_{ion,e}$ เท่ากับความเข้มข้นของไนโตรต มีหน่วยเป็นมิลลิกรัมต่อลิตร (mg/L)



ภาพที่ 4.26 ความสามารถในการกำจัดไอออนโดยสารเรซิ่นประจุลบ

4.3 ผลและการวิเคราะห์การทดสอบแบบต่อเนื่อง

การทดสอบแบบต่อเนื่องเป็นการทดสอบเพื่อหาประสิทธิภาพการกำจัดของไนเตรตที่พบมากในน้ำได้ดีและมีผลต่อโดยตรงต่อสุขภาพมนุษย์ ส่วนการทดสอบนี้จะใช้สารเรซิ่นประจุลบที่มีน้ำหนักประมาณ 5 กรัม โดยน้ำดื่ウォ่าย่างจะถูกปั๊มเข้าสู่ทางเข้าคอลัมน์ค้านบน และออกจากคอลัมน์ครองค้านล่าง น้ำที่ผ่านการบำบัดแล้วจะถูกวัดปริมาตรและเก็บตัวอย่างไว้เพื่อนำมาวิเคราะห์หาปริมาณไนเตรตที่หลงเหลือ

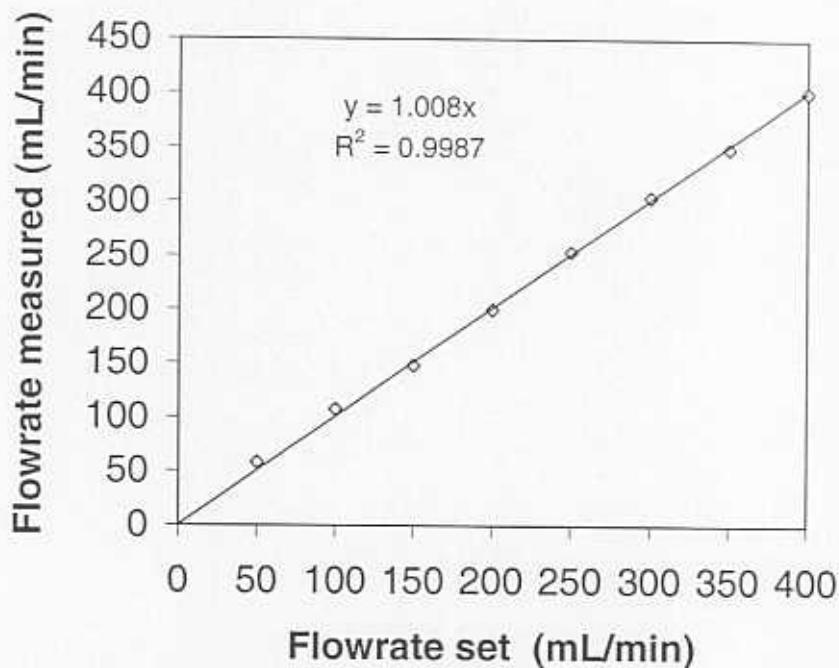
อัตราการไหลของน้ำตัวอย่างก็มีความสำคัญต่อการกำจัดสารไนเตรตในน้ำ โดยอัตราการไหลของน้ำถูกควบคุมโดยปั๊ม peristaltic pump ภาพที่ 4.27 แสดงการปรับอัตราการไหลของปั๊ม (peristaltic pump) ในการทดสอบการกำจัดไนเตรตโดยใช้เรซิ่นประจุลบ จากกราฟอัตราการไหลที่วัดได้ (Flowrate measured) มีความสัมพันธ์ใกล้เคียงกับอัตราการไหลที่ตั้งไว้ในเครื่องปั๊ม (Flowrate set) ถ้าความสัมพันธ์เป็นลักษณะเส้นตรงเชิงเส้นที่มีค่า r^2 เท่ากับ 0.9987 การคำนวณอัตราการไหลที่วัดได้สามารถแสดงเป็นสมการดังนี้

$$\text{Real flowrate (average)} = \frac{Q_{\text{input}} + Q_{\text{output}}}{2}$$

โดยที่

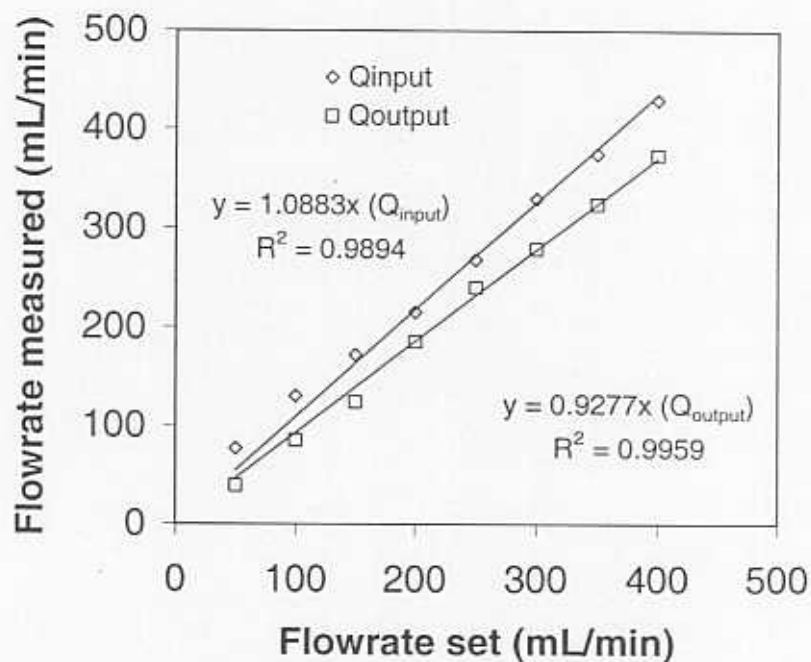
Q_{input} เท่ากับอัตราการไหลที่เข้าระบบ (mL/min)

Q_{output} เท่ากับอัตราการไหลที่ออกจากระบบ (mL/min)



ภาพที่ 4.27 การปรับอัตราการไหลของปั๊ม

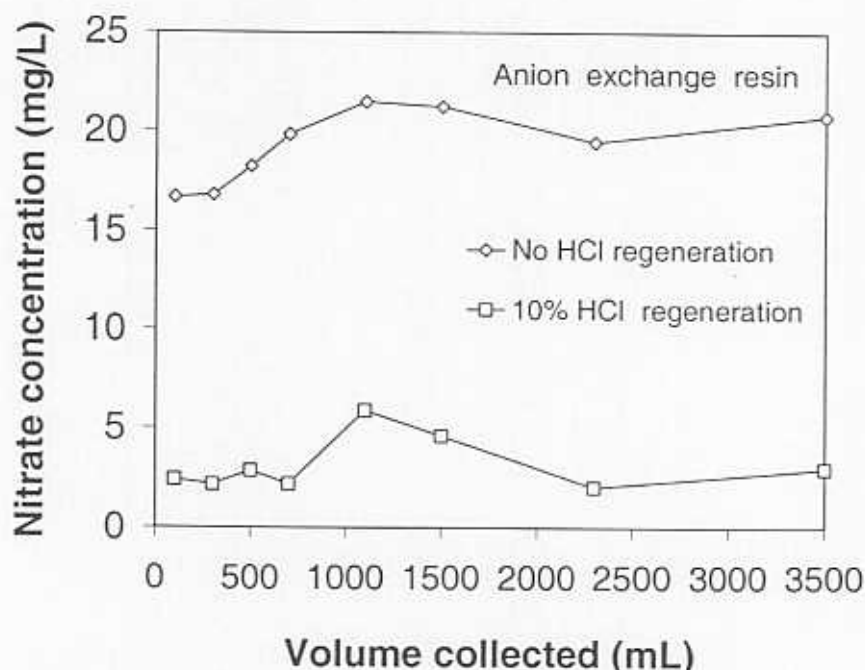
ภาพที่ 4.28 แสดงอัตราการไหลจริงที่เข้าสู่ระบบและออกจากระบบ จากราฟพนวกว่าอัตราการไหลเข้าสู่ระบบมีค่ามากกว่าอัตราการไหลที่ออกจากระบบเนื่องจากผลของแรงดันที่เกิดจากแรงตึงดึงของสารในระบบ



ภาพที่ 4.28 อัตราการไหลจริงที่เข้าสู่ระบบและออกจากระบบ

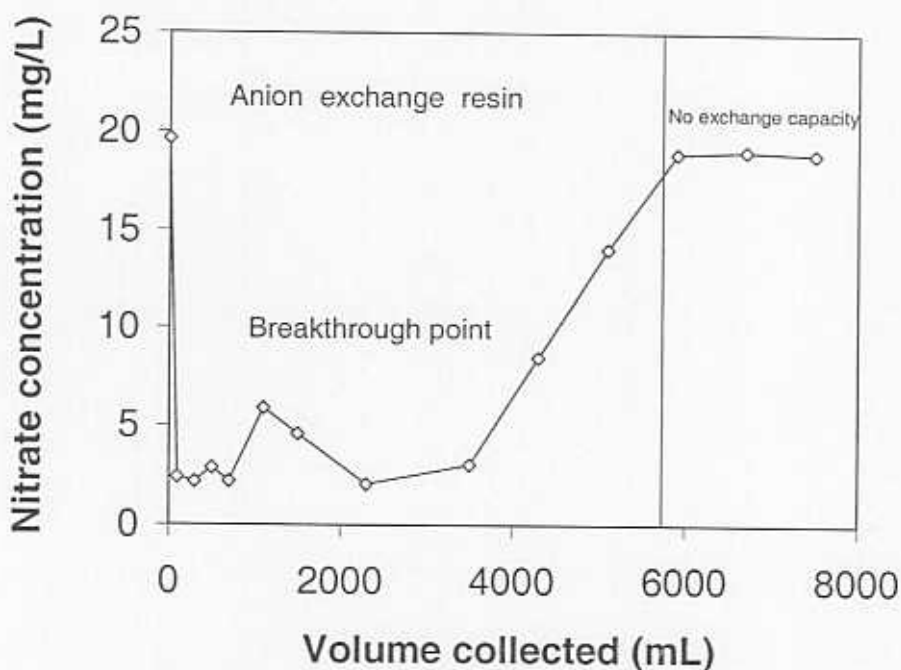
ชั้นประจุลบในกอลัมน์ส่งผลให้ค่าอัตราการไหลออกจากระบบมีค่าน้อยลง อย่างไรก็ตามค่าเฉลี่ยที่คำนวณได้จากข้อมูลห้องสองนี้ค่าใกล้เคียงกับค่าอัตราการไหลที่ตั้งไว้ (Flowrate set) สำหรับเครื่องปั๊มแบบ peristaltic pump ตามลักษณะกราฟที่กำหนดไว้ในเบื้องต้น

ภาพที่ 4.29 แสดงประสิทธิภาพการล้างเรชินก่อนการทดสอบสารเรชินประจุลบ สารเรชินที่ใช้ทดสอบในกอลัมน์มีปริมาณเท่ากับ 5 กรัม และอัตราการไหลเข้าสู่ระบบเท่ากับ 30 มิลลิลิตรต่อนาที จากกราฟพบว่าสารเรชินประจุลบที่ได้จากโรงงานอุตสาหกรรมที่ซึ่งไม่ผ่านกระบวนการล้างสารเรชินด้วยความเข้มข้น 10% ของกรดไฮโคลอริก ไม่มีผลต่อการกำจัดในเพรคหรือไม่เกิดการแลกเปลี่ยนประจุกับสารในเตรคตามปริมาตรที่วัดได้หลังจากผ่านกอลัมน์ ทำให้ความเข้มข้นที่วัดได้มีค่าเท่ากับความเข้มข้นของในเตรคเริ่มต้นของน้ำดื่มน้ำอย่าง ความเข้มข้นของในเตรคโดยเฉลี่ยนี่ค่าเท่ากับ 19.32 มิลลิกรัมต่อลิตร อย่างไรก็ตามการล้างสารเรชินด้วยกรดไฮโคลอริกความเข้มข้น 10 % โดยปริมาตร ส่วนปริมาตรที่ใช้ในการล้างสารเรชินเท่ากับ 30 มิลลิลิตร การทดสอบพบว่าความเข้มข้นของในเตรคเมื่อกล่องอย่างมาก หลังจากที่มีการล้างสารเรชินก่อนการทดสอบกันน้ำดื่มน้ำอย่าง โดยที่ความเข้มข้นของในเตรคเมื่อก่อนเข้าห้องค่าตามปริมาตรที่ผ่านออกจากการกอลัมน์โดยปริมาตรรวมเท่ากับ 3,500 มิลลิลิตร (3.5 ลิตร) ส่วนความเข้มข้นที่วัดได้มีค่าโดยเฉลี่ยประมาณ 3.13 มิลลิกรัมต่อลิตรซึ่งอยู่ในเกณฑ์มาตรฐานคุณภาพหนึ่งในกារอนับบรรจุที่ปั๊คสนิท



ภาพที่ 4.29 ประสิทธิภาพการล้างเรชินก่อนการทดสอบสารเรชินประจุลบ

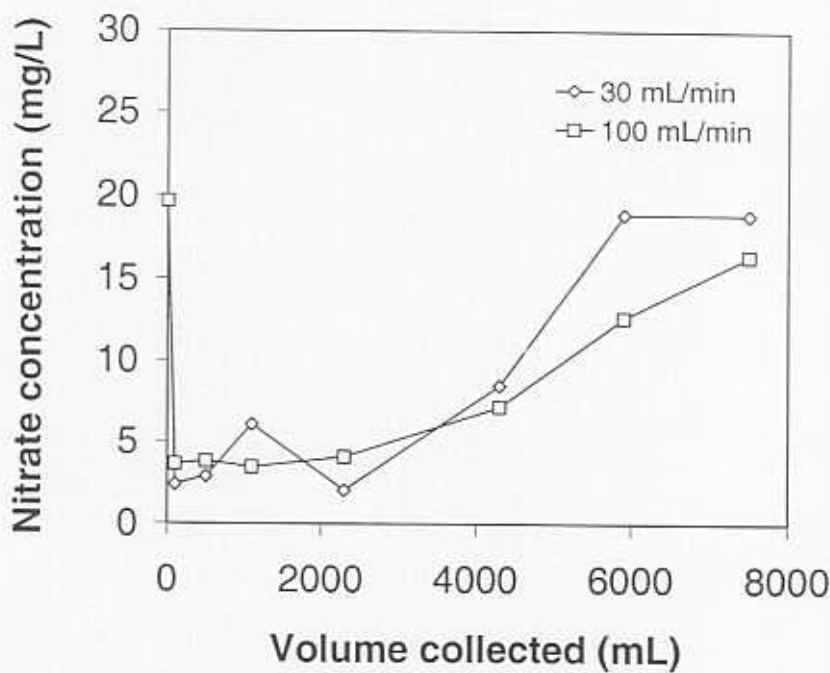
จากการฟื้นต้นความสามารถในการกำจัดสารในเครตบั้งมีผลการทดสอบที่คิดตามปริมาณรวมเท่ากับ 3,500 มิลลิลิตร (3.5 ลิตร) อย่างไรก็ตามเพื่อศึกษาถึงปริมาณครรุวนสูงสุดที่ใช้ในการกำจัดในเครตโดยผ่าน kolam ที่มีเรชินประจุลบโดยน้ำหนักประมาณ 5 กรัม ดังนั้นน้ำด้วยอย่างที่ใช้จึงถูกปั๊มน้ำเข้าสู่ระบบอิกกริงที่อัตราการไหลของน้ำปั๊มน้ำเท่ากับ 30 มิลลิลิตรต่อนาที ภาพที่ 4.30 แสดง



ภาพที่ 4.30 ประสิทธิภาพการกำจัดในเครตโดยสารเรชินประจุลบใน kolam

ประสิทธิภาพการกำจัดในเครตโดยสารเรชินประจุลบใน kolam จากภาพพบว่าปริมาณน้ำที่ไหลเข้าสู่ระบบมากขึ้นส่งผลต่อความเข้มข้นของในเครตที่เพิ่มสูงขึ้น เมื่อจากประสิทธิภาพการจับด้วยการแลกเปลี่ยนไอออนที่มีค่าสารเรชินประจุลบมีค่าน้อยลงตามปริมาณครรุวนของน้ำที่ผ่านเข้าสู่ระบบ จุดที่ทำให้ปริมาณครรุวนสูงที่สุดท้ายก่อนที่ความเข้มข้นของในเครตจะมีค่าสูงขึ้นอยู่ที่ 3,500 มิลลิลิตร (3.5 ลิตร) ส่วนความเข้มข้นของในเครตที่วัดได้เท่ากับความเข้มข้นเริ่มต้นของตัวอย่างน้ำด้วยค่าที่ปริมาณครรุวนเท่ากับ 5,900 มิลลิลิตร (5.9 ลิตร) หลังปริมาณครรุวนเท่ากับ 5,900 มิลลิลิตร (5.9 ลิตร) ความเข้มข้นของในเครตมีค่าไม่เปลี่ยนแปลงและถึงไม่เกิดการแลกเปลี่ยนประจุระหว่างในเครตในน้ำด้วยอย่างกับคลอร์ได้สารเรชินประจุลบอิกต่อไป และสารเรชินประจุลบนี้จะเป็นต้องนำมารีเจนเรชิน (regeneration) เพื่อนำสารเรชินกลับมาใช้ใหม่อีกครั้ง

การเปลี่ยนอัตราการไหลเข้าสู่ระบบมีผลทำให้ประสิทธิภาพการกำจัดไอออนเนื่องจากเวลาที่ใช้ในการแลกเปลี่ยนแตกต่างกัน ภาพที่ 4.31 แสดงอัตราการไหลต่อประสิทธิภาพการกำจัดในเครตโดยสารเรชินประจุลบ จากการพบว่าการเพิ่มขึ้นของอัตราการไหลจาก 30 มิลลิลิตรต่อนาทีที่



ภาพที่ 4.31 อัตราการไหลต่อประสิทธิภาพการกำจัดไนเตรตโดยสารเรซิ่นประจุลบ

เป็น 100 มิลลิลิตรต่อนาทีส่งผลต่อความเข้มข้นของไนเตรต สำหรับอัตราการไหลที่ 30 มิลลิลิตรต่อนาทีค่าความเข้มข้นของไนเตรตมีค่าน้อยกว่าความเข้มข้นของไนเตรตที่อัตราการไหล 100 มิลลิลิตรต่อนาที อาจเนื่องมาจากการที่ใช้ในการแลกเปลี่ยนประจุมีมากกว่าทำให้ไอออนมีความสามารถในการจับตัวได้ดีกว่า และส่งผลความสามารถในการแลกเปลี่ยนประจุหมดได้เร็วขึ้น จากกราฟจะสังเกตว่าความเข้มข้นของไนเตรตที่วัดได้หลังปริมาตรรวมเท่ากับ 5,900 มิลลิลิตรมีค่าเท่ากับความเข้มข้นเริ่มต้นของไนเตรตในน้ำด้วยอย่างสำหรับอัตราการไหลเท่ากับ 30 มิลลิลิตรต่อนาที ด้านอัตราการไหลเท่ากับ 100 มิลลิลิตรต่อนาทีค่าความเข้มข้นของไนเตรตบังไม่เข้าสู่สภาวะคงที่หลังปริมาตรรวมเท่ากับ 7,500 มิลลิลิตรต่อนาที ดังนั้นปริมาตรน้ำด้วยย่างอาจด้องใช้มากกว่าเพื่อให้ได้ความเข้มข้นที่สภาวะคงที่ เนื่องจากเวลาที่ใช้ในการแลกเปลี่ยนไนโตรอนน้อยกว่า ส่งผลต่อการลดลงของความสามารถในการแลกเปลี่ยนไนโตรอน

4.4 ผลและการวิเคราะห์การทดลองของน้ำดื่มน้ำมันชุมชน

4.4.1 ผลการวิเคราะห์ของน้ำดื่มน้ำมันชุมชน

น้ำที่คืนถูกนำมาใช้เป็นแหล่งน้ำดื่มน้ำสำหรับผลิตน้ำดื่มให้กับชุมชนลับแล ก่อนจะผ่านเข้าสู่กระบวนการผลิตได้แก่จังสารเคมีกันส จังสารกันอน จังสารเรซิ่นประจุบวก และจังสารเร

ชั่นประจุลบซึ่งคิดมิใช้สารเรชั่นประจุลบจำนวน 2 ถัง โดยเปลี่ยนเป็นสารเรชั่นประจุลบ 1 ถัง และสารเรชั่นประจุลบ 1 ถัง ก่อนผ่านกระบวนการกรองแบบไมโครฟิลเตอร์ชั้นและการฆ่าเชื้อด้วยแสงญี่ว้อลต์ร้าไวโอลีต สำหรับคุณภาพน้ำดินของชุมชนลับแลมีปริมาณของฟิล์มโคลีฟอร์มน้อย โดยค่าที่วัดได้น้อยกว่า 2 MPN/100 mL ส่งผลต่อกับกระบวนการกรองดินน้ำดื่มและความปลอดภัยของผู้บริโภคในการดื่มน้ำที่ปราศจากเชื้อแบคทีเรีย ตารางที่ 4.4 แสดงคุณภาพน้ำที่ผ่านกระบวนการผลิตสารแมงกานิส สารคาร์บอน สารเรชั่นประจุลบและลบ ตัวอย่างน้ำที่เก็บเป็นตัวอย่างในช่วงวันที่ ตารางที่ 4.4 คุณภาพน้ำที่ผ่านกระบวนการผลิตสารแมงกานิส สารคาร์บอน สารเรชั่นประจุลบและลบ

ปริมาณน้ำ ดัชนี	800 L	1,800 L	2,600 L	3,600 L	4,400 L	5,200 L	5,800 L
ความ浑浊 (NTU)	0.332	0.142	0.532	0.27	0.358	0.182	0.349
ความกระด้าง (mgCaCO ₃ /L)	27.2	25.8	24.8	26.4	10.4	36.5	17.2
แคลเซียม (mgCaCO ₃ /L)	26	19.8	20.8	26.2	8.2	34.4	12.8
แมgnีเซียม (mgCaCO ₃ /L)	1.2	6	4	0.2	2.2	2.1	4.4
คลอไรด์(mg/L)	60.5	63	64	66.5	57.5	46	50.5
ซัลไฟด์ (mg/L)	262.6	277.3	256.4	242.9	294.5	321.8	229.7
ไนเตรต (mg/L)	13.34	14.45	14.03	14.33	13.35	12.38	12.3

ตัวอย่างน้ำระหว่างช่วงวันที่ 9 ถึง 18 กันยายน พ.ศ. 2546

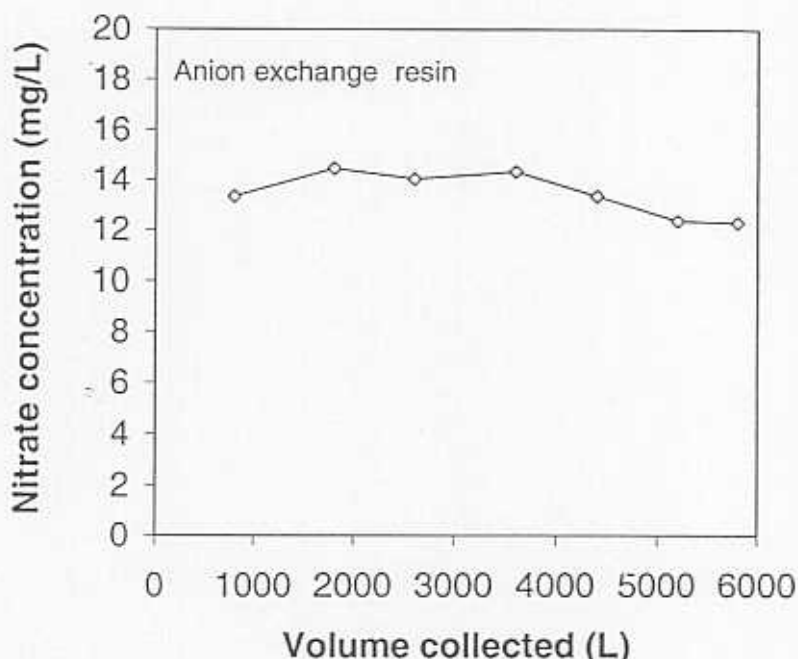
9 ถึง 18 กันยายน พ.ศ. 2546 โดยน้ำตัวอย่างไม่ผ่านกระบวนการกรองแบบไมโครฟิลเตอร์ชั้นและแสงญี่ว้อลต์ร้าไวโอลีต จากตารางแสดงความสัมพันธ์ระหว่างปริมาณน้ำที่ผ่านการผลิตในกระบวนการต่าง ๆ ยกเว้นการกรองแบบไมโครฟิลเตอร์ชั้นและแสงญี่ว้อลต์ร้าไวโอลีต และดัชนีที่ใช้วัดคุณภาพน้ำ ผลการทดสอบพบว่าความ浑浊ที่วัดได้มีค่าโดยเฉลี่ยประมาณ 0.31 NTU ซึ่งอยู่ในเกณฑ์มาตรฐานผลิตภัณฑ์อุตสาหกรรมน้ำบริโภคที่กำหนดค่าสูงสุดไว้เท่ากับ 5 NTU ส่วนค่าพีเอชและค่าการนำไฟฟ้าที่วัดจากน้ำตัวอย่างที่ผ่านกระบวนการผลิตและบรรจุในภาชนะมีค่าไม่แตกต่างกันมากจากน้ำตัวอย่างน้ำดิน โดยที่ค่าพีเอชและค่าการนำไฟฟ้ามีค่าประมาณ 6.12 และ 470.5 $\mu\text{s}/\text{cm}$ ตามลำดับ ค่าการนำไฟฟ้าที่ได้อาจไม่แตกต่างกันนักอาจเนื่องมาจากผลการแลกเปลี่ยนประจุของสารเรชั่นประจุลบและลบทำให้ค่าการนำไฟฟ้าที่วัดได้ไม่เปลี่ยนแปลงนัก

เรื่นประจุบุกสามารถใช้กำจัดความกระด้าง แคลเซียมและแมกนีเซียมในน้ำ น้ำที่ผ่านกระบวนการผลิตถูกตรวจสอบเพื่อหาความกระด้างของน้ำ แคลเซียมและแมกนีเซียม ค่าความกระด้างที่วัดได้มีค่าโดยเฉลี่ยเท่ากับ $24 \text{ mg/L as CaCO}_3$ (ความกระด้างเริ่มต้นในน้ำดื่มน้ำแข็งมีค่าเท่ากับ $143.3 \text{ mg/L as CaCO}_3$) ซึ่งอยู่ในช่วงคุณภาพน้ำอ่อน โดยมีความกระด้างอยู่ในช่วง $0 - 75 \text{ mg/L as CaCO}_3$ ซึ่งแสดงถึงประสิทธิภาพการกำจัดความกระด้างโดยสารเรื่นประจุบุกเท่ากับ 83.3% ส่วนค่าเฉลี่ยของความเข้มข้นแคลเซียมและแมกนีเซียมวัดได้เท่ากับ 21.2 และ $2.87 \text{ mg/L as CaCO}_3$ ตามลำดับ (ความเข้มข้นเริ่มต้นของแคลเซียมและแมกนีเซียมเท่ากับ 89 และ $54.3 \text{ mg/L as CaCO}_3$ ตามลำดับ) อยู่ในช่วงอนุโภนของมาตรฐานผลิตภัณฑ์อุตสาหกรรมน้ำบริโภคโดยกำหนดไว้เท่ากับ $200 \text{ mg/L as CaCO}_3$ และ $150 \text{ mg/L as CaCO}_3$ สำหรับค่ามาตรฐานของแคลเซียมและแมกนีเซียมตามลำดับ ค่าประสิทธิภาพการกำจัดแคลเซียมและแมกนีเซียมโดยเรื่นประจุบุกเท่ากับ 76.2% และ 94.7% ตามลำดับ

สารเรซินประจุลบสามารถใช้กำจัดสารประจุลบเช่น คลอไรค์ ชัลไฟต์ และไนเตรต ที่ pragya ในน้ำดื้อข่าย ค่าเฉลี่ยของความเสื่อมขั้นของคลอไรค์หลังผ่านกระบวนการผลิตเท่ากับ 58.3 มิลลิกรัมต่อลิตรมีค่ามากกว่าค่าที่วัดได้จากน้ำดื้อข่ายอาจเนื่องมาจากการปิริมาณคลอไรค์ที่เกิดจากการเติมกรดไฮโคลอโริกเพื่อใช้เก็บดื้อข่ายก่อนการทดสอบ (ค่าพิเชชชาโดยเฉลี่ยที่วัดได้ประมาณ 2.7 และค่าการนำไฟฟ้าโดยเฉลี่ยเท่ากับ 2.29 mS/cm ซึ่งไม่ได้แสดงในตาราง) อย่างไรก็ตามความเสื่อมขั้นที่วัดได้ซึ่งอยู่ในเกณฑ์มาตรฐานคุณภาพน้ำดื่มน้ำดื่มในภาคตะวันออกเฉียงเหนือที่ปีคืนนี้ที่กำหนดมาตรฐานไว้ไม่เกิน 250 mg/L ส่วนความเสื่อมขั้นเฉลี่ยที่วัดได้ของชัลไฟต์เท่ากับ 269.3 มิลลิกรัมต่อลิตร (ค่าเริ่มต้นของชัลไฟต์สำหรับดื้อข่ายน้ำชุมชนโดยประมาณเท่ากับ 323 mg/L) ก็เป็น

ประสิทธิภาพการกำจัดซัลเฟตเท่ากับ 16.6% ซึ่งค่าที่วัดได้ยังเกินมาตรฐานคุณภาพน้ำดื่มในภาคตะวันออกเฉียงเหนือที่ปีกสนนิกที่กำหนดไว้เท่ากับ 250 mg/L

ภาพที่ 4.32 แสดงความเข้มข้นของในเครื่องคิดปริมาณน้ำที่ผ่านกระบวนการผลิต จากกราฟพบว่าความเข้มข้นของในเครื่องมีค่าไม่แอกต่างกันมากนักค่าน้ำที่ผ่านกระบวนการผลิต ความเข้มข้นของในเครื่องมีค่าโดยเฉลี่ยเท่ากับ 13.45 มิลลิกรัมต่อลิตร (ความเข้มข้นเริ่มคันของในเครื่องในน้ำดื่วอย่างเท่ากับ 19.64 มิลลิกรัมต่อลิตร) โดยประสิทธิภาพการกำจัดสารในเครื่อง



ภาพที่ 4.32 ความเข้มข้นของในเครื่องคิดปริมาณน้ำที่ผ่านกระบวนการผลิต

เท่ากับ 31.5% อย่างไรก็ตามความเข้มข้นของในเครื่องที่วัดได้มีค่าในเกณฑ์มาตรฐาน (มาตรฐานคุณภาพน้ำดื่มในภาคตะวันออกเฉียงเหนือที่ปีกสนนิกที่กำหนดความเข้มข้นของในเครื่องไว้ที่ 4 mg/L) อาจเนื่องมาจากการล้างสารเรซิ่นประจุลบที่ซึ่งไม่ดีพอและช่วงเวลาที่ใช้ในการคำนีนระบบก่อนที่สารเรซิ่นประจุลบจะถูกล้าง การเตรียมความเข้มข้นของสารละลายกรดที่ใช้ในการล้างเรซิ่นประจุลบโดยทั่วไปความเข้มข้นของสารในการล้างเรซิ่นควรมีค่าประมาณ 8% - 20% ดังนั้นการทดสอบความเข้มข้นของสารที่มีประจุลบควรตรวจสอบอย่างละเอียดเพื่อความเหมาะสมในการกำจัดสารประจุลบที่อาจส่งผลต่อกุณภาพน้ำดื่ม

จากผลการทดสอบดัชนีที่ใช้วัดเพื่อตรวจสอบคุณภาพน้ำดื่มหลังผ่านกระบวนการผลิต จะพบว่าดัชนีที่ซึ่งเกินมาตรฐานคุณภาพน้ำดื่มได้แก่สารที่มีค่าประจุลบ เช่น ในเครื่องและซัลเฟต ซึ่งสามารถกำจัดได้โดยใช้สารเรซิ่นประจุลบ ดังนั้นสำหรับกระบวนการผลิตจึงควรมีการตรวจสอบ

อย่างละเอียดเกี่ยวกับการนำขั้นตอนการเรียนรู้และการถ่ายทอดเรียนรู้มาใช้และการถ่ายทอดเรียนรู้ก่อนและหลังการใช้งาน เพื่อให้เกิดความมั่นใจในการกำจัดไข่ในเครตและข้อเพดีให้อยู่ในเกณฑ์มาตรฐาน ส่วนความจำเป็นในการเพิ่มจำนวนถังกลั้มน้ำสำหรับบรรจุสารเรียนรู้จะต้องคำนึงถึงผลการตรวจสอบระบบ อีกครั้ง โดยเฉพาะการถ่ายทอดความสะอาดเรียนรู้ประจำกลุ่มก่อนนำกลั้มมาใช้อีกครั้ง

4.4.2 การประเมินค่าใช้จ่ายในการผลิตหน้าอิม

การประเมินค่าใช้จ่ายเบื้องต้นสำหรับกระบวนการผลิตน้ำดื่มโดยเน้นตัวอย่างการผลิตน้ำดื่มของชุมชนลับแลดซึ่งผ่านกระบวนการผลิตหลายขั้นตอน ปริมาณน้ำดื่มที่ผลิตได้ประมาณ 4,110 ลิตรต่อวัน แบ่งเป็นการผลิตน้ำดื่มน้ำดื่มขาวคลีกขนาด 0.95 ลิตร ประมาณวันละ 1,800 ขวด และการผลิตน้ำดื่มน้ำดื่มใหญ่ 20 ลิตร ประมาณวันละ 120 ถัง ส่วนราคาน้ำดื่มที่ใช้ในการผลิตเท่ากัน 2 บาท และ 6 บาทสำหรับการผลิตน้ำดื่มน้ำดื่มขาวคลีกและการผลิตน้ำดื่มใหญ่ ตามลำดับ ราคาก็จะมีความต่างกันตามที่กำหนดไว้ต่อไปนี้ (คิดการคำนวณหักห้ามจากการคำนวณของน้ำหน้าครัวขาวคลีกและดังใหญ่เท่ากัน 4,320 บาทต่อวัน สำหรับกระบวนการผลิตดังกล่าวเพื่อเริ่มผลิตงานถึงล้างระบบโดยเฉลี่ย 6 วันต่อครั้ง สมมุติมีการผลิตน้ำทุกวันดังนั้นปริมาณน้ำดื่มที่ผลิตได้ก่อนที่ระบบจะถูกล้างประมาณ 24,660 ลิตร โดยค่าใช้จ่ายในการล้างระบบประมาณ 200 บาทต่อเดือน ซึ่งมีค่าก่อนข้างค่า ส่วนใหญ่ถ้ามีการล้างระบบค่าใช้จ่ายที่ต้องใช้คือการเติมเกลือโซเดียมคลอไรด์เพื่อล้างสารเรซินประจุบวกและการใช้กรดไฮdroคลอริกประมาณ 10% เพื่อล้างสารเรซินประจุลบ การล้างน้ำเพื่อไลสิ่งตกค้างบนสารเมงกานีสและถ่านกัน มันต์ ค่าใช้จ่ายต่อเดือนประมาณ 500 บาท ค่าแรงงานประมาณ 7,700 บาท และค่าน้ำมันสำหรับการขนส่งประมาณ 3,000 – 5,000 บาท ส่วนการเปลี่ยนไส้กรองเชร์มิกสำหรับการกรองแบบไมโครฟิล์เตอร์ชั้นประมาณ 3 เดือนต่อหนึ่งครั้ง ส่วนการเติมสารคลอรีนเพื่อยับเชื้ออุจจาระชั้นประมาณ 3 วันต่อครั้งในช่วงฤดูฝน ส่วนหน้าแร้งประมาณ 7 – 15 วันต่อครั้ง

4.5 ข้อวิจารณ์การทดสอบ

การศึกษาระบวนการผลิตน้ำดื่มเป็นองค์เด่นสำหรับอุตสาหกรรมชุมชนเพื่อให้คุณภาพน้ำดื่มได้มาตรฐานตามที่กฎหมายกำหนดไว้สามารถให้แนวทางการออกแบบในการทาวิจัย โดยเฉพาะการแบ่งการทดสอบออกเป็นสองหัวข้อใหญ่ ๆ คือการทดสอบแบบไม่ต่อเนื่องและการทดสอบแบบต่อเนื่องซึ่งเป็นส่วนที่สำคัญของระบวนการผลิตน้ำดื่มน้ำดื่ม อย่างไรก็ตามการศึกษานี้ไม่ได้ทดสอบถึงระบวนการผลิตในทุกขั้นตอนของการผลิตน้ำดื่มน้ำดื่ม เช่นการทดสอบการกรองแบบไม่ใช้ฟลترةชั้น และการใช้แสงยูวีเพื่อฆ่าเชื้อจุลินทรีย์ เนื่องจากคุณภาพน้ำที่ผ่านระบวนการผลิตน้ำดื่มน้ำดื่มน้ำดื่มน้ำดื่ม ดังนั้นการออกแบบงานวิจัยเพื่อทราบถึงคุณลักษณะเบื้องต้นของ

กุญภาพจึงเป็นสิ่งที่จำเป็นและสำคัญเพื่อเน้นการแก้ไขปัญหาคุณภาพน้ำดื่มที่ยังไม่ได้มาตรฐาน ความทึ่กถูกหมายได้กำหนด และสอดคล้องกับตัวชี้วัดในการทดสอบ ดังนั้นการทราบถึงผลลัพธ์จะกระตุ้นภาระน้ำเบื้องต้นยังส่งผลดีต่อการทดลองแบบไม่ต่อเนื่องซึ่งเป็นการทดสอบในห้องปฏิบัติการ โดยมีการทดสอบสารทั้งสี่ชนิดเช่นสารเคมีนิส ด้านกัมมันต์ สารเรืองประจุบวก และสารเรืองประจุลบ การทดสอบสารทั้งสี่ชนิดทำให้ทราบถึงประโยชน์และประสิทธิภาพของสารเหล่านี้ในการกำจัดสิ่งเจือปนออกจากร้านน้ำหัวอย่าง นอกจากนี้การออกแบบการทดสอบแบบต่อเนื่องยังเป็นผลของจากการทดสอบแบบไม่ต่อเนื่อง โดยเน้นถึงคุณภาพน้ำที่ยังไม่ได้มาตรฐาน เช่นการกำจัดในเครื่องในน้ำ โดยใช้สารเรืองประจุลบ อย่างไรก็ตามการกำจัดในเครื่องสามารถกำจัดได้ดีหลังสารเรืองประจุได้ผ่านการล้างด้วยกรดไฮโดรคลอริกก่อนที่จะนำมาใช้ในการกระบวนการผลิต

การวิเคราะห์น้ำหลังผ่านกระบวนการผลิตน้ำเพื่อให้ทราบถึงคุณภาพน้ำดื่มและแนวทางแก้ไขปัญหาโดยเฉพาะแผนการดำเนินระบบและการล้างระบบเพื่อลดปัญหาคุณภาพน้ำที่ยังไม่ได้มาตรฐาน รวมทั้งการออกแบบปริมาณน้ำที่ต้องผ่านกระบวนการผลิตก่อนที่จะมีการล้างระบบอีกครั้งก่อนนำกลับมาใช้งานได้อีก ส่วนการใช้สารเคมีที่นำมาล้างระบบควรมีข้อระมัดระวังถึงการใช้และการล้างก่อนที่จะดำเนินการผลิตน้ำดื่มเพื่อลดปัญหาที่อาจเกิดขึ้นเนื่องจากการสะสมของสารเคมีที่ใช้ล้างระบบ

ดินเป็นแหล่งน้ำได้คืนที่ประกอบด้วยหลายขั้นตอนสำหรับการผลิตน้ำดื่ม ภาพที่ 4.1 แสดงขั้นตอนการผลิตน้ำดื่มของชุมชนลับแล ตารางที่ 4.1 แสดงอุปกรณ์ของระบบที่ใช้ในกระบวนการผลิตน้ำดื่มของชุมชนลับแล น้ำได้คืนซึ่งเป็นน้ำคืนอุกสูบขึ้นมาเพื่อพักน้ำไว้ในถังพัก (reservoir) ก่อนที่จะปั๊มผ่านเข้าสู่ระบบเครื่องกรองแมงกานีส (manganese tank) ซึ่งเป็นถังเหล็กที่มีขนาดเด่นผ่านศูนย์กลางประมาณ 40.6 เซนติเมตร (16 นิ้ว) ความสูงประมาณ 160 เซนติเมตร การใช้เครื่องกรองชนิดนี้สำหรับกำจัดสนิมเหล็กที่ปนเปื้อนมากับน้ำได้คืน โดยน้ำที่ผ่านระบบกรองแมงกานีสจะไหลผ่านเข้าสู่เครื่องกรองการอนพื่อกำจัดกลิ่น ศิ และสารอินทรีย์ที่เจือปนมากับน้ำคืน น้ำที่ผ่านระบบเครื่องกรองการอนพื่อจะผ่านเข้าสู่ระบบเครื่องกรองแบบเรซิ่นประจุบวกที่เดินใช้เครื่องกรองชนิดนี้จำนวน 2 ตัว เพื่อใช้กำจัดพิษปูหรือเนื้อที่มีความกระด้างค่อนข้างมากที่มีส่วนประกอบของก้าแคลเซียมและแมกนีเซียมที่มีประจุลบ อย่างไรก็ตามระบบของชุมชนลับแลที่ใช้อยู่ใน

ตารางที่ 4.1 อุปกรณ์ของระบบที่ใช้ในกระบวนการผลิตน้ำดื่มของชุมชนลับแล

Unit	Quantity
ถังพักน้ำ (reservoir)	3
ปั๊มน้ำ (pump)	1
Manganese tank (ϕ 0.4 m , height 1.6 m)	1
Carbon tank (ϕ 0.4 m , height 1.6 m)	1
Cation exchange resin tank (ϕ 0.4 m , height 1.6 m)	1
Anion exchange resin tank (ϕ 0.4 m , height 1.6 m)	1
ขนาดกรอง 1 μm filter	2
กรองเซรามิก 1 μm Ceramic membrane filter	1
หลอดคูลไว UV light	1
Package	2 (20-liter container and 750-ml bottle)

ปัจจุบันได้ปรับเปลี่ยนจากเครื่องกรองแบบเรซิ่นประจุบวกจำนวน 2 ด้า เหลือเพียงหนึ่งด้า โดยได้บรรจุกร่องกรองระบบเรซิ่นประจุลบจำนวนหนึ่งตัวแทนเพื่อใช้ในการกำจัดค่าไฮอนท์มีประจุลบ เช่น ในเครด ชัลเฟด ฟอสฟิด และคลอไรด์ โดยการเลกเปลี่ยนประจุลบระหว่างประจุลบในสารละลายน้ำและประจุลบในสารเรซิ่นจะทำให้สารละลายน้ำส่วนใหญ่ที่ต้องถูกกำจัดเพื่อได้ค่าอยู่ในมาตรฐานน้ำดื่มน้ำที่กฎหมายได้กำหนด น้ำที่ผ่านกระบวนการกรองเบื้องต้นจะผ่านเข้าสู่ระบบกรองหยาบน้ำด้วยไอล์ฟอนส์ ไนโตรเมต์ เพื่อกำจัดตะกอนที่อาจจะผ่านจากระบบกรองเบื้องต้น โดยจำนวนกรองที่ใช้จำนวนสองด้า เพื่อลดอัตราการไหลของน้ำที่ผ่านเข้าสู่ระบบกรองน้ำที่ผ่านเข้าสู่ระบบกรองหยาบน้ำแล้วจะไหลเข้าสู่ระบบกรองเบกที่เรียกโดยใช้เซลามิกเมมเบรน ขนาด 1 ไมโครเมตร โดยมีความดันประมาณ 30 psi ในการดำเนินการกรอง โดยเซลามิกเมมเบรนสามารถ濾ออกเปลือกไข่ในกรณีที่มีการอุดตัน ในกรณีที่เชื้อจุลินทรีย์ไม่ได้ออกกำจัดโดยการกรองแบบเซลามิกเมมเบรน เชื้อจุลินทรีย์บางส่วนอาจผ่านเข้าสู่ระบบ ดังนั้นการฆ่าเชื้อจุลินทรีย์อีกครั้งทำได้โดยน้ำที่ผ่านกระบวนการกรองต่างๆ แล้วจะถูกส่งต่อเข้าสู่เครื่องฆ่าเชื้อทัชแสลงอุตศรีไวโอลูตก่อนน้ำจะเข้าสู่ชุดบรรจุขวดและปิดผนึกและพร้อมที่จะจำหน่ายให้กับชุมชนต่อไป

4.1.2 คุณลักษณะของน้ำดินสำหรับชุมชนลับแล

น้ำได้คืนซึ่งใช้เป็นน้ำดินในกระบวนการผลิตน้ำดื่มน้ำสำหรับชุมชนลับแล ตัวอย่างน้ำอยู่กันมาวิเคราะห์ในห้องปฏิบัติการของภาควิชาวิศวกรรมเคมี คณะวิศวกรรมศาสตร์ มหาวิทยาลัยอุบลราชธานี ตารางที่ 4.2 แสดงคุณภาพของน้ำดินสำหรับการผลิตน้ำดื่มในชุมชนลับแล ตัวอย่างที่เก็บมาวิเคราะห์เป็นตัวอย่างของวันที่ 7 สิงหาคม พ.ศ. 2546 ผลการวิเคราะห์พบว่าค่าพิเศษประมาณ 6.12 ส่วนค่าความเป็นด่างประมาณ 85 mg/L CaCO_3 ซึ่งค่าความเป็นด่างจะอยู่ในรูปของไบคาร์บอเนต (HCO_3^-) เมื่อจากค่าพิเศษที่วัดได้ คือ 6.12 อยู่ในช่วงที่สามารถพินในรูปของไบคาร์บอเนตเมื่อเทียบกับกรดคาร์บอนิก (H_2CO_3) ซึ่งจะพบมากที่ค่าพิเศษค่าประมาณ 4.3 และคาร์บอเนตไอก้อน (CO_3^{2-}) ที่พบในช่วงค่าพิเศษนี้ค่าสูงประมาณ 11 ดังนั้นตัวอย่างน้ำดื่มน้ำให้ผู้จะอยู่ในรูปของไบคาร์บอเนตซึ่งปริมาณก็ไม่สูงมากนัก ค่าการนำไฟฟ้าเป็นค่าที่รวมประจุของไฮอนท์ทั้งหมดค่าประมาณ $455 \mu\text{S/cm}$ ค่อนข้างสูง เมื่อเทียบกับแหล่งน้ำดินจากน้ำผิวดิน เช่นน้ำหนอนอีเจน ของมหาวิทยาลัยอุบลราชธานี ซึ่งมีค่าประมาณ $31.9 \mu\text{S/cm}$ (ข้อมูลจากการวัดปี 2546) เนื่องมาจากองค์ประกอบของค่าประจุบวก เช่น เหล็ก แมงกานีส แกลลเซียมและแมกนีเซียม ส่วนค่าประจุลบอาจพบค่าในเครด ชัลเฟดและคลอไรด์ที่มีค่ามากในน้ำได้คืนเมื่อเทียบกับน้ำผิวดิน ส่วนค่าความชุ่นที่เกิดจากสารแขวนลอยหรือบางส่วนได้จากคลอโลอิค (colloids) ที่หากต่อการทดสอบ อย่างไรก็ตามปริมาณที่วัดได้ก็มีค่าอย่างต่ำเมื่อเปรียบเทียบกับน้ำผิวดินของหนอนอีเจน มีค่าประมาณ 6.58 NTU (ข้อมูลจากการวัดปี 2546) ค่าความชุ่นที่ค่อนข้างต่ำทำให้ลดปัญหาเรื่องการคงตะกอนและอุดตันในขั้นตอนค่างๆ สำหรับการผลิตน้ำดื่ม ส่วนความชุ่นที่เป็นเกณฑ์

ตารางที่ 4.2 คุณภาพของน้ำดินสำหรับการผลิตน้ำดื่มในชุมชนลับแล

ตัวบ่งชี้วัด (Parameter)	หน่วยที่วัด	ค่าที่วัดได้
ความเป็นกรด-ค้าง (pH)	-	6.12
ความเป็นด่าง (Alkalinity)	mg/L as CaCO ₃	85
ความนำไฟฟ้า (Electrical Conductivity)	µS/cm	455
ความขุ่น (Turbidity)	NTU	1.20
UV _{254 nm}	cm ⁻¹	0.032
สารอินทรีย์ทั้งหมด (Total organic carbon, TOC)	mg/L	1.11
UV/TOC	L/mg. m	2.9
คลอริโคต (Cl ⁻)	mg/L	48.5
ความกระด้าง (Hardness)	mg/L as CaCO ₃	143.3
แคลเซียม (Calcium)	mg/L as CaCO ₃	89
แมกนีเซียม (Magnesium)	mg/L as CaCO ₃	54.3
เหล็ก (Iron)	mg/L	0.043
แมงกานีส (Manganese)	mg/L	0.390
ไนเตรต (Nitrate)	mg/L	19.64
ซัลเฟต (Sulfate)	mg/L	323
พิคอลิโคลิฟอร์ม (Fecal Coliform)	MPN/100 ml	< 2

ด้วยย่างน้ำวันที่ 7 สิงหาคม พ.ศ. 2546

มาตรฐานผลิตภัณฑ์อุตสาหกรรมน้ำบริโภค มีค่าเท่ากับ 5 NTU สำหรับค่าสารละลายน้ำที่ต้องการลดลง แต่ในที่นี้พบว่าต้องการลดลงเพิ่มเติม เนื่องจากสารอินทรีย์ทั้งหมดในน้ำดินมีค่าเท่ากับ 1.11 mg/L ซึ่งถือว่ามีค่าน้อย ค่าการคุณภาพแสงโดยใช้แสงญี่ปุ่น มีค่าเท่ากับ 0.032 cm⁻¹ และค่า UV/TOC แสดงค่าไม่สูงนัก โดยทั่วไปอัตราส่วนของค่า UV/TOC ที่มีค่าสูงแสดงถึงสารละลายน้ำที่มีคุณสมบัติเป็นไฮdrophobic (hydrophobic) ซึ่งมีความสามารถในการละลายต่ำ ในทำนองกลับกันอัตราส่วนของค่า UV/TOC ที่มีค่าต่ำแสดงคุณสมบัติของสารอินทรีย์แบบ hydrophilic (hydrophilic) ที่ง่ายต่อการละลายน้ำ

คลอไรด์เป็นองค์ประกอบที่สำคัญโดยแสดงถึงปริมาณของสารเกลือแร่ในน้ำ ตามเกณฑ์มาตรฐานคุณภาพน้ำคือในภาชนะบรรจุที่ปิดสนิท มีค่ามาตรฐานก้าหนดไว้ไม่เกิน 250 มิลลิกรัมต่อลิตร ซึ่งเหล่าน้ำดื่มน้ำอุ่นในเกณฑ์มาตรฐานของน้ำคือประมาณ 48.5 มิลลิกรัมต่อลิตร โดยค่าคลอไรด์ที่มีค่ามากกว่าค่ามาตรฐานแสดงผลต่อสภาพน้ำทำให้เกิดรสเค็ม ส่วนความกระด้างของน้ำเกิดจากประจุที่มากกว่าหนึ่งประจุชั่นแคลเซียมและแมกนีเซียม คืออย่างน้ำที่ได้น้ำมีค่าประมาณ $143.3 \text{ mg/L as CaCO}_3$ ซึ่งเป็นน้ำที่มีความกระด้างปานกลางที่อยู่ในช่วง $75 - 150 \text{ mg/L as CaCO}_3$ น้ำกระด้างที่มีค่าน้อยหรือเป็นน้ำอ่อนมีค่าประมาณ $0 - 75 \text{ mg/L as CaCO}_3$ ค่าน้ำกระด้างที่มีค่ามากจะอยู่ในช่วง $150 - 300 \text{ mg/L as CaCO}_3$ และค่าความกระด้างที่มากกว่า $300 \text{ mg/L as CaCO}_3$ แสดงความเป็นน้ำที่มีความกระด้างสูงมาก ส่วนเกณฑ์มาตรฐานของน้ำคือกำหนดค่าความกระด้างไว้ไม่เกิน $100 \text{ mg/L as CaCO}_3$ สำหรับแคลเซียมและแมกนีเซียมที่วัดได้เป็นองค์ประกอบหนึ่งของค่าความกระด้างมีค่าเท่ากับ 89 และ $54.3 \text{ mg/L as CaCO}_3$ ตามลำดับ ซึ่งค่าดังกล่าวนี้มีค่าไม่สูงนักและอยู่ในช่วงอนุโลมของมาตรฐานผลิตภัณฑ์อุตสาหกรรมน้ำบริโภคโดยก้าหนดไว้เท่ากับ $200 \text{ mg/L as CaCO}_3$ และ $150 \text{ mg/L as CaCO}_3$ สำหรับค่ามาตรฐานของแคลเซียมและแมกนีเซียม ตามลำดับ การท่องค์ประกอบของความกระด้างมีค่าต่ำทำให้เกิดผลดีต่อกระบวนการผลิตน้ำคือน้ำดื่มโดยเฉพาะการใช้ระยะเวลาที่ใช้สำหรับการใช้เรซิ่นแบบประจุบวก

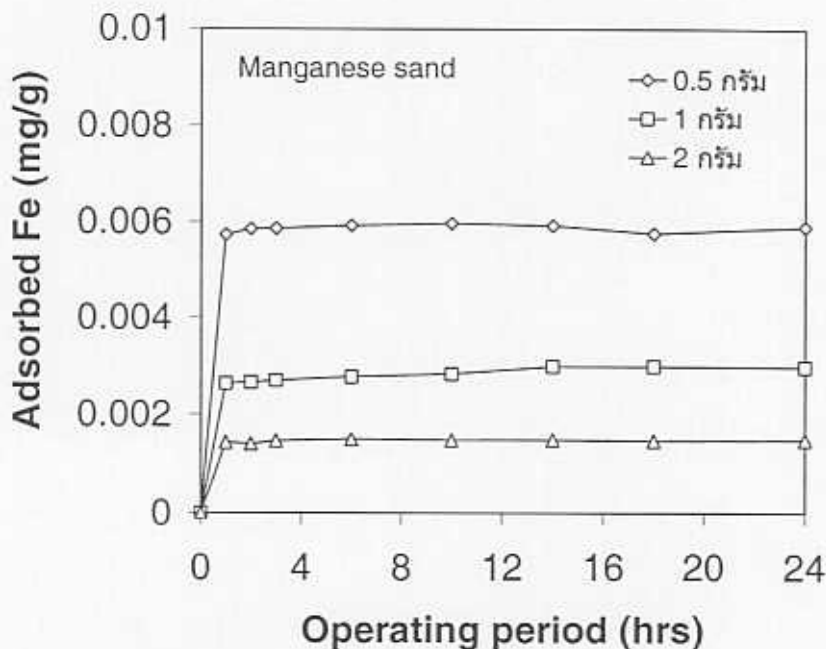
ค่าเหล็กและแมงกานีสซึ่งส่วนใหญ่จะพบในน้ำได้คืน สำหรับน้ำคืออย่างของชุมชนลับและมีสารเหล็กและแมงกานีสค่อนข้างต่ำประมาณ 0.043 และ 0.39 มิลลิกรัมต่อลิตรตามลำดับ สำหรับชาตุเหล็กค่ามาตรฐานสูงสุดตามมาตรฐานผลิตภัณฑ์อุตสาหกรรมน้ำบริโภคก้าหนดไว้ที่ 0.5 มิลลิกรัมต่อลิตร สำหรับแมงกานีสตามมาตรฐานสูงสุดก้าหนดไว้ที่ 0.3 มิลลิกรัมต่อลิตร ซึ่งน้ำดื่มน้ำค่ากินมาตรฐานสูงสุดแต่ยังในช่วงที่อนุโลมได้คือประมาณ 0.5 มิลลิกรัมต่อลิตร สารที่พบในน้ำคืออย่างของชุมชนลับและมีค่ากินมาตรฐานคุณภาพน้ำคือในภาชนะบรรจุที่ปิดสนิท ได้แก่ ในเครดและชัลเฟด โดยที่ความเข้มข้นของในเครดและชัลเฟดสำหรับคืออย่างน้ำชุมชนโดยประมาณ 19.64 และ 323 มิลลิกรัมต่อลิตร ตามลำดับ ค่ามาตรฐานคุณภาพน้ำคือในภาชนะบรรจุที่ปิดสนิทก้าหนดความเข้มข้นที่เหมาะสมไว้ที่ 4 และ 250 มิลลิกรัมต่อลิตร สำหรับความเข้มข้นของในเครดและชัลเฟด ตามลำดับ

4.2 ผลและการวิเคราะห์การทดลองแบบไม่ต่อเนื่อง

4.2.1 การกำจัดเหล็กและแมงกานีสโดยใช้สารแมงกานีส

สารเหล็กและแมงกานีสสูงก้าจัดโดยผ่านสารแมงกานีสที่ถูกบรรจุใน colloamn เพื่อผลิตน้ำคือ การทดสอบแบบไม่ต่อเนื่องหรือ batch test เพื่อศึกษาประสิทธิภาพการกำจัดของสารเหล็ก

และแมงกานีสโดยใช้สารแมงกานีส โคล秧ทดสอบสารเหล็กน้ำจากน้ำดื้อข่ายของชุมชนลับแล ซึ่งมีปริมาณความเข้มข้นของเหล็กก่อนข้างต่ำประมาณ 0.043 มิลลิกรัมต่อลิตร และเป็นระดับความเข้มข้นของเหล็กที่มีค่าอยู่ภายในมาตรฐานคุณภาพน้ำดื่มน้ำที่กำหนดไว้ประมาณ 0.3 มิลลิกรัมต่อลิตร การทดสอบแบบนี้คือเพื่อศึกษาความสามารถในการกำจัดสารเหล็กตามปริมาณสารแมงกานีสแสดงได้ในภาพที่ 4.2 จากกราฟพบว่าปริมาณที่เพิ่มขึ้นของสารแมงกานีสส่งผลต่อการ



ภาพที่ 4.2 ความสามารถในการกำจัดเหล็กตามปริมาณของสารแมงกานีส

ลดลงของความสามารถในการกำจัดสารเหล็ก ความสามารถในการกำจัดสารเหล็ก (adsorbed Fe) คำนวณได้ในสมการดังต่อไปนี้

$$\text{Adsorbed Fe} = \frac{(C_{\text{iron},o} - C_{\text{iron},e}) \times V_{\text{sample}}}{W_{\text{manganese,s}}}$$

โดยที่ค่า $C_{\text{iron},o}$ เท่ากับความเข้มข้นของสารเหล็กเริ่มต้น

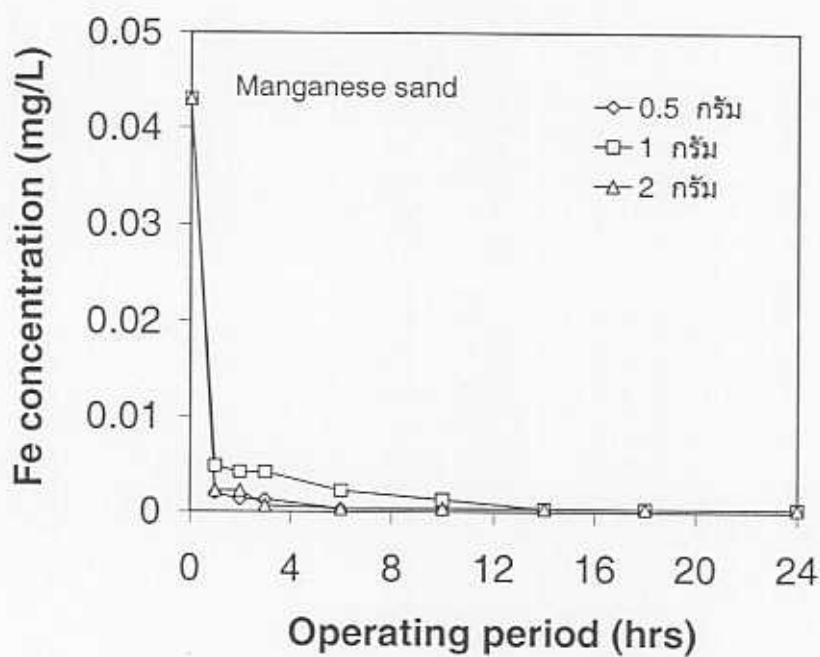
$C_{\text{iron},e}$ เท่ากับความเข้มข้นของสารเหล็ก ณ เวลาใด ๆ

V_{sample} เท่ากับปริมาตรของน้ำดื้อข่ายที่ใช้

$W_{\text{manganese,s}}$ เท่ากับปริมาณของสารแมงกานีสที่ใช้

จากการพนวณาช่วงแรกของการทดสอบ โคล秧เฉลี่ยน้อยกว่าหกชั่วโมงค่าความสามารถในการกำจัดสารเหล็กยังไม่ถูกทิ้ง หลังจากหกชั่วโมงค่าความสามารถในการกำจัดเหล็กมีค่าก่อนข้างคงที่ ความสามารถในการกำจัดสารเหล็กโดยสารแมงกานีสมีค่าเฉลี่ยเท่ากับ 0.0059

มิลลิกรัมต่อกิโลกรัม 0.0029 มิลลิกรัมต่อกิโลกรัม และ 0.0015 มิลลิกรัมต่อกิโลกรัม สำหรับสารแมงกานีส 0.5 กรัม 1 กรัม และ 2 กรัม ตามลำดับ ค่าความสามารถการกำจัดสารเหล็กมีค่าน้อยเนื่องจากความเข้มข้นของสารเหล็กมีค่าน้อยในน้ำด้วยอย่างของชุนชนลับแล ปริมาณสารที่เพิ่มขึ้นไม่ส่งผลมากต่อความเข้มข้นที่ลดลงของเหล็กในน้ำด้วยอย่าง ภาพที่ 4.3 แสดงความเข้มข้นของเหล็กตามปริมาณของสารแมงกานีส จากการฟพบว่าความเข้มข้นของเหล็กลดลงอย่างมากในหนึ่งชั่วโมงแรกของการทดสอบแบบไม่ต่อเนื่อง หลังจากนั้นค่าการลดลงของความเข้มข้นของเหล็กมีค่าน้อยลงและมีความเข้มข้นน้อยที่สุดที่เวลาประมาณ 24 ชั่วโมงมีค่าประมาณ 0.0003 มิลลิกรัมต่อลิตร ทั้งนี้ปริมาณของสารแมงกานีสไม่ส่งผลต่อกำลังของความเข้มข้นของสารเหล็กดังแสดงในรูปกราฟ



ภาพที่ 4.3 ความเข้มข้นของเหล็กตามปริมาณของสารแมงกานีส

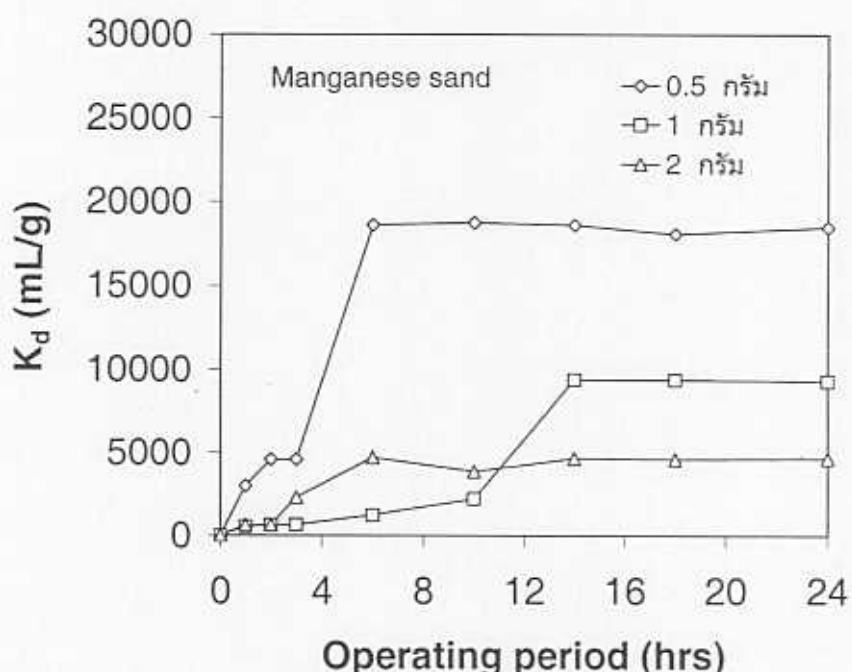
ภาพที่ 4.4 แสดงค่าสัมประสิทธิ์การกระจายของเหล็กโดยใช้สารแมงกานีส ผลการวิเคราะห์พบว่าสัมประสิทธิ์การกระจายมีค่าสูงสำหรับการจับตัวของสารเหล็กโดยสารแมงกานีส ค่าสัมประสิทธิ์การกระจายโดยเฉลี่ยประมาณ 18,519 มิลลิลิตรต่อกิโลกรัม 6,324 มิลลิลิตรต่อกิโลกรัม และ 4,512 มิลลิลิตรต่อกิโลกรัม สำหรับปริมาณของสารแมงกานีส 0.5 กรัม 1 กรัม และ 2 กรัม ตามลำดับ การวิเคราะห์พบว่าค่าสัมประสิทธิ์การกระจายมีค่าสูงเนื่องจากความเข้มข้นของเหล็กที่มีค่าน้อยทำให้เกิดการจับตัวของเหล็กมีค่าสูง โดยสังเกตจากการจับตัวของเหล็กอย่างเร็วในน้ำด้วยอย่างของชุนชนลับแลในช่วงหนึ่งชั่วโมงของการทดลองแบบไม่ต่อเนื่อง ค่าสัมประสิทธิ์การ

กระบวนการแมงกานีสที่ 0.5 กรัมมีค่าสูง และค่าสัมประสิทธิ์การกระจายมีค่าคงที่หลังการทดสอบที่เวลาหกชั่วโมง ยกเว้นค่าสัมประสิทธิ์การกระจายที่ปริมาณสารแมงกานีสที่ 1 กรัม โดยค่าสัมประสิทธิ์การกระจายจะมีค่าคงที่หลังจากเวลาที่ 14 ชั่วโมง อาจเนื่องจากความเข้มข้นของสารเหล็ก ($C_{iron,e}$) ที่ยังไม่คงที่นัก และมีผลต่อการคำนวณค่าสัมประสิทธิ์การกระจาย

สมการที่ใช้ในการคำนวณค่าสัมประสิทธิ์การกระจาย (distribution coefficient) เกิดจาก การใช้ความเข้มข้นของสารเหล็กหลังเวลาที่วัดได้เป็นตัวหารซึ่งจะแตกต่างจากสมการความสามารถในการกำจัดสารเหล็ก สมการที่ใช้ในการคำนวณค่าสัมประสิทธิ์การกระจายแสดงได้ดังนี้

$$K_{d,iron} = \frac{(C_{iron,o} - C_{iron,e})}{C_{iron,e}} \times \frac{V_{sample}}{W_{manganese,v}}$$

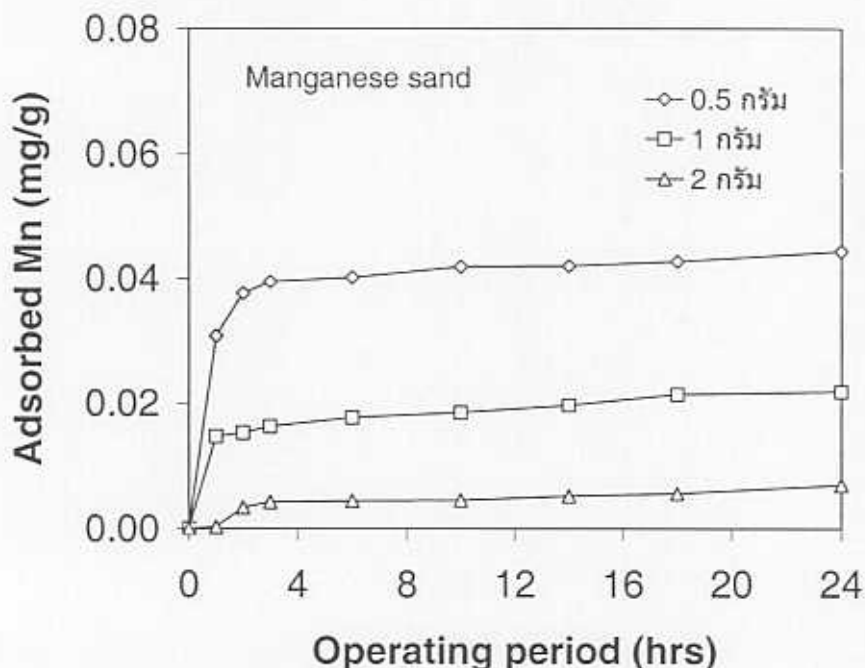
โดยที่ $K_{d,iron}$ เท่ากับสัมประสิทธิ์การกระจายของเหล็ก มีหน่วยเป็นมิลลิลิตรต่อกกรัม (mL/g)



ภาพที่ 4.4 สัมประสิทธิ์การกระจายของเหล็กโดยสารแมงกานีส

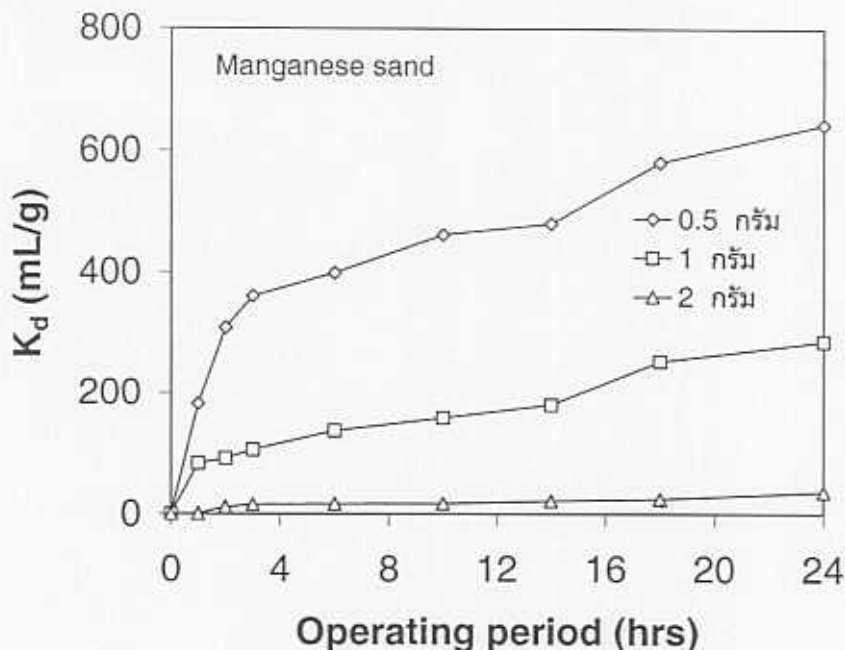
ภาพที่ 4.5 แสดงความสามารถในการกำจัดแมงกานีสตามปริมาณของสารแมงกานีส จากกราฟพบว่าความสามารถในการกำจัดแมงกานีสมีค่าสูงที่ปริมาณสารแมงกานีสที่น้อยประมาณ 0.5 กรัมเมื่อเทียบกับปริมาณสารแมงกานีสที่ 1 กรัม และ 2 กรัม ความลำดับ การคำนวณค่าการกำจัด

หรือการคุณภาพของสารเคมีที่สามารถดูดซึมน้ำได้เพื่อสนับสนุนความสามารถในการกำจัดของเหล็ก จะสังเกตว่าค่าการกำจัดของสารเคมีที่สูงช่วยบรรเทาการค่าเฉลี่ยในระบบ หลังจากหกชั่วโมงของการทดลองค่าการคุณภาพเริ่มเข้าสู่ภาวะคงที่ ค่าการคุณภาพของสารเคมีสูงกว่า



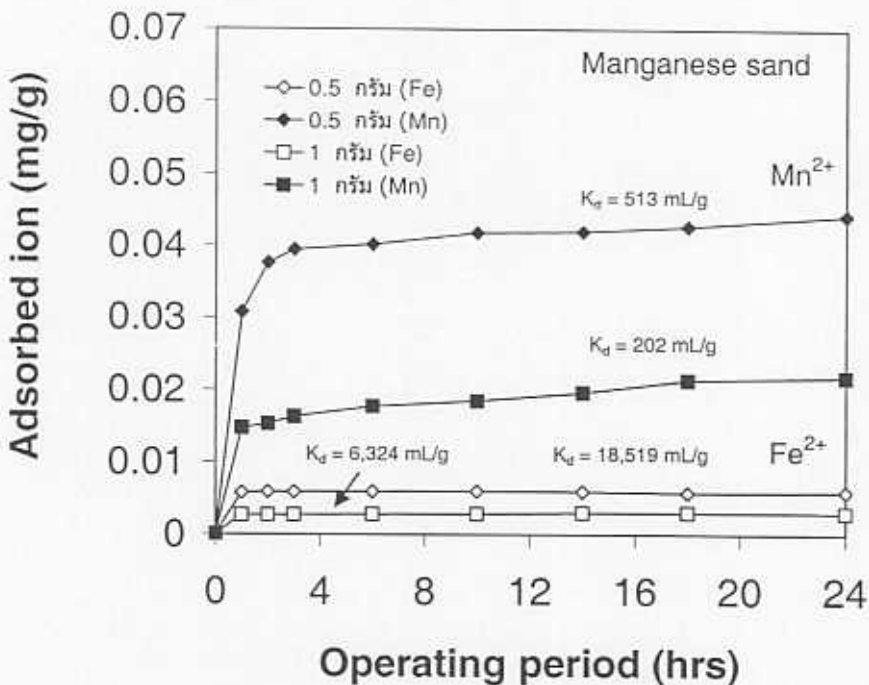
ภาพที่ 4.5 ความสามารถในการกำจัดของสารเคมีส่วนประกอบของสารเคมีส

รูปที่ 4.6 แสดงค่าสัมประสิทธิ์การกระจายของสารเคมีส ผลการวิเคราะห์พบว่าสัมประสิทธิ์การกระจายมีค่าปกตันกับปริมาณสารเคมีส โดยที่สารเคมีสที่สารเคมีสมีค่าเฉลี่ยประมาณ 0.042 มิลลิกรัมต่อกิโลกรัม 0.02 มิลลิกรัมต่อกิโลกรัม และ 0.0053 มิลลิกรัมต่อกิโลกรัม สำหรับปริมาณสารเคมีสที่ 0.5 กรัม 1 กรัม และ 2 กรัม ตามลำดับ ใช้มีปริมาณน้อยให้ค่าสัมประสิทธิ์การกระจายที่สูง เนื่องด้วยกันแนวโน้มที่ได้จากการคุณภาพของสารเคมีส ค่าสัมประสิทธิ์การกระจายของสารเคมีสหดังจากเวลาหกชั่วโมงของการคุณภาพมีค่าโดยเฉลี่ยประมาณ 513 มิลลิลิตรต่อกิโลกรัม 202 มิลลิลิตรต่อกิโลกรัมและ 23 มิลลิลิตรต่อกิโลกรัม สำหรับปริมาณของสารเคมีส 0.5 กรัม 1 กรัม และ 2 กรัม ตามลำดับ



ภาพที่ 4.6 สัมประสิทธิ์การกระจายของแมงกานีสโดยใช้สารแมงกานีส

ภาพที่ 4.7 แสดงความสามารถในการกำจัดของไอออนโดยสารแมงกานีส จากภาพพบว่าค่าการคุดขันแมงกานีสมีค่าสูงกว่าค่าการคุดขันเหล็กโดยสารแมงกานีส อาจเป็นผลเนื่องจากความเข้มข้นของเหล็กที่มีค่าน้อยกว่าความเข้มข้นของแมงกานีสในน้ำดื้อย่าง ส่งผลให้ความแตกต่างระหว่างความเข้มข้นของแมงกานีสมีค่ามากกว่าเหล็กทำให้ค่าความสามารถการจับด้วยของแมงกานีสมีค่าสูงเมื่อเทียบกับความสามารถในการจับด้วยของเหล็ก อย่างไรก็ตามค่าสัมประสิทธิ์การกระจายของเหล็กที่คำนวณได้มีค่อนข้างสูงเมื่อเทียบกับค่าสัมประสิทธิ์การกระจายของแมงกานีสเนื่องจากผลของความเข้มข้นของเหล็กที่มีค่าน้อยและใช้เป็นตัวหารในการคำนวณค่าสัมประสิทธิ์การกระจายของเหล็กส่งผลให้ค่าที่ได้มีค่าสูง ซึ่งก็สอดคล้องกับประสิทธิภาพในการกำจัดเหล็กโดยสารแมงกานีสโดยเฉลี่ยประมาณ 98.8% ส่วนการกำจัดแมงกานีสโดยสารแมงกานีส มีค่าน้อยกว่าโดยเฉลี่ยประมาณ 63.7% โดยที่ประสิทธิภาพการกำจัดสารแมงกานีสมีค่าน้อยเมื่อเพิ่มปริมาณสารแมงกานีสมากขึ้น ทั้งนี้เนื่องจากการทดสอบแบบไม่ต่อเนื่องเป็นการกระทำภายใต้ระบบปิด ไม่มีส่วนของเหล็กหรือแมงกานีสทำปฏิกิริยากับออกซิเจนที่เป็นตัวกลางทำให้เกิดการเปลี่ยนสภาพของเหล็กและแมงกานีสเป็น Fe(OH)_3 และ MnO_2 และถูกจับไว้โดยสารแมงกานีส ดังนั้นแมงกานีสที่จับตัวได้ไม่คีเท่าเหล็กซึ่งปรากฏความเข้มข้นของแมงกานีสที่เหลือมากกว่า (ประสิทธิภาพการกำจัดต่ำ) ในสารละลายน้ำดื้อย่างตามระยะเวลาของการทดสอบ

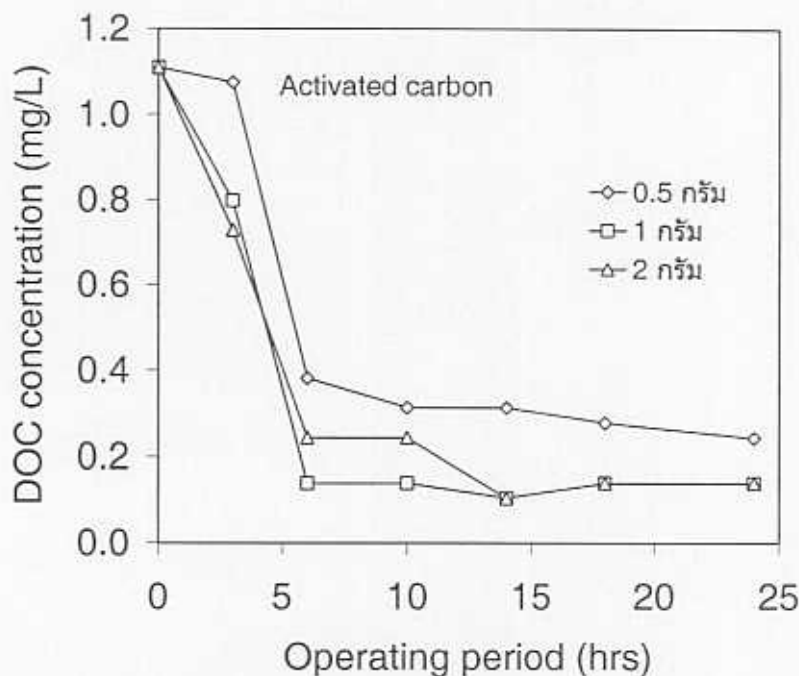


ภาพที่ 4.7 ความสามารถในการจับด้วยของไออกอนโดยใช้สารแมงกานีส

4.2.2 การกำจัดสารอินทรีย์โดยแอ็คติเวทเต็คการ์บอน (activated carbon)

การทดสอบถ่านกัมมันต์หรือแอ็คติเวทเต็คการ์บอน (activated carbon) เพื่อกำจัดสารละลายน้ำในน้ำ การวิเคราะห์การบ่อนทำได้โดยใช้เครื่องวัดสารละลายน้ำ (total organic carbon) และค่าการคุณลักษณะของสารอินทรีย์ที่ความยาวคลื่นเท่ากับ 254 nm ภาพที่ 4.8 แสดงผลของการเพิ่มขึ้นการบ่อนของสารละลายน้ำในน้ำหนักของถ่านกัมมันต์ จากการทดลองพบว่าค่าความเพิ่มขึ้นการบ่อนของสารละลายน้ำในน้ำหนักของถ่านกัมมันต์ เมื่อจากการคุณลักษณะของการคุณลักษณะของสารอินทรีย์บนผิวของถ่านกัมมันต์ที่น้ำหนักกรัมของถ่านกัมมันต์เท่ากับ 0.5 กรัม พบร่วมกับความเพิ่มขึ้นของสารละลายน้ำในน้ำหนักที่สุดเมื่อเทียบกับปริมาณน้ำหนักของถ่านกัมมันต์ที่ 1 กรัมและ 2 กรัมตามลำดับ อี่างไรก็ตามที่น้ำหนักของสารการบ่อนเท่ากับ 0.5 กรัม ให้ค่าลดลงและยังไม่เข้าสู่ภาวะคงที่ที่เวลาเท่ากับ 24 ชั่วโมง จะสังเกตว่าที่ปริมาณน้ำหนักมากขึ้น (ที่ปริมาณน้ำหนัก 1 กรัมและ 2 กรัม) ส่งผลต่อการคุณลักษณะของสารละลายน้ำในน้ำหนักของถ่านกัมมันต์ โดยเฉพาะในช่วงแรกของการดำเนินระบบ ทำให้ค่าความเพิ่มขึ้นการบ่อนของสารอินทรีย์ลดลงเร็วขึ้นดังแสดงในภาพ ผลการทดสอบจะแตกต่างกับการลดลงของความเพิ่มขึ้นของสารอินทรีย์ละลายน้ำที่ปริมาณน้ำหนักเท่ากับ 0.5 กรัม นอกจากนี้ความเพิ่มขึ้นการบ่อนของสารละลายน้ำในน้ำหนัก 1 กรัมและ 2

กรัม โดยระยะเวลา 14 ชั่วโมงหลังการทดสอบ อาจเป็นผลเนื่องจากค่าการดูดซับเข้าสู่สภาวะคงที่เนื่องจากผลการดูดซับของสารละลายน้ำอินทรีขึ้นผิวดอกของถ่านกัมมันต์ ส่วนการกำจัดสารอินทรีธรรมชาติโดยประมาณ 74.2% 88.2% และ 88.5% ความปริมาณที่เพิ่มขึ้นของถ่านกัมมันต์จาก 0.5 กรัม 1 กรัม และ 2 กรัม ตามลำดับ



ภาพที่ 4.8 ความเข้มข้นการรับอนของสารละลายน้ำอินทรีตามน้ำหนักของถ่านกัมมันต์

การทดสอบค่าการดูดซับบนผิวดอกของถ่านกัมมันต์ สามารถคำนวณได้จากค่าปริมาณของสารอินทรีที่ถูกดูดซับบนผิวดอกของถ่านกัมมันต์ต่อหน่วยน้ำหนักของสารการรับอน (q) และคงเป็นสมการได้ดังนี้

$$q = \frac{(C_{DOC,o} - C_{DOC,e}) \times V_{sample}}{W_{carbon,t}}$$

โดยที่

$C_{DOC,o}$ เท่ากับความเข้มข้นเริ่มต้นของสารอินทรีละลายน้ำ (mg/L)

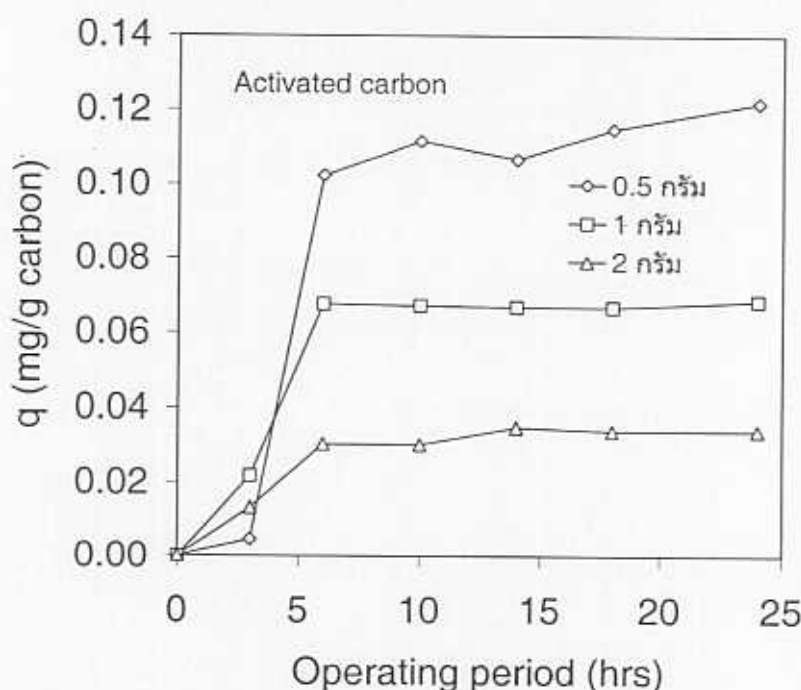
$C_{DOC,e}$ เท่ากับความเข้มข้นของสารละลายน้ำอินทรีหลังการดูดซับ ณ เวลาใด ๆ (mg/L)

V_{sample} เท่ากับปริมาตรของสารที่ใช้ในการทดสอบ (~ 70 mL)

$W_{carbon,t}$ เท่ากับน้ำหนักที่ซึ่งได้ของถ่านกัมมันต์หรือการรับอน (g)

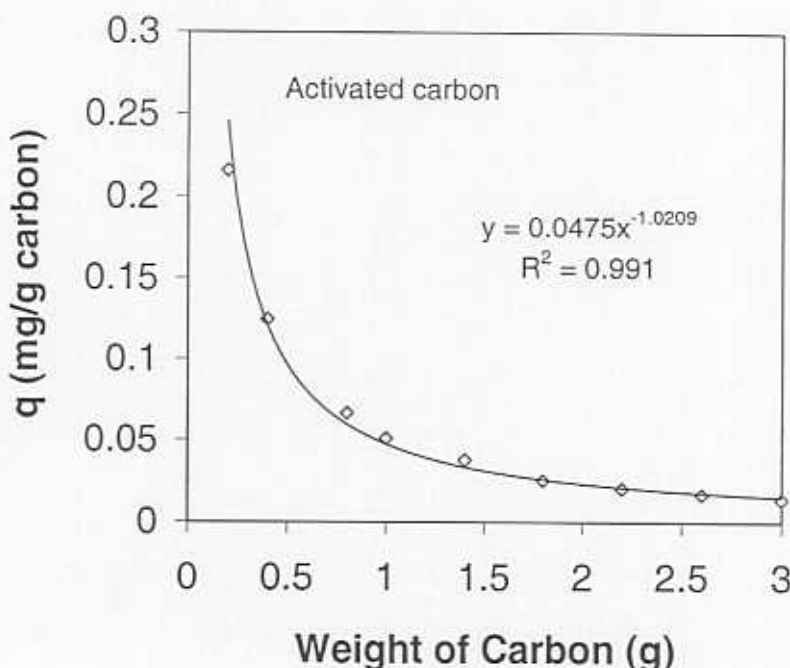
เนื่องจากความเข้มข้นของสารละลายน้ำที่เริ่มดันสำหรับน้ำตัวอย่างที่ใช้ในการทดสอบน้ำค่าไม่สูงนัก ประกอบกับการทดสอบให้ใช้ปริมาณของถ่านกัมมันต์ที่ไม่แтекต่างกันมากนัก การทดสอบพบว่าปริมาณการลดลงของสารอินทรีย์ในรูปของสาร์บอนทั้งหมดคุณภาพปัจมุทของน้ำตัวอย่างที่ใช้แสดงถึงมวลของสาร์บอนในสารละลายน้ำที่ถูกคุกซับบนผิวของถ่านสาร์บอน ซึ่งแสดงได้ในส่วนบนของสมการข้างต้น ดังนั้นการคำนวณปริมาณของสาร์บอนที่ถูกคุกซับต่อหน่วยน้ำหนักของถ่านกัมมันต์หารได้จากการใช้น้ำหนักทั้งหมดของถ่านกัมมันต์เป็นตัวหาร

ภาพที่ 4.9 แสดงปริมาณการคุกซับของสารละลายน้ำที่ยืนถ่านกัมมันต์ตามระยะเวลาการทดสอบ จากกราฟจะพบว่าค่าการคุกซับต่อหน่วยน้ำหนักของสารสาร์บอนนี้ค่าจากมากไปน้อยตามปริมาณของถ่านกัมมันต์ที่เพิ่มขึ้น ค่าการคุกซับมีค่าลดลงโดยเฉลี่ยเท่ากับ 0.112 มิลลิกรัมต่อกรัม 0.067 มิลลิกรัมต่อกรัม และ 0.033 มิลลิกรัมต่อกรัม ตามปริมาณที่เพิ่มขึ้นของถ่านกัมมันต์จาก 0.5 กรัม 1 กรัม และ 2 กรัม ตามลำดับ สำหรับน้ำหนักของถ่านกัมมันต์ที่ 0.5 กรัมค่าการคุกซับหลัง 14 ชั่วโมงมีแนวโน้มที่เพิ่มขึ้นอาจเนื่องมาจากการคุกซับของถ่านกัมมันต์ยังไม่เข้าสู่สภาวะคงที่ภายในเวลาที่ใช้ในการทดสอบแบบไม่ต่อเนื่อง ส่วนค่าการคุกซับที่ 1 กรัมและ 2 กรัมมีค่าคงที่ข้างคงที่หลังการทดสอบที่ 14 ชั่วโมงเป็นต้นไป เมื่อจากการคุกซับของสารอินทรีย์บนผิวของถ่านสาร์บอนเข้าสู่สภาวะคงที่ จากการทดสอบจะสังเกตว่าค่าการคุกซับของสารอินทรีย์ต่อน้ำหนักของถ่านสาร์บอนมีค่าน้อยลงตามน้ำหนักที่เพิ่มขึ้น แสดงถึงน้ำหนักของถ่านสาร์บอนมีส่วนที่สำคัญที่ส่งผลต่อค่าการคุกซับของสารอินทรีย์บนผิวของถ่านสาร์บอน



ภาพที่ 4.9 ปริมาณการคุกซับของสารอินทรีย์ตามระยะเวลาการทดสอบ

ภาพที่ 4.10 แสดงปริมาณการดูดซับของสารอินทรีย์ตามปริมาณของถ่านกัมมันต์



ภาพที่ 4.10 ปริมาณการดูดซับของสารอินทรีย์ตามปริมาณของถ่านกัมมันต์

จากกราฟจะสังเกตว่าการเพิ่มปริมาณของถ่านกัมมันต์ส่งผลต่อการลดลงของค่าการดูดซับของสารอินทรีย์ที่มีต่อถ่านกัมมันต์ เนื่องจากปริมาณของสารละลายน้ำในน้ำด้วยมีค่าน้อยสักส่วนการลดลงของสารบินที่ถูกดูดซับนิ่วของถ่านกัมมันต์มีค่าไม่แตกต่างกันมากนักเมื่อเทียบกับปริมาณของถ่านกัมมันต์ที่มีค่านากขึ้น ดังนั้นน้ำหนักของถ่านกัมมันต์จึงเป็นปัจจัยที่สำคัญต่อการคำนวณค่าการดูดซับของสารอินทรีย์บนของถ่านกัมมันต์ โดยเป็นด้วหารในการคำนวณค่าการดูดซับของสารละลายน้ำที่สังเกตจากค่า $W_{carbon,s}$ ที่ถูกแสดงในสมการการคำนวณค่าการดูดซับของสารละลายน้ำ

สมการที่ใช้เป็นความสัมพันธ์ระหว่างค่าการดูดซับนิ่วของถ่านกัมมันต์และปริมาณของถ่านกัมมันต์ที่ใช้ แสดงได้ดังนี้

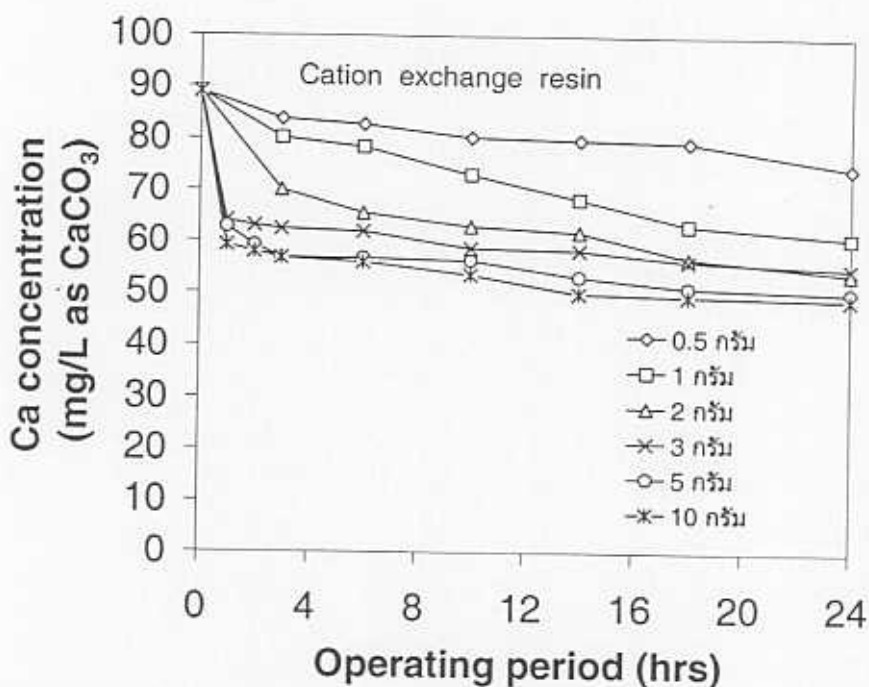
$$q = 0.0475 \times W_{carbon,s}^{-1.0209}; \quad r^2 = 0.991$$

โดยที่โดยสมการนี้แสดงมีค่าความสัมพันธ์ที่สูง ($r^2 = 0.991$) ค่า $W_{carbon,s}$ เท่ากับน้ำหนักที่ซึ่งได้ของถ่านกัมมันต์หรือสารบิน (g) ค่าปริมาณของสารอินทรีย์ที่ถูกดูดซับนิ่วของ

ด้านกัมมันต์คือห่นวายน้ำหนักของสารกรอง เขียนเป็นสัญลักษณ์เป็น σ น้ำด้วยอย่างที่ใช้ทดสอบ เป็นน้ำด้วยอย่างจากชุมชนลับแล อำเภอวารินชำราบ จังหวัดอุบลราชธานี

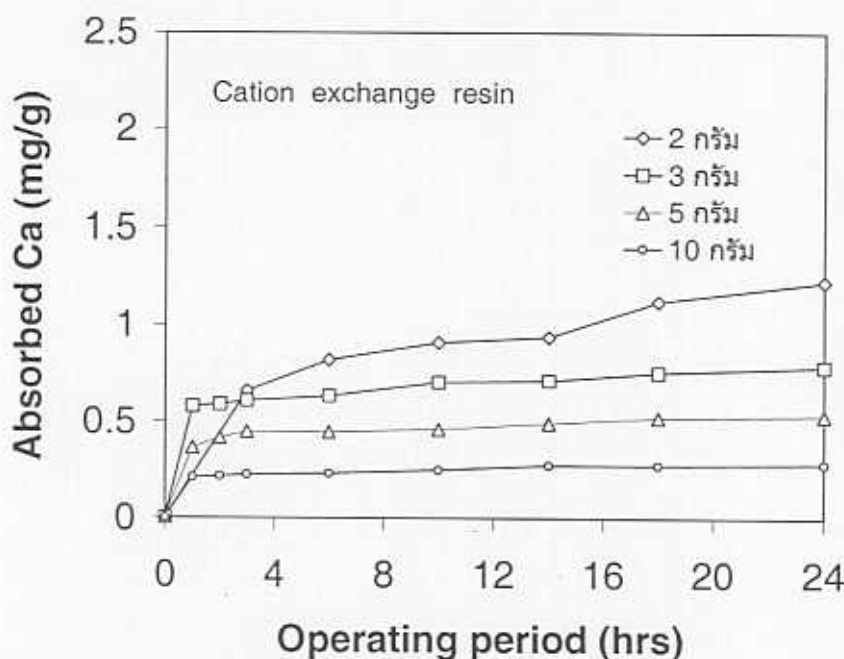
4.2.3 การกำจัดแคลเซียม แมกนีเซียมและความกระด้างโดยใช้สารเรซิ่นประจุบวก

แคลเซียมเป็นสารพูนในน้ำด้วยอย่างและเป็นองค์ประกอบที่สำคัญที่ทำให้เกิดน้ำกระด้าง ดังนั้นในการผลิตน้ำดื่มจึงจำเป็นกระบวนการในการกำจัดความกระด้างของน้ำ เช่นการแยกเปลี่ยน ไอออนของประจุบวกโดยใช้เรซิ่น (cation exchange resin) เป็นการแยกเปลี่ยนประจุบวกของประจุ สองบทของแคลเซียมกับประจุหนึ่งบทของไฮเดรียมที่อยู่ในตัวเรซิ่น ภาพที่ 4.11 แสดงความ เปลี่ยนขั้นของแคลเซียมตามปริมาณของสารเรซิ่นประจุบวก จากกราฟน้ำหนักของสารเรซิ่นประจุ บวกที่ใช้ในการทดสอบแบบไม่ต้องเนื่องมีค่าจาก 0.5 กรัม 1 กรัม 2 กรัม 3 กรัม 5 กรัม และ 10 กรัม ตามลำดับ ผลการทดสอบพบว่าความเปลี่ยนของแคลเซียมมีค่าลดลงเมื่อน้ำหนักของเรซิ่น ประจุบวกมีจำนวนมากขึ้น ความเปลี่ยนขั้นต่ำสุดของแคลเซียมที่วัดได้ประมาณ 49.2 mg/L as CaCO_3 (สำหรับการทดสอบที่ 24 ชั่วโมง) ที่น้ำหนักของสารเรซิ่นประจุบวกเท่ากับ 10 กรัม ส่วนความ เปลี่ยนขั้นของแคลเซียมที่น้ำหนักของสารเรซิ่นประจุบวกเท่ากับ 0.5 กรัม มีค่าประมาณ 74.8 mg/L as CaCO_3 (สำหรับการทดสอบที่ 24 ชั่วโมง) ซึ่งมีค่าเกินมาตรฐานผลิตภัณฑ์อุตสาหกรรมน้ำ บริโภคที่กำหนดไว้ประมาณ 70 mg/L CaCO_3



ภาพที่ 4.11 ความเปลี่ยนขั้นของแคลเซียมตามปริมาณของสารเรซิ่นประจุบวก

จากกราฟจะสังเกตว่า ถ้าการลดลงของแคลเซียมเกิดขึ้นเร็วในช่วงแรกของการทดสอบแบบไม่ต่อเนื่อง โดยเฉพาะการวัดค่าความเข้มข้นของแคลเซียมในช่วงแรกของการทดสอบของน้ำหนักของสารเรซิ่นประจุบวกจาก 3 กรัม ถึง 10 กรัม จากกราฟพบว่า การทดสอบที่น้ำหนักของสารเรซิ่นประจุบวกมีค่าน้อยกว่าสูงหลังต่อการลดลงอย่างช้าของความเข้มข้นของแคลเซียมในช่วง 24 ชั่วโมงของการทดสอบ แสดงถึงสภาวะที่ยังไม่สมดุลและความเข้มข้นของแคลเซียมอาจจะมีการลดลงอีกจนเข้าสู่สภาวะสมดุลหากายเวลาการทดสอบ อย่างไรก็ตามความเข้มข้นของแคลเซียมเข้าสู่สภาวะสมดุลสำหรับน้ำหนักของสารเรซิ่นประจุบวกที่มีมากที่สุด (ที่ 5 กรัมและ 10 กรัมของสารเรซิ่นประจุบวก) จะสังเกตความเข้มข้นของแคลเซียมมีค่าต่ำลงคงที่หลังการทดสอบที่ 14 ชั่วโมง ภาพที่ 4.12 แสดงความสามารถในการกำจัดแคลเซียมตามปริมาณของสารเรซิ่นประจุบวก ความสามารถในการกำจัดแคลเซียมค่อนข้างดีจากการการคุณชั้บของแคลเซียมกับสารเรซิ่น



ภาพที่ 4.12 ความสามารถในการกำจัดแคลเซียมตามระยะเวลาการทดสอบ

ประจุบวกโดยการแลกเปลี่ยนประจุบวก แสดงได้ดังนี้

$$\text{Adsorbed Ca} = \frac{(C_{Ca,o} - C_{Ca,e}) \times V_{sample}}{W_{cation\ resin,s}}$$

โดยที่ Ca เท่ากับความสามารถในการกำจัดแคลเซียมโดยการแลกเปลี่ยนประจุ

$C_{Ca,s}$ เท่ากับความเข้มข้นของแคลเซียมริ่มดิน

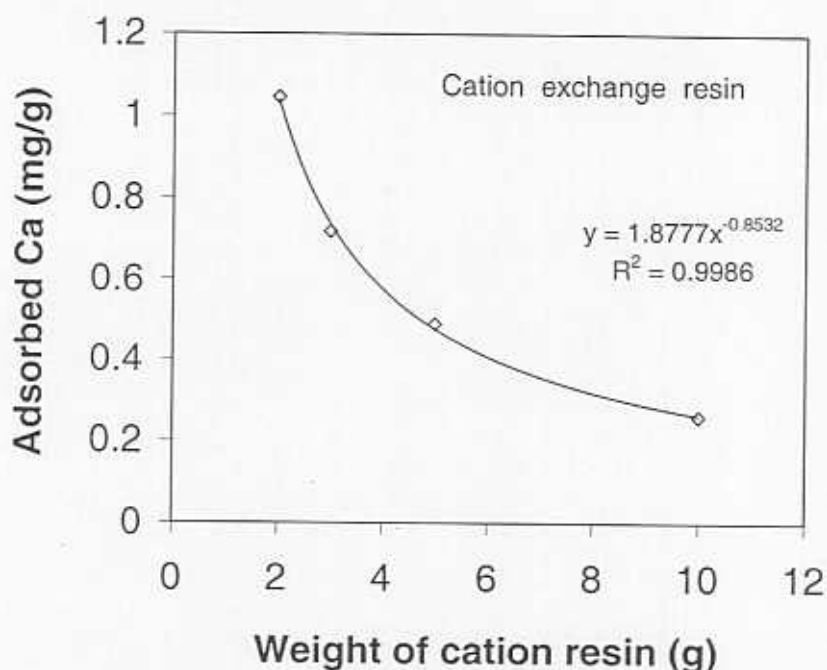
$C_{Ca,e}$ เท่ากับความเข้มข้นของแคลเซียม เวลาใด ๆ

V_{sample} เท่ากับปริมาตรของน้ำตัวอย่างที่ใช้

$W_{cation\ resin,s}$ เท่ากับปริมาณของสารเรชั่นประจุบวกที่ใช้

ผลการทดลองพบว่าความสามารถในการกำจัดแคลเซียมมีค่าน้อยลงเมื่อปริมาณของสารเรชั่นประจุบวกมีค่าเพิ่มมากขึ้น ความสามารถในการกำจัดแคลเซียมโดยเฉลี่ยมีค่าเท่ากับ 1.05 มิลลิกรัมต่อกิโลกรัม 0.718 มิลลิกรัมต่อกิโลกรัม 0.489 มิลลิกรัมต่อกิโลกรัม และ 0.261 มิลลิกรัมต่อกิโลกรัม สำหรับปริมาณของสารเรชั่นประจุบวกเท่ากับ 2 กรัม 3 กรัม 5 กรัม และ 10 กรัม ตามลำดับ

ภาพที่ 4.13 แสดงความสัมพันธ์ระหว่างความสามารถในการกำจัดแคลเซียมและปริมาณของสารเรชั่นประจุบวก จุดที่ได้จากการเป็นข้อมูลจริงที่คำนวณจากค่าเฉลี่ยของการศูนย์ซับของ



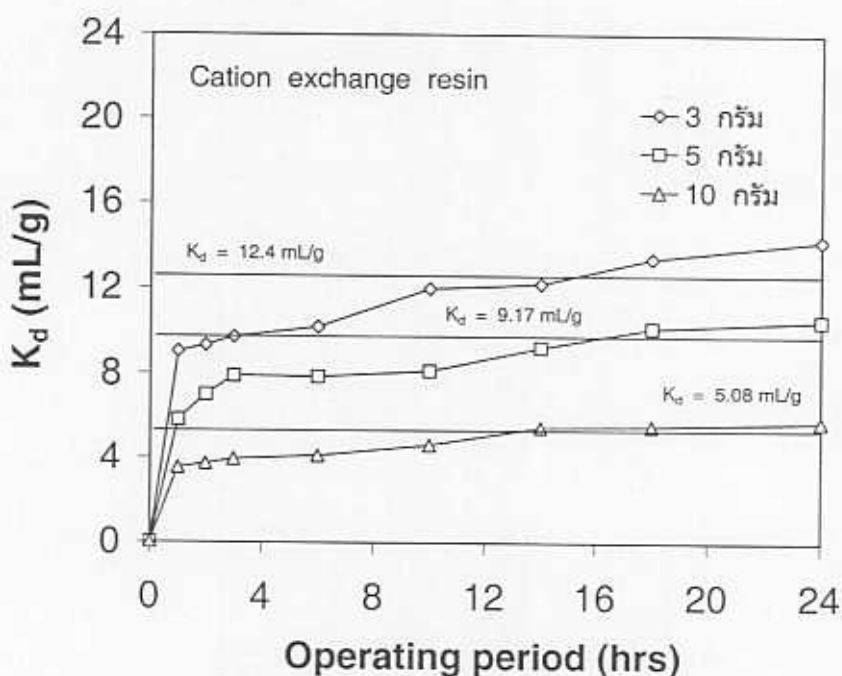
ภาพที่ 4.13 ความสามารถในการกำจัดแคลเซียมตามปริมาณของสารเรชั่นประจุบวก

แคลเซียม ส่วนเด่น โค้งแสดงความสัมพันธ์ระหว่างความสามารถในการกำจัดแคลเซียมและปริมาณของสารเรชั่นประจุบวก โดยมีค่าความสัมพันธ์ก่อนข้างสูง (ค่า r^2 ประมาณ 0.9986) เทียบเป็นสมการความสัมพันธ์ดังนี้

$$\text{Adsorbed Ca} = 1.8777 \times W_{cation\ resin,s}^{-0.8522}; \quad r^2 = 0.9986$$

โดยความสามารถของการกำจัดแคลเซียมมีค่าเท่ากับของปริมาณของสารเรซินประจุบวกมีค่ามากขึ้นในช่วงปริมาณของเรซินประจุบวกจาก 2 กรัมถึง 10 กรัม

ภาพที่ 4.14 แสดงสัมประสิทธิ์การกระจายของแคลเซียมโดยใช้สารเรซินประจุบวก ค่าสัมประสิทธิ์การกระจายของแคลเซียมโดยใช้สารเรซินประจุบวกมีแนวโน้มเพิ่มขึ้นตามระยะเวลา การทดสอบ ทั้งที่ค่าความสามารถของการกำจัดแคลเซียมมีค่าต่ำลงคงที่ การเพิ่มขึ้นของสัมประสิทธิ์ การกระจายอาจเนื่องจากผลของการเพิ่มขึ้นของแคลเซียมที่ไม่เข้าสู่สภาวะคงที่ (โดยเฉพาะ



ภาพที่ 4.14 สัมประสิทธิ์การกระจายของแคลเซียมโดยใช้สารเรซินประจุบวก

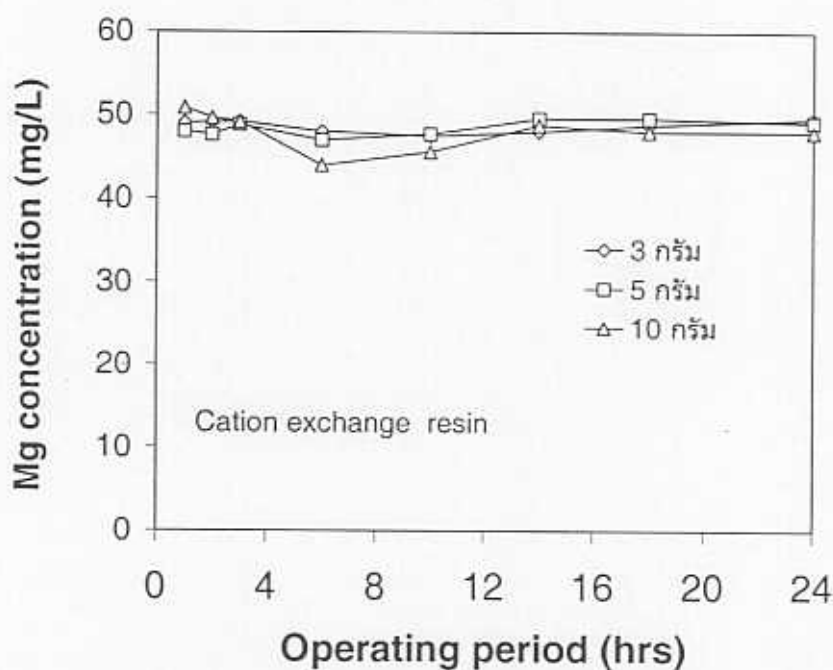
ปริมาณ 3 และ 5 กรัม) โดยสมการที่ใช้ในการคำนวณสัมประสิทธิ์การกระจายของแคลเซียม ($K_{d,Ca}$) แสดงได้ดังนี้

$$K_{d,Ca} = \frac{(C_{Ca,o} - C_{Ca,e})}{C_{Ca,e}} \times \frac{V_{sample}}{W_{cation\ res.in.s}}$$

โดยที่ $K_{d,Ca}$ เท่ากับสัมประสิทธิ์การกระจายของแคลเซียม มีหน่วยเป็นมิลลิลิตรต่อกิโลกรัม (mL/g)

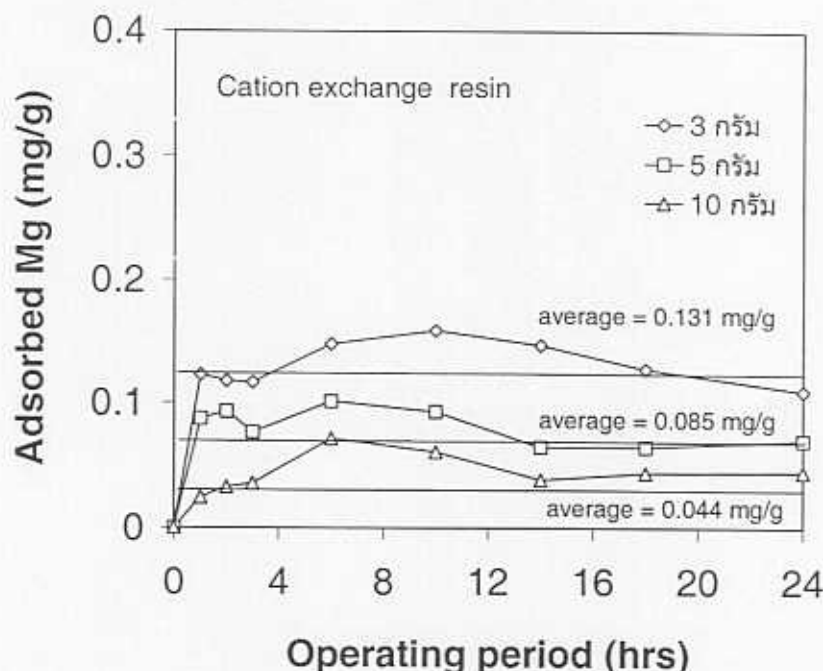
ท่าสัมประสิทธิ์การกระจายของแคลเซียม โดยใช้สารเรซินประจุบวกมีค่าเท่ากับ 12.4 มิลลิลิตรต่อกรัม 9.17 มิลลิลิตรต่อกรัม และ 5.08 มิลลิลิตรต่อกรัม สำหรับปริมาณสารเรซินเท่ากับ 3 กรัม 5 กรัม และ 10 กรัม ตามลำดับ

ภาพที่ 4.15 แสดงความเข้มข้นของแมกนีเซียมตามปริมาณของสารเรซินประจุบวก ความเข้มข้นของแมกนีเซียมที่วัดได้มีค่าไม่แตกต่างกันนักตามปริมาณของสารเรซินประจุบวกและระยะเวลาการทดสอบ อาจเนื่องมาจากผลกระบวนการจับตัวระหว่างแคลเซียมและแมกนีเซียม ทำให้เกิดการแข่งขันระหว่างสารที่มีต่อสารเรซินประจุบวก แคลเซียมถูกจัดว่าเป็นสารที่มีลำดับความชอบต่อสารเรซินประจุบวกมากกว่าแมกนีเซียม (นันสิน ดับจุลเวศน์ 2538; ไชศาล วิรกิจ 2545; Clifford, D.A., 1990) ดังนั้นการจับตัวของแคลเซียมสามารถจับตัวได้มากกว่าแมกนีเซียม และส่งผลต่อกำไรความเข้มข้นของแมกนีเซียมดังแสดงในรูปกราฟ ความเข้มข้นของแมกนีเซียมต่ำสุดของแต่ละปริมาณของสารเรซินประจุบวกพบว่าเกิดขึ้นระหว่างการทดสอบแบบ "ไม่นิ่ง" สำหรับปริมาณสารเรซินประจุบวกที่ 10 กรัม พบร่วมกับความเข้มข้นของแมกนีเซียมวัดได้มีค่าต่ำสุดเท่ากับ 44 มิลลิกรัมต่อลิตร ณ เวลาประมาณ 6 ชั่วโมงหลังเริ่มดำเนินการทดสอบ



ภาพที่ 4.15 ความเข้มข้นของแมกนีเซียมตามปริมาณของสารเรซินประจุบวก

ภาพที่ 4.16 แสดงความสามารถในการกำจัดแมกนีเซียมตามระยะเวลาการทดสอบ จากผลการทดสอบพบว่าความสามารถในการกำจัดแมกนีเซียมเกิดจากการจับตัวของแมกนีเซียมต่อสารเร

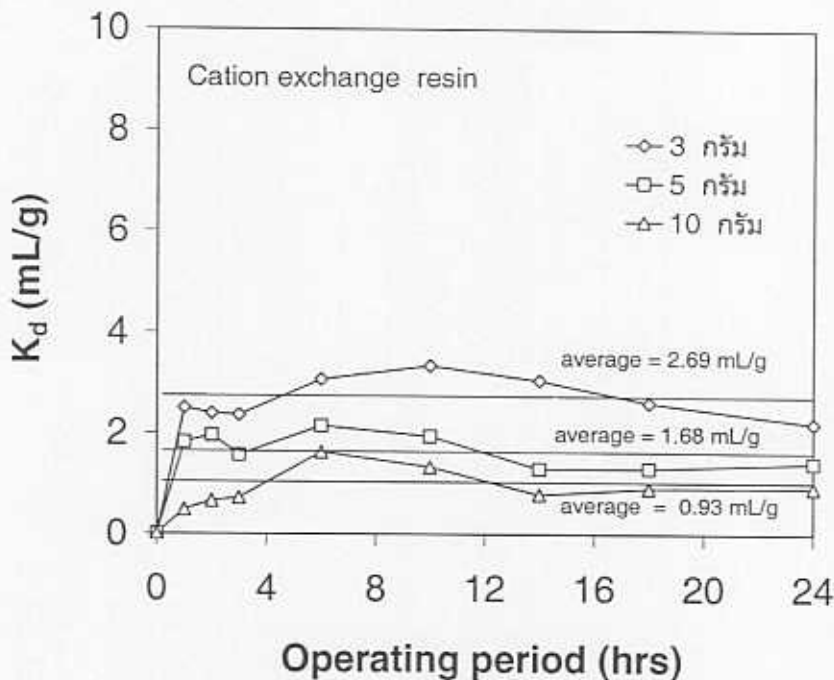


ภาพที่ 4.16 ความสามารถการกำจัดแมกนีเซียมตามระยะเวลาการทดสอบ

ขั้นประจุบวก ค่าความสามารถการกำจัดแมกนีเซียมโดยเฉลี่ยมีค่าเท่ากับ 0.131 มิลลิกรัมต่อกิรัม 0.085 มิลลิกรัมต่อกิรัม และ 0.044 มิลลิกรัมต่อกิรัม สำหรับปริมาณของสารเรซิ่นประจุบวกเท่ากับ 3 กรัม 5 กรัม และ 10 กรัม ตามลำดับ ค่าการจับตัวของแคลเซียมมีค่ามากในช่วงกลางของการทดสอบเนื่องจากผลของการเพิ่มขึ้นของแมกนีเซียมที่วัดได้น้อยในช่วงกลางของการทดสอบแบบ "ไม่ต่อเนื่อง"

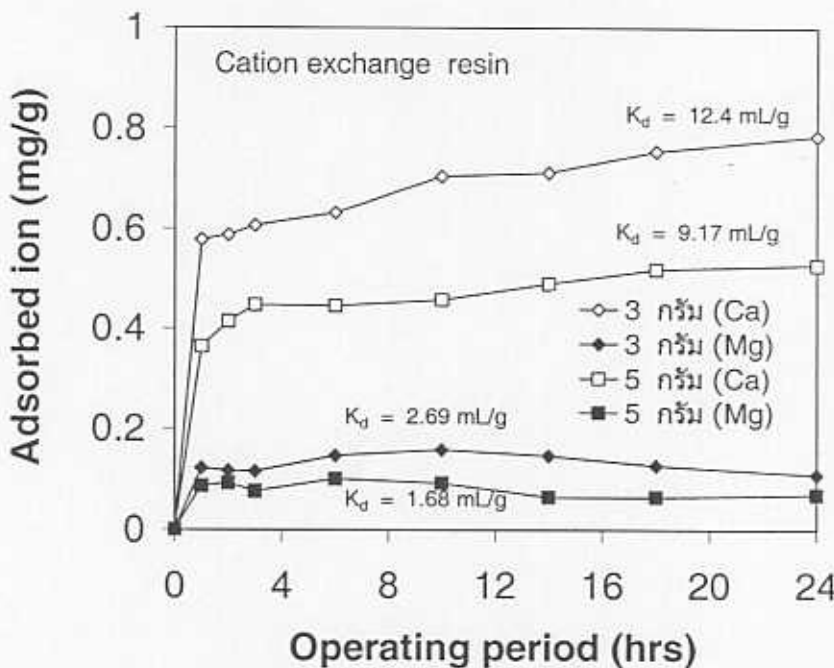
ภาพที่ 4.17 แสดงสัมประสิทธิ์การกระจายของแมกนีเซียมโดยใช้สารเรซิ่นประจุบวก จากกราฟพบว่าค่าสัมประสิทธิ์การกระจายของแมกนีเซียมโดยใช้สารเรซิ่นประจุบวกมีค่าน้อยลงตามปริมาณของสารเรซิ่นประจุบวก ค่าสัมประสิทธิ์การกระจายของแมกนีเซียมมีค่าเฉลี่ยเท่ากับ 2.69 มิลลิลิตรต่อกิรัม 1.68 มิลลิลิตรต่อกิรัม และ 0.93 มิลลิลิตรต่อกิรัม สำหรับปริมาณของสารเรซิ่นประจุบวกเท่ากับ 3 กรัม 5 กรัม และ 10 กรัม ตามลำดับ

ภาพที่ 4.18 แสดงความสามารถในการกำจัดไอออนโดยสารเรซิ่นประจุบวก จากกราฟพบว่าความสามารถในการกำจัดแคลเซียมมีค่าสูงกว่าแมกนีเซียมเนื่องจากความสามารถในการจับตัวของแคลเซียมที่ดีกว่าแมกนีเซียม ความสามารถในการจับตัวของแคลเซียมขึ้นไปในระดับสูงขึ้นเมื่อเทียบกับความสามารถในการจับตัวของแมกนีเซียมโดยสังเกตจากการทดสอบหลัง 24



ภาพที่ 4.17 สัมประสิทธิ์การกระจายของแมกนีเซียมโดยใช้สารเรชินประจำวัน

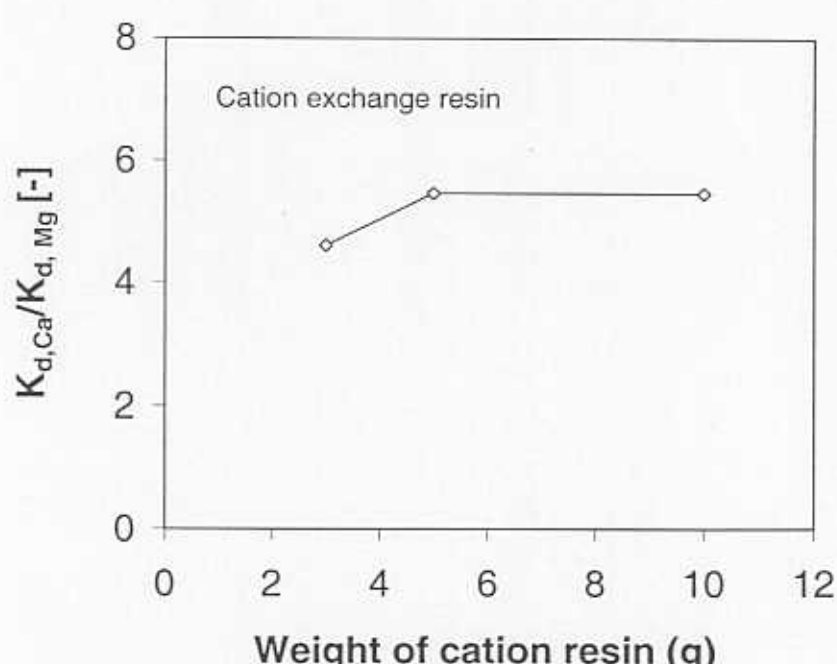
ข้อโน้ต ค่าความสามารถในการกำจัดของเกลเชี่ยมบังส่งผลต่อค่าสัมประสิทธิ์การกระจายของแมกนีเซียมที่มีค่ามากกว่าค่าสัมประสิทธิ์การกระจายของแมกนีเซียมโดยใช้สารเรชินประจำวัน



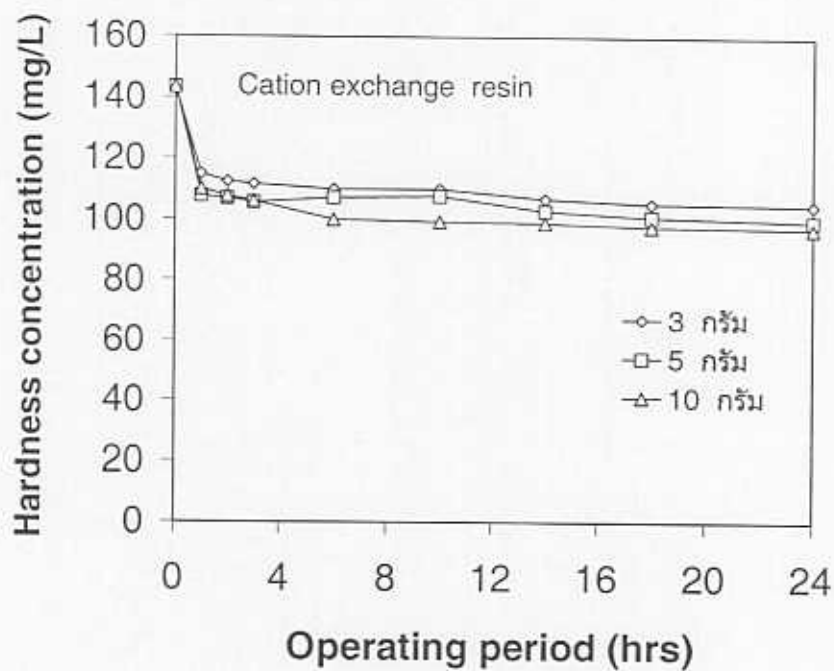
ภาพที่ 4.18 ความสามารถในการกำจัดไอออนโดยสารเรชินประจำวัน

ภาพที่ 4.19 แสดงอัตราส่วนของสัมประสิทธิ์การกรราชายระหว่างแคลเซียมและแมกนีเซียม จากกราฟแสดงว่าค่าอัตราส่วนของสัมประสิทธิ์การกรราชายระหว่างแคลเซียมและแมกนีเซียมมีค่ามากขึ้นตามปริมาณของสารเรซิ่นประจุบวกและเข้าสู่สภาวะคงที่เมื่อปริมาณของสารเรซิ่นประจุบวกมีค่าเท่ากับ 10 กรัม ค่าอัตราส่วนของสัมประสิทธิ์การกรราชายระหว่างแคลเซียมและแมกนีเซียมมีค่าเท่ากับ 4.61 5.46 และ 5.46 สำหรับปริมาณของสารเรซิ่นประจุบวกเท่ากับ 3 กรัม 5 กรัม และ 10 กรัม ตามลำดับ อย่างไรก็ตามผลกระบวนการของความเข้มข้นของแคลเซียมและแมกนีเซียมควรจะถูกตรวจสอบกับค่าสัมประสิทธิ์ของการกรราชยนี้ออกจากน้ำ ตัวอย่างที่ใช้ทดสอบมีความเข้มข้นของแคลเซียมและแมกนีเซียมที่แตกต่างกัน อาจส่งผลต่อค่าสัมประสิทธิ์การกรราชายของแคลเซียมและแมกนีเซียมโดยใช้สารเรซิ่นประจุบวก

ความกระต้างของน้ำก็จากองค์ประกอบส่วนใหญ่ของแคลเซียมและแมกนีเซียม การกำจัดความกระต้างของน้ำสามารถทำได้โดยใช้สารเรซิ่นประจุบวก ภาพที่ 4.20 แสดงความเข้มข้นของความกระต้างตามปริมาณของสารเรซิ่นประจุบวก จากกราฟพบว่าความเข้มข้นของความกระต้างของน้ำมีค่าลดลงเล็กน้อยตามปริมาณของสารเรซิ่นประจุบวกที่เพิ่มขึ้นจาก 3 กรัม ถึง 10 กรัม ความเข้มข้นของความกระต้างลดลงจาก 143.3 มิลลิกรัมต่อลิตรถึงความเข้มข้นต่ำสุดประมาณ 97.2 มิลลิกรัมต่อลิตร (ประมาณ 32.2% สำหรับการกำจัด) โดยใช้ปริมาณสารเรซิ่นประจุบวกเท่ากับ 10 กรัม

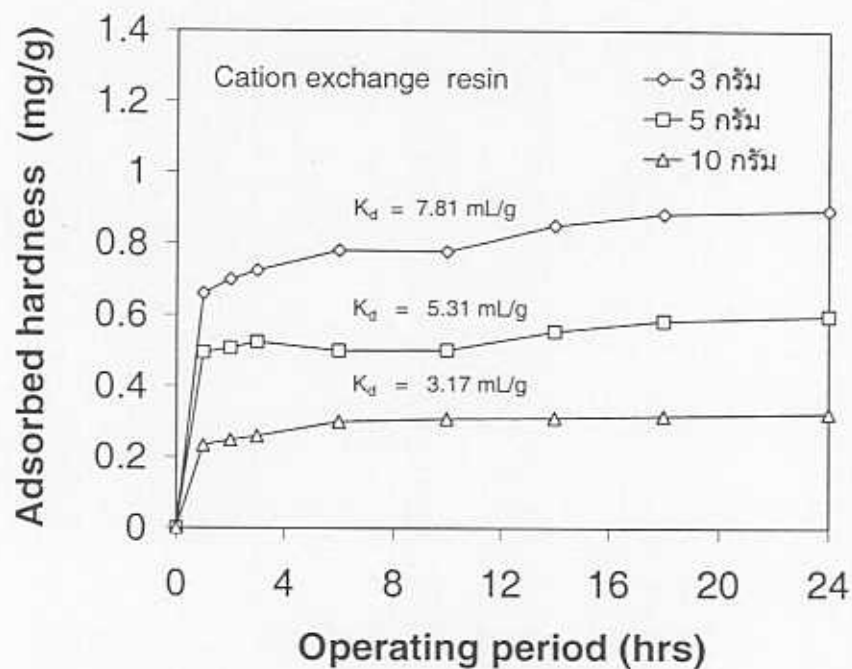


ภาพที่ 4.19 อัตราส่วนของสัมประสิทธิ์การกรราชายระหว่างแคลเซียมและแมกนีเซียม



ภาพที่ 4.20 ความเข้มข้นของความกระด้างตามปริมาณของสารเรชินประจำวัน

ภาพที่ 4.21 แสดงความสามารถในการกำจัดความกระด้างโดยสารเรชินประจำวัน จากกราฟพบว่าการจับด้วยสารแคดเซียมกับแมgnีเซียมในองค์ประกอบของความกระด้างของน้ำมี



ภาพที่ 4.21 ความสามารถในการกำจัดความกระด้างโดยสารเรชินประจำวัน

ค่าสอดคล้องกับปริมาณของสารเรชินประจุบวกที่มีค่าเพิ่มขึ้น ค่าความสามารถในการกำจัดความกระด้างมีค่าเท่ากับ 0.837 มิลลิกรัมต่อกรัม 0.548 มิลลิกรัมต่อกรัมและ 0.313 มิลลิกรัมต่อกรัม สำหรับปริมาณสารเรชินประจุบวกเท่ากับ 3 กรัม 5 กรัม และ 10 กรัม ตามลำดับ นอกจากนี้ยังพบว่า ค่าความสามารถในการกำจัดความกระด้างของน้ำยังมีแนวโน้มในทิศทางเดียวกันกับค่าสัมประสิทธิ์การกระจายของความกระด้าง โดยที่ค่าสัมประสิทธิ์การกระจายของความกระด้างมีค่าเท่ากับ 7.81 มิลลิลิตรต่อกรัม 5.31 มิลลิลิตรต่อกรัมและ 3.17 มิลลิลิตรต่อกรัม สำหรับปริมาณสารเรชินประจุบวกเท่ากับ 3 กรัม 5 กรัม และ 10 กรัม ตามลำดับ จะสังเกตว่าค่าความสามารถในการกำจัดความกระด้างและค่าสัมประสิทธิ์การกระจายของความกระด้างมีค่าอยู่ระหว่างค่าที่ได้จากแกลเชี่ยนและแมกนีเซียมตามปริมาณของสารเรชินประจุบวกที่ใช้ ตารางที่ 4.3 แสดงประสิทธิภาพการกำจัดโดยสารเรชินประจุบวก จากตารางเปอร์เซ็นต์การกำจัดของสารมีค่าเพิ่มขึ้น

ตารางที่ 4.3 ประสิทธิภาพการกำจัดโดยสารเรชินประจุบวก

ชนิด	% กำจัด	q (mg/g)	K _d (mL/g)
แกลเชี่ยน			
3 กรัม	35.73	0.718	12.4
5 กรัม	40.67	0.489	9.17
10 กรัม	43.15	0.261	5.08
แมกนีเซียม			
3 กรัม	10.65	0.131	2.69
5 กรัม	10.46	0.081	1.68
10 กรัม	13.66	0.044	0.93
ความกระด้าง			
3 กรัม	25.08	0.837	7.81
5 กรัม	27.70	0.548	5.31
10 กรัม	31.22	0.313	3.17

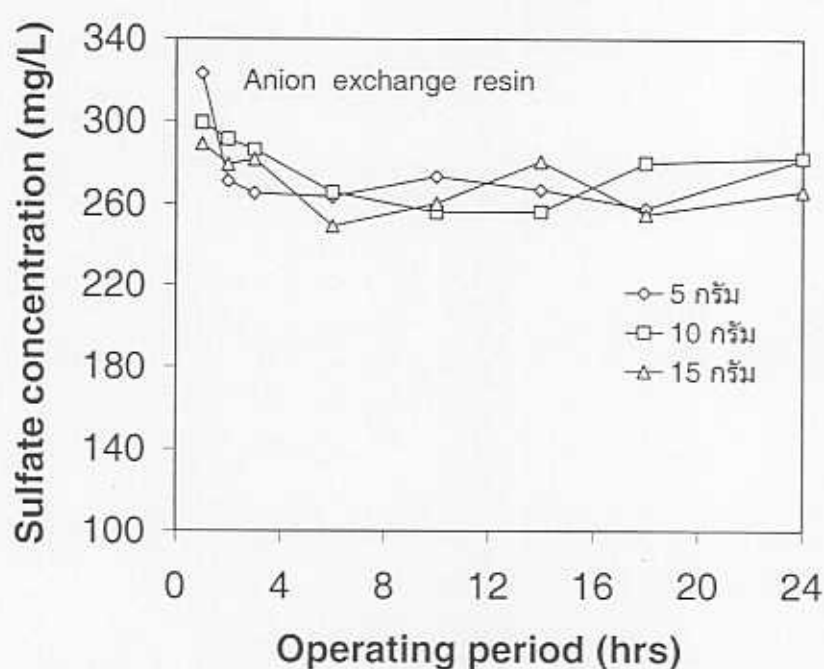
ตามปริมาณของสารเรชินประจุบวกที่ใช้ ส่วนความสามารถในการกำจัดสารและค่าสัมประสิทธิ์การกระจายมีค่าน้อยลงตามปริมาณของสารเรชินประจุบวก เปอร์เซ็นต์การกำจัดแกลเชี่ยนมีค่าสูงสุดเมื่อเทียบกับเปอร์เซ็นต์การกำจัดของความกระด้างของน้ำและแมกนีเซียม โดยที่แมกนีเซียมให้ค่าเปอร์เซ็นต์การกำจัดค่อนข้างต่ำ การคำนวณเปอร์เซ็นต์การกำจัดนั้นมีสัดส่วนโดยตรง

กับค่าสัมประสิทธิ์การกระจายของสาร

ตามลำดับของสาร ได้แก่ แคลเซียม ความกระด้างของน้ำ และแมgnีเซียม ซึ่งมีแนวโน้มหนึ่งกันกับค่าปอร์เซ็นต์การกำจัดสาร ส่วนค่าสัมประสิทธิ์การกระจายมีสัดส่วนมากกับปริมาณสารเรซิ่นประจุบวก โดยที่ค่าสัมประสิทธิ์การกระจายมีค่าขึ้นอย่างลดลงตามการเพิ่มขึ้นของปริมาณสารเรซิ่นประจุบวกจาก 3 กรัม 5 กรัม และ 10 กรัม ตามลำดับ

4.2.4 การกำจัดซัลเฟตและไนเตรตโดยใช้สารเรซิ่นประจุลบ

เรซิ่นประจุลบสามารถใช้กำจัดซัลเฟตและไนเตรตที่เป็นสารที่มีประจุลบในตัว การกำจัดประจุลบเกิดขึ้นเนื่องจากการแลกเปลี่ยนระหว่างประจุลบ (คลอไรด์) ในสารเรซิ่นประจุลบกับสารที่มีประจุลบได้แก่ ซัลเฟตและไนเตรต เป็นต้น ภาพที่ 4.22 แสดงความเข้มข้นของซัลเฟตตามปริมาณของสารเรซิ่นประจุลบ จากกราฟพบว่าความเข้มข้นของซัลเฟตมีค่าลดลงตามปริมาณของ



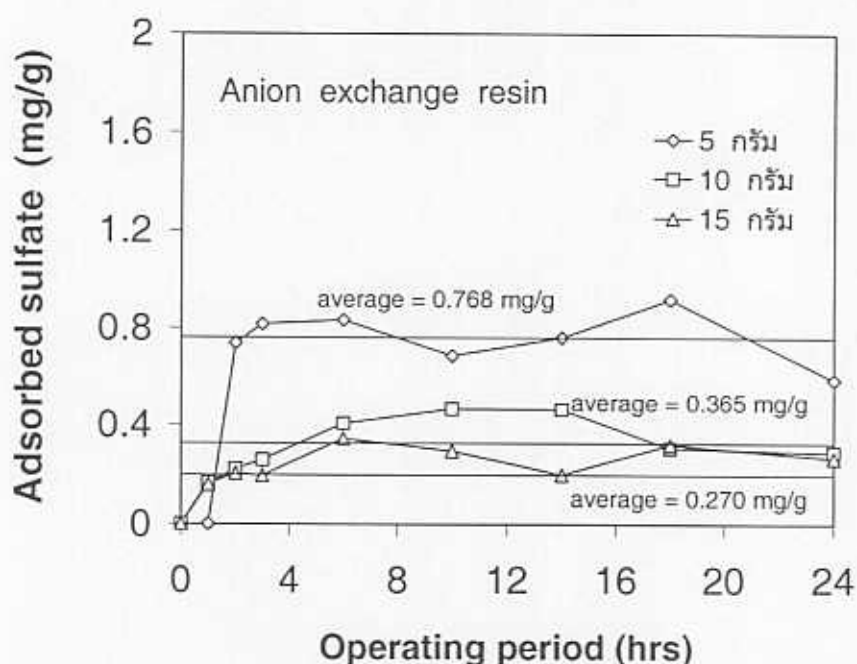
ภาพที่ 4.22 ความเข้มข้นของซัลเฟตตามปริมาณของสารเรซิ่นประจุลบ

สารเรซิ่นประจุลบ โดยเฉพาะปริมาณหนักที่ 10 กรัม อย่างไรก็ตามค่าที่วัดได้มีค่าไม่คงที่ตามปริมาณของสารเรซิ่นประจุลบที่มีค่าเพิ่มขึ้น ความเข้มข้นของซัลเฟตหลังผ่านสารเรซิ่นประจุลบมีค่าค่อนข้างสูง โดยค่าที่วัดได้สูงกว่ามาตรฐานคุณภาพน้ำดื่มในภาคตะวันออกเฉียงเหนือที่ปีกสนธิที่กำหนดไว้ประมาณ 250 มิลลิกรัมต่อลิตรตามปริมาณสารเรซิ่นประจุลบที่ใช้ในการทดสอบแบบใหม่ ค่อนข้าง อย่างไรก็ตามสารเรซิ่นประจุลบที่ควรใช้ทดสอบควรมีปริมาณหนักที่มากกว่าที่ใช้

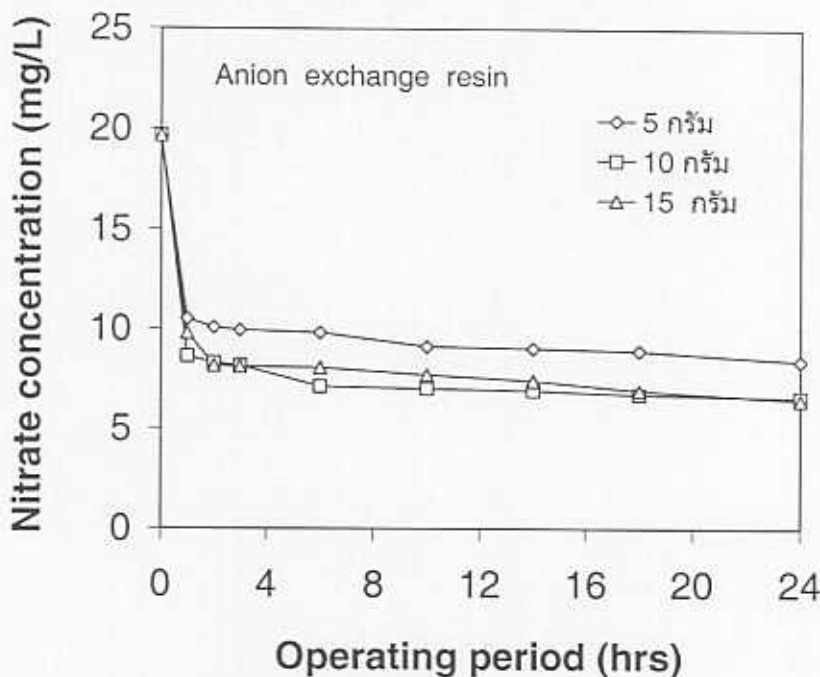
ทดสอบในการทดลองนี้เพื่อศึกษาถึงประสิทธิภาพของสารเรชินประจุลบเพื่อใช้ในการกำจัดซัลเฟตที่มีค่าสูงสำหรับน้ำดื้ออย่างนี้ อย่างไรก็ตามความเข้มข้นของซัลเฟตที่มีค่าลดลงค่อนข้างน้อยอาจเนื่องมาผลกระทบของความเข้มข้นของสารนิกอินที่มีอยู่ในองค์ประกอบของน้ำเช่น ในเครดเป็นต้น

ภาพที่ 4.23 แสดงความสามารถในการกำจัดซัลเฟตโดยสารเรชินประจุลบ จากภาพพบว่าความสามารถในการกำจัดซัลเฟตมีค่าน้อยลงตามปริมาณการเพิ่มขึ้นของสารเรชินประจุลบ ค่าที่คำนวณได้มีค่าไม่คงที่เนื่องจากผลของความเข้มข้นที่มีค่าไม่คงที่ตามระยะเวลาของการทดสอบความสามารถในการกำจัดซัลเฟตเนื่องจากการแลกเปลี่ยนประจุโดยใช้สารเรชินประจุลบมีค่าเท่ากับ 0.768 มิลลิกรัมต่ogrัม 0.365 มิลลิกรัมต่ogrัมและ 0.270 มิลลิกรัมต่ogrัม สำหรับปริมาณสารเรชินประจุลบเท่ากับ 5 กรัม 10 กรัม และ 15 กรัมตามลำดับ ส่วนประสิทธิภาพการกำจัดซัลเฟตเท่ากับ 17.1% 16.1% และ 17.9% สำหรับปริมาณสารเรชินประจุลบเท่ากับ 5 กรัม 10 กรัม และ 15 กรัมตามลำดับ

ภาพที่ 4.24 แสดงความเข้มข้นของไนเตรตตามปริมาณของสารเรชินประจุลบ จากภาพพบว่าความเข้มข้นของไนเตรตมีค่าน้อยลงตามปริมาณสารเรชินประจุลบ อย่างไรก็ตามความ



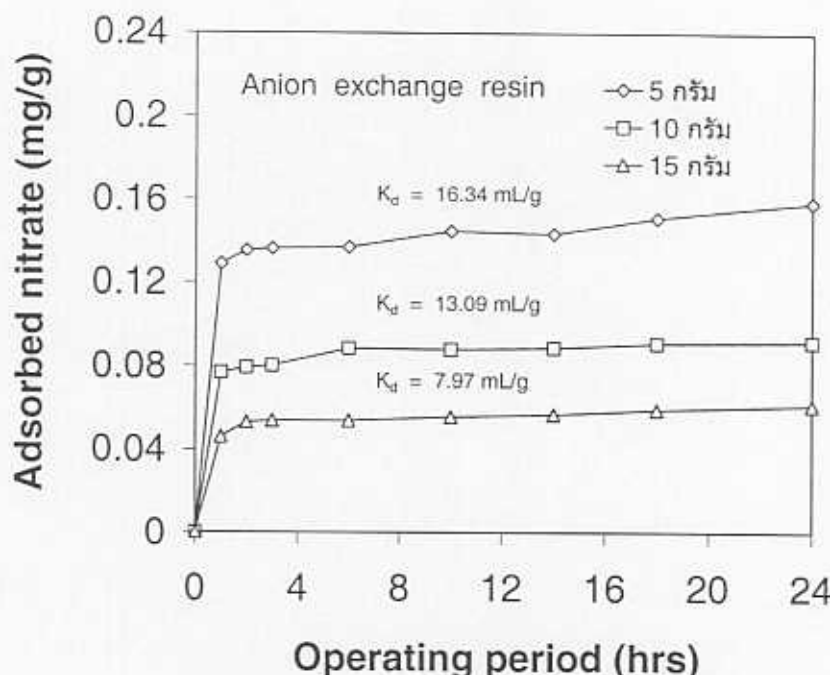
ภาพที่ 4.23 ความสามารถในการกำจัดซัลเฟตโดยสารเรชินประจุลบ



ภาพที่ 4.24 ความเข้มข้นของไนเตรตตามปริมาณของสารเรชั่นประจุลบ

เห็นขั้นของไนเตรตที่ปริมาณสารเรชั่นประจุลบเท่ากับ 10 กรัมและ 15 กรัมนี้ค่าไม่แตกต่างกันนัก ส่วนประสิทธิภาพการกำจัดไนเตรตเท่ากับ 54.0% 65.1% และ 62.8% (โดยความเข้มข้นเริ่มด้านหลังเท่ากับ 19.64 มิลลิกรัมต่อลิตร) สำหรับปริมาณสารเรชั่นประจุลบเท่ากับ 5 กรัม 10 กรัมและ 15 กรัม ความล้าดับ ความเข้มข้นของไนเตรตโดยเฉลี่ยสำหรับปริมาณสารเรชั่นประจุลบเท่ากับ 5 กรัม 10 กรัมและ 15 กรัม เท่ากับ 9.04 มิลลิกรัมต่อลิตร 6.86 มิลลิกรัมต่อลิตรและ 7.30 มิลลิกรัมต่อลิตร ความล้าดับ ซึ่งมีค่าเกินมาตรฐานคุณภาพน้ำดื่มในภาชนะบรรจุที่ปิดสนิทที่กำหนดไว้เท่ากับ 4 มิลลิกรัมต่อลิตร

ภาพที่ 4.25 แสดงความสามารถในการกำจัดไนเตรต โดยสารเรชั่นประจุลบ ความสามารถในการกำจัดไนเตรตโดยสารเรชั่นประจุลบมีค่าน้อยลงตามปริมาณการเพิ่มขึ้นของสารเรชั่นประจุลบ ความสามารถในการกำจัดไนเตรตมีค่าเท่ากับ 0.147 มิลลิกรัมต่อลิตร 0.09 มิลลิกรัมต่อลิตร และ 0.058 มิลลิกรัมต่อลิตร สำหรับปริมาณสารเรชั่นประจุลบเท่ากับ 5 กรัม 10 กรัมและ 15 กรัม ความล้าดับ ค่าความสามารถในการกำจัดไนเตรตมีแนวโน้มเหมือนกันกับค่าสัมประสิทธิ์การกระจายของไนเตรต โดยที่ค่าสัมประสิทธิ์การกระจายของไนเตรตมีค่าน้อยลงตามปริมาณที่เพิ่มขึ้นของสารเรชั่นประจุลบ ค่าสัมประสิทธิ์การกระจายของไนเตรตมีค่าเท่ากับ 16.34 มิลลิลิตรต่อกิโลกรัม 13.09 มิลลิลิตรต่อกิโลกรัมและ 7.97 มิลลิลิตรต่อกิโลกรัมสำหรับปริมาณสารเรชั่นประจุลบเท่ากับ 5 กรัม 10 กรัมและ 15 กรัม ความล้าดับ



ภาพที่ 4.25 ความสามารถในการกำจัดในเตρคโดยสารเรชั่นประจุลบ

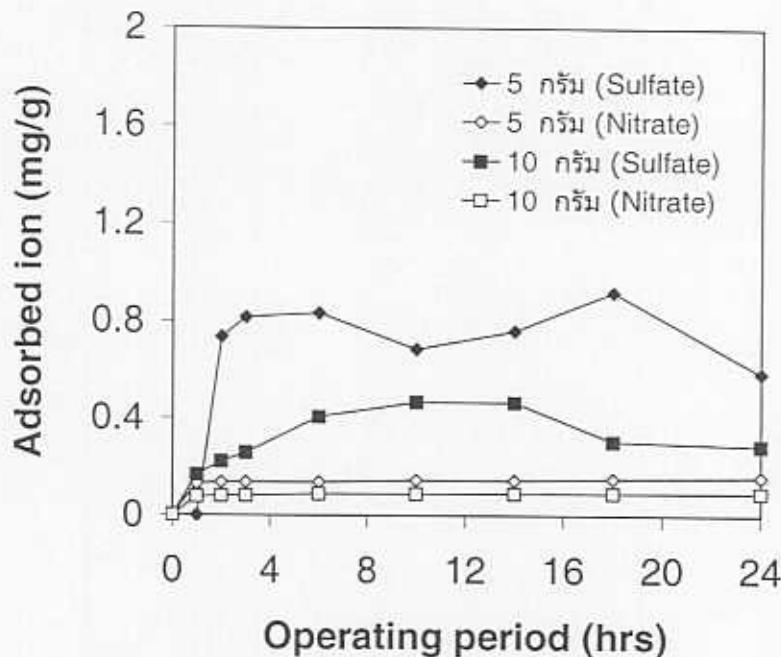
ภาพที่ 4.26 แสดงความสามารถในการกำจัดสารเรชั่นประจุลบ ความสามารถในการกำจัดซัลเฟตมีค่ามากกว่าความสามารถในการกำจัดในเตρค อาจเนื่องมาจากผลของซัลเฟตที่มีประจุสูงกว่าสามารถจับด้วยกันสารเรชั่นประจุลบได้ดีกว่าในเตρคที่มีประจุเพียงหนึ่งบวกตามลำดับความชอบในการจับด้วยกันสารเรชั่นประจุลบ (มั่นสิน ดันดุลเวศน์ 2538; ไฟศาล วีรภิ 2545; Clifford, D.A., 1990) อย่างไรก็ตามค่าสัมประสิทธิ์การกระจายของซัลเฟต (ข้อมูลไม่ได้ถูกแสดง) มีค่าน้อยกว่าค่าสัมประสิทธิ์การกระจายของในเตρคเนื่องจากผลของการเข้มข้นที่เริ่มต้นที่ไม่เท่ากัน โดยความเข้มข้นเริ่มต้นและสุดท้ายของซัลเฟตที่วัดได้หลังเวลา ๑ จะมีค่าสูงกว่าความเข้มข้นของในเตρค ส่งผลให้ค่าสัมประสิทธิ์การกระจายของซัลเฟตมีค่าน้อยกว่าค่าสัมประสิทธิ์การกระจายของในเตρค โดยสมการแสดงการคำนวณค่าสัมประสิทธิ์การกระจายแสดงเป็นสมการได้ดังนี้

$$K_{d,ion} \left(\frac{mL}{g} \right) = \frac{q_{ion} (mg/g)}{C_{ion,e} (mg/L)} \times 1000$$

โดยที่ $K_{d,ion}$ เท่ากับสัมประสิทธิ์การกระจายของไอออน มีหน่วยเป็นมิลลิตรต่อกิรัม (mL/g)

q_{ion} เท่ากับความสามารถการกำจัด ไอออน มีหน่วยเป็นมิลลิกรัมต่อกิรัม (mg/g)

$C_{ion,e}$ เท่ากับความเข้มข้นของไอออน มีหน่วยเป็นมิลลิกรัมต่อลิตร (mg/L)



ภาพที่ 4.26 ความสามารถในการกำจัดโซเดียมโดยสารเรซิ่นประจุลบ

4.3 ผลและการวิเคราะห์การทดลองแบบต่อเนื่อง

การทดสอบแบบต่อเนื่องเป็นการทดสอบเพื่อหาประสิทธิภาพการกำจัดของไนเตรตที่พบมากในน้ำได้ดีและมีผลต่อโดยตรงต่อสุขภาพมนุษย์ ส่วนการทดสอบนี้จะใช้สารเรซิ่นประจุลบที่มีน้ำหนักประมาณ 5 กรัมโดยน้ำด้าวอย่างจะถูกปั๊มเข้าสู่ทางเข้า collomn ด้านบน และออกจาก collomn ด้านล่าง น้ำที่ผ่านการบำบัดแล้วจะถูกวัดปริมาตรและเก็บด้าวอย่างไวเพื่อนำมาวิเคราะห์หาปริมาณไนเตรตที่หลงเหลือ

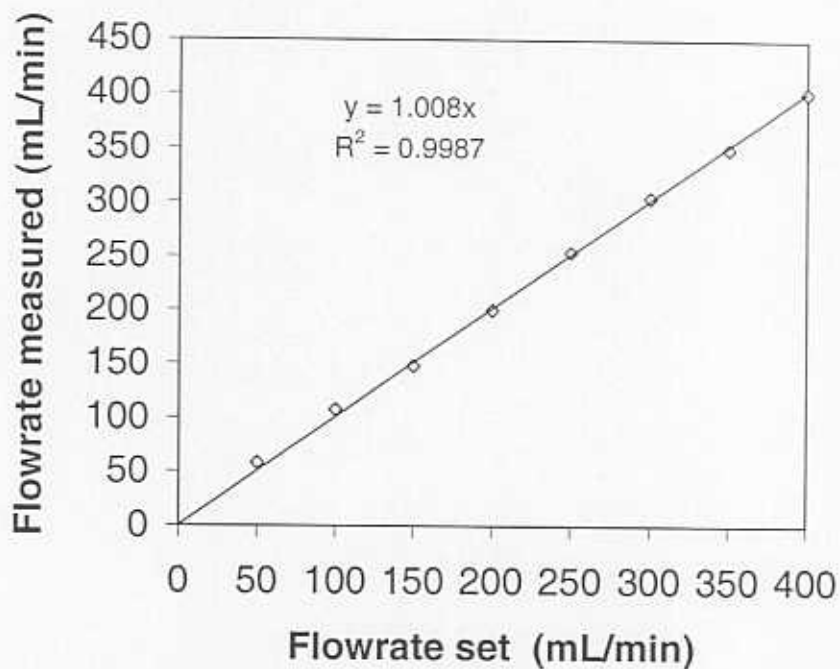
อัตราการไหลของน้ำด้าวอย่างก็มีความสำคัญต่อการกำจัดสารไนเตรตในน้ำ โดยอัตราการไหลของน้ำถูกควบคุมโดยปั๊ม peristaltic pump ภาพที่ 4.27 แสดงการปรับอัตราการไหลของปั๊ม (peristaltic pump) ในการทดสอบการกำจัดไนเตรตโดยใช้เรซิ่นประจุลบ จากกราฟอัตราการไหลที่วัดได้ (Flowrate measured) มีความสัมพันธ์ใกล้เคียงกับอัตราการไหลที่ตั้งไว้ในครื่องปั๊ม (Flowrate set) ท่ามกลางความสัมพันธ์เป็นลักษณะเส้นตรงเชิงเส้นที่มีค่า r^2 เท่ากับ 0.9987 การคำนวณอัตราการไหลที่วัดได้ สามารถแสดงเป็นสมการดังนี้

$$\text{Real flowrate (average)} = \frac{Q_{\text{input}} + Q_{\text{output}}}{2}$$

โดยที่

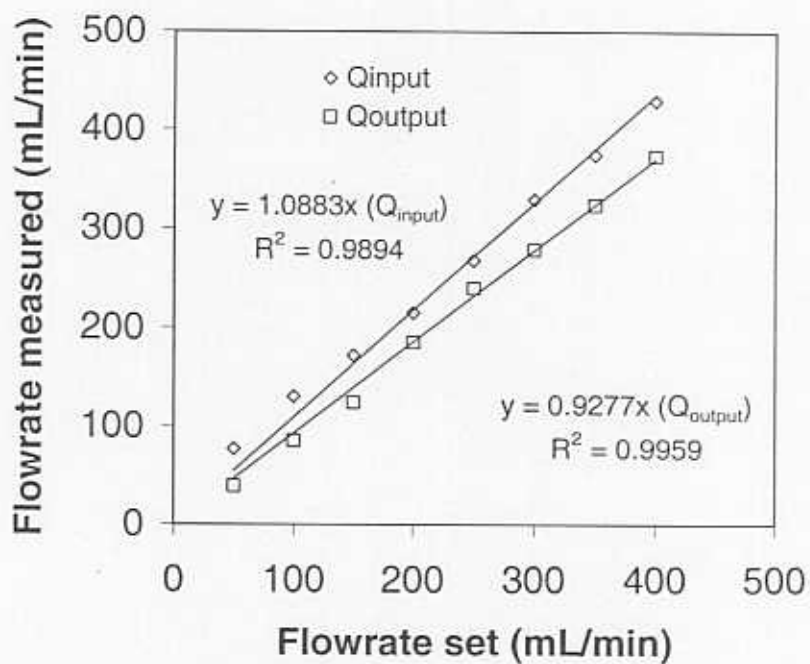
Q_{input} เท่ากับอัตราการไหลที่เข้าสู่ระบบ (mL/min)

Q_{output} เท่ากับอัตราการไหลที่ออกจากระบบ (mL/min)



ภาพที่ 4.27 การปรับอัตราการไหลของปั๊ม

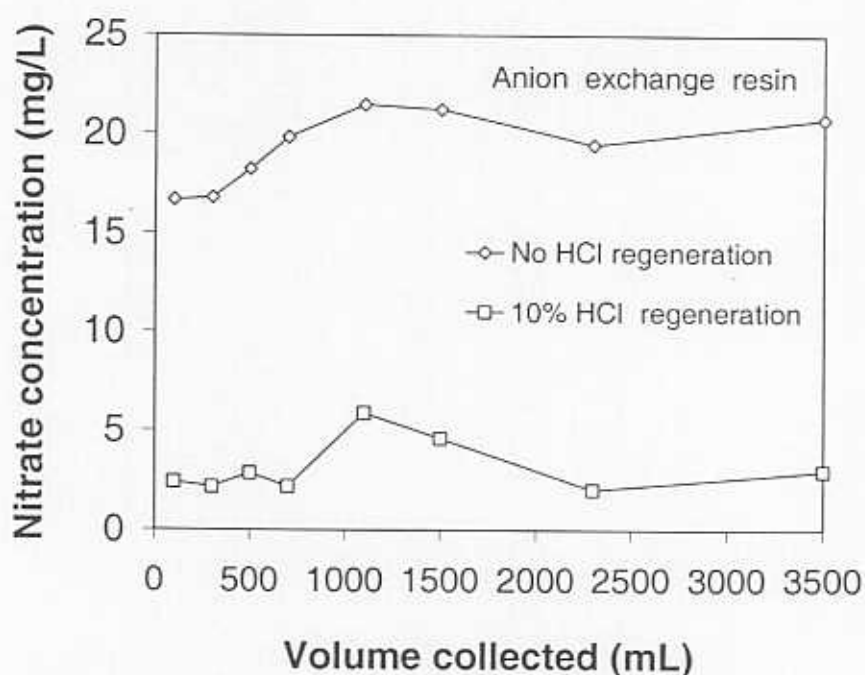
ภาพที่ 4.28 แสดงอัตราการไหลจริงที่เข้าสู่ระบบและออกจากระบบ จากกราฟพนวนาอัตราการไหลเข้าสู่ระบบมีค่ามากกว่าอัตราการไหลที่ออกจากระบบเนื่องจากผลของแรงดันที่เกิดจากเร



ภาพที่ 4.28 อัตราการไหลจริงที่เข้าสู่ระบบและออกจากระบบ

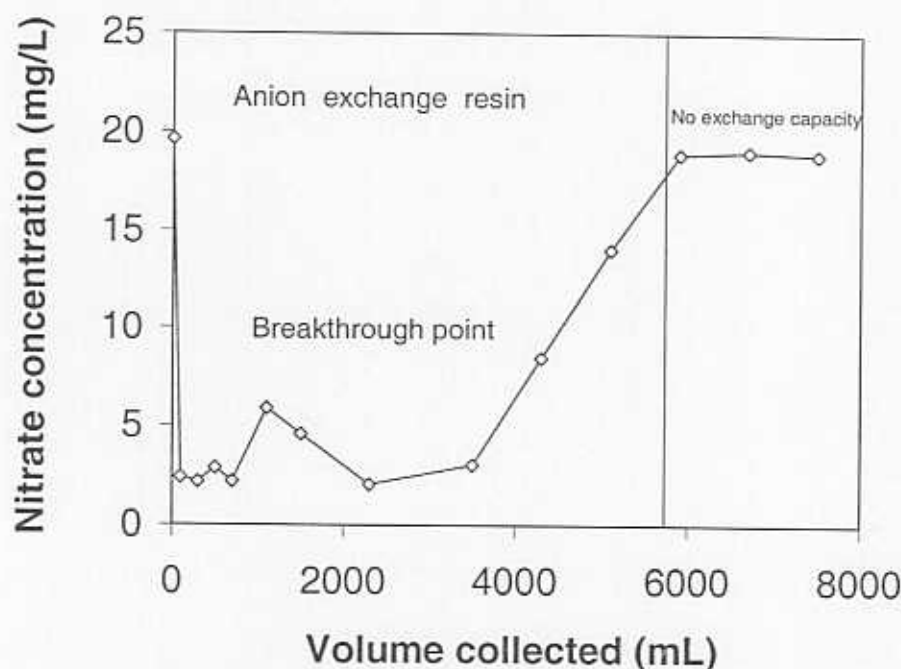
ชั้นประจุลบในคอลัมน์ส่งผลให้ค่าอัตราการไหลออกจากระบบมีก้านอ่อนลง อย่างไรก็ตามค่าเฉลี่ยที่ก้านวัดได้จากข้อมูลทั้งสองมีค่าใกล้เคียงกันค่าอัตราการไหลที่ดึงไว้ (Flowrate set) สำหรับเครื่องปั๊มแบบ peristaltic pump ตามลักษณะกราฟที่ก้าหนดไว้ในเบื้องต้น

ภาพที่ 4.29 แสดงประสิทธิภาพการล้างเรชินก่อนการทดสอบสารเรชินประจุลบ สารเรชินที่ใช้ทดสอบในคอลัมน์มีปริมาณเท่ากับ 5 กรัม และอัตราการไหลเข้าสู่ระบบเท่ากับ 30 มิลลิลิตรต่อนาที จากกราฟพบว่าสารเรชินประจุลบที่ได้จากโรงงานอุดสาหกรรมที่ซึ่งไม่ผ่านกระบวนการล้างสารเรชินด้วยความเข้มข้น 10% ของกรดไฮโดรคลอริก ไม่มีผลต่อการกำจัดในเตρคหรือไม่เกิดการแตกเปลี่ยนประจุกับสารในเตρคตามปริมาตรที่วัดได้หลังจากผ่านคอลัมน์ ทำให้ความเข้มข้นที่วัดได้มีค่าเท่ากับความเข้มข้นของในเตρคเริ่มต้นของน้ำดื่วอย่าง ความเข้มข้นของในเตρคโดยเฉลี่ยมีค่าเท่ากับ 19.32 มิลลิกรัมต่อลิตร อย่างไรก็ตามการล้างสารเรชินด้วยกรดไฮโดรคลอริกความเข้มข้น 10 % โดยปริมาตร ส่วนปริมาตรที่ใช้ในการล้างสารเรชินเท่ากับ 30 มิลลิลิตร การทดสอบพบว่าความเข้มข้นของในเตρคมีค่าลดลงอย่างมาก หลังจากที่มีการล้างสารเรชินก่อนการทดสอบกันน้ำดื่วอย่าง โดยที่ความเข้มข้นของในเตρคที่ก่อนข้างค่าตามปริมาตรที่ผ่านออกจากการคอลัมน์โดยปริมาตรรวมเท่ากับ 3,500 มิลลิลิตร (3.5 ลิตร) ส่วนความเข้มข้นที่วัดได้มีค่าโดยเฉลี่ยประมาณ 3.13 มิลลิกรัมต่อลิตรซึ่งอยู่ในเกณฑ์มาตรฐานคุณภาพหน้าคั่มในภาชนะบรรจุที่ปิดสนิท



ภาพที่ 4.29 ประสิทธิภาพการล้างเรชินก่อนการทดสอบสารเรชินประจุลบ

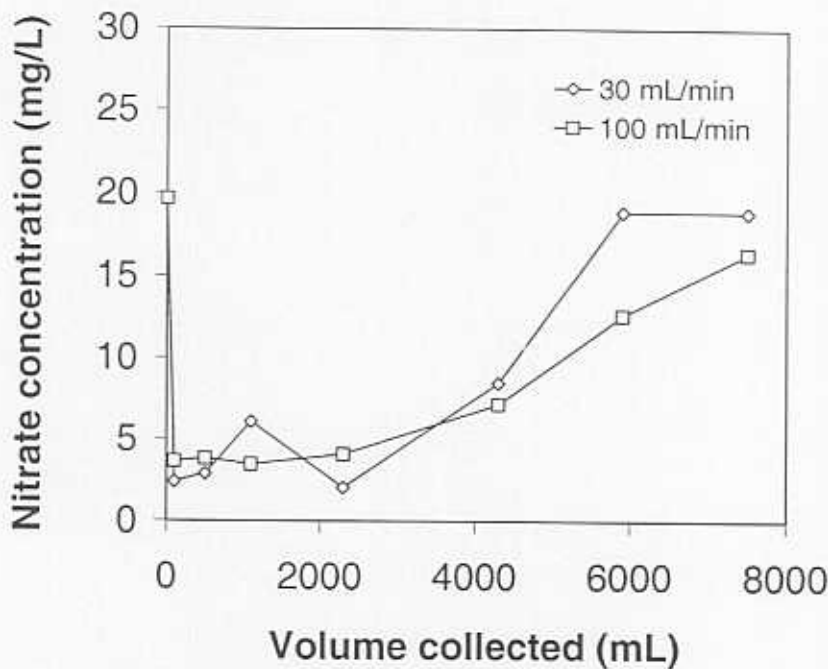
จากกราฟข้างต้นความสามารถในการกำจัดสารในเครดทั้งมีผลการทดสอบที่คิดตามปริมาณรวมเท่ากับ 3,500 มิลลิลิตร (3.5 ลิตร) อย่างไรก็ตามเพื่อศึกษาถึงปริมาตรรวมสูงสุดที่ใช้ในการกำจัดในเครดโดยผ่านคอลัมน์ที่มีเรซิ่นประจุลบโดยน้ำหนักประมาณ 5 กรัม ดังนั้นน้ำด้วยของที่ใช้จึงถูกปั๊มเข้าสู่ระบบอีกครั้งที่อัตราการไหลของปั๊มเท่ากับ 30 มิลลิลิตรต่อนาที ภาพที่ 4.30 แสดง



ภาพที่ 4.30 ประสิทธิภาพการกำจัดในเครดโดยสารเรซิ่นประจุลบในคอลัมน์

ประสิทธิภาพการกำจัดในเครดโดยสารเรซิ่นประจุลบในคอลัมน์ จากการพบว่าปริมาณน้ำที่ไหลเข้าสู่ระบบมากขึ้นส่งผลต่อความเข้มข้นของในเครดที่เพิ่มสูงขึ้น เนื่องจากประสิทธิภาพการจับด้วยหรือการแลกเปลี่ยน ไอออนที่มีค่าหารเรซิ่นประจุลบมีค่าน้อยลงตามปริมาตรรวมของน้ำที่ผ่านเข้าสู่ระบบ จุดที่ทำให้ปริมาตรรวมสูดห้ายก่อนที่ความเข้มข้นของในเครดจะมีค่าสูงขึ้นอยู่ที่ 3,500 มิลลิลิตร (3.5 ลิตร) ด้านความเข้มข้นของในเครดที่วัดได้เท่ากับความเข้มข้นเริ่มต้นของด้วยของน้ำวัดได้ที่ปริมาตรรวมเท่ากับ 5,900 มิลลิลิตร (5.9 ลิตร) หลังปริมาตรรวมเท่ากับ 5,900 มิลลิลิตร (5.9 ลิตร) ความเข้มข้นของในเครดนี้ค่าไม่เปลี่ยนแปลงและคงถึงไม่เกิดการแลกเปลี่ยนประจุระหว่างในเครดในน้ำด้วยของน้ำด้วยกับคอลัมน์ในสารเรซิ่นประจุลบอีกด่อไป และสารเรซิ่นประจุลบนี้จะเป็นต้องนำกลับมาใช้ใหม่อีกครั้ง (regeneration) เพื่อนำสารเรซิ่นกลับมาใช้ใหม่อีกครั้ง

การเปลี่ยนอัตราการไหลเข้าสู่ระบบมีผลทำให้ประสิทธิภาพการกำจัดไอลอนเนื่องจากเวลาที่ใช้ในการแลกเปลี่ยนแตกต่างกัน ภาพที่ 4.31 แสดงอัตราการไหลต่อประสิทธิภาพการกำจัดในเครดโดยสารเรซิ่นประจุลบ จากการพบว่าการเพิ่มขึ้นของอัตราการไหลจาก 30 มิลลิลิตรต่อนาที



ภาพที่ 4.31 อัตราการไหลต่อประสิทธิภาพการกำจัดไนเตรตโดยสารเรซิ่นประจุลบ

เป็น 100 มิลลิลิตรต่อนาทีส่งผลต่อความเข้มข้นของไนเตรต สำหรับอัตราการไหลที่ 30 มิลลิลิตรต่อนาทีความเข้มข้นของไนเตรตมีค่าน้อยกว่าความเข้มข้นของไนเตรตที่อัตราการไหล 100 มิลลิลิตรต่อนาที อาจเนื่องมาจากเวลาที่ใช้ในการแยกเปลี่ยนประจุมีมากกว่าทำให้อ่อนนឹความสามารถในการจับตัวได้ดีกว่า และส่งผลความสามารถในการแยกเปลี่ยนประจุหมดได้เร็วขึ้น จากกราฟจะสังเกตว่าความเข้มข้นของไนเตรตที่วัดได้หลังปริมาตรรวมเท่ากับ 5,900 มิลลิลิตรมีค่าเท่ากับความเข้มข้นเริ่นต้นของไนเตรตในน้ำด้วยสาเหตุของสำหรับอัตราการไหลเท่ากับ 30 มิลลิลิตรต่อนาที ส่วนอัตราการไหลเท่ากับ 100 มิลลิลิตรต่อนาทีค่าความเข้มข้นของไนเตรตซึ่งไม่เข้าสู่สภาวะคงที่หลังปริมาตรรวมเท่ากับ 7,500 มิลลิลิตรต่อนาที ดังนั้นปริมาตรน้ำด้วยอาจต้องใช้มากกว่าเพื่อให้ได้ความเข้มข้นที่สภาวะคงที่ เนื่องจากเวลาที่ใช้ในการแยกเปลี่ยนไออกอนน้อยกว่า ส่งผลต่อการลดลงของความสามารถในการแยกเปลี่ยนไออกอน

4.4 ผลและการวิเคราะห์การทดสอบของน้ำดื่มน้ำมัน

4.4.1 ผลการวิเคราะห์ของน้ำดื่มน้ำมัน

น้ำไดคินถูกนำมาใช้เป็นแหล่งน้ำดื่บสำหรับผลิตน้ำดื่มให้กับชุมชนลับแล ก่อนจะผ่านเข้าสู่กระบวนการผลิตໄค์แก๊สสารเคมีกานีส ถังสารควรบอน ถังสารเรซิ่นประจุบวก และถังสารเร

จันประจุลับซึ่งเดิมใช้สารเรชินประจุบวกจำนวน 2 ถัง โดยเปลี่ยนเป็นสารเรชินประจุบวก 1 ถัง และสารเรชินประจุลบ 1 ถัง ก่อนผ่านกระบวนการกรองแบบไมโครฟิลเตอร์ชั้นและการฆ่าเชื้อด้วยแสงญี่อุลตร้าไวโอลेट สำหรับคุณภาพน้ำดื่นของชุมชนลับแล้มีปริมาณของฟิล์มโคลีฟอร์มน้อย โดยค่าที่วัดได้น้อยกว่า 2 MPN/100 mL ส่งผลต่อกับกระบวนการผลิตน้ำดื่มและความปลอดภัยของผู้บริโภคในการดื่มน้ำที่ปราศจากเชื้อแบคทีเรีย ตารางที่ 4.4 แสดงคุณภาพน้ำที่ผ่านกระบวนการผลิตสารแมงกานีส สารคาร์บอน สารเรชินประจุบวกและลบ ตัวอย่างน้ำที่เก็บเป็นตัวอย่างในช่วงวันที่ตารางที่ 4.4 คุณภาพน้ำที่ผ่านกระบวนการผลิตสารแมงกานีส สารคาร์บอน สารเรชินประจุบวกและลบ

ปริมาณน้ำ ตันนี่	800 L	1,800 L	2,600 L	3,600 L	4,400 L	5,200 L	5,800 L
ความชุ่ม (NTU)	0.332	0.142	0.532	0.27	0.358	0.182	0.349
ความกระด้าง (mgCaCO ₃ /L)	27.2	25.8	24.8	26.4	10.4	36.5	17.2
แอกโซเจิม (mgCaCO ₃ /L)	26	19.8	20.8	26.2	8.2	34.4	12.8
แมgnีเซียม (mgCaCO ₃ /L)	1.2	6	4	0.2	2.2	2.1	4.4
คลอไรด์(mg/L)	60.5	63	64	66.5	57.5	46	50.5
ชัลไฟต์ (mg/L)	262.6	277.3	256.4	242.9	294.5	321.8	229.7
ไนเตรต (mg/L)	13.34	14.45	14.03	14.33	13.35	12.38	12.3

ตัวอย่างน้ำระหว่างวันที่ 9 ถึง 18 กันยายน พ.ศ. 2546

9 ถึง 18 กันยายน พ.ศ. 2546 โดยน้ำตัวอย่างไม่ผ่านกระบวนการกรองแบบไมโครฟิลเตอร์ชั้นและแสงญี่อุลตร้าไวโอลेट จากตารางแสดงความสัมพันธ์ระหว่างปริมาณน้ำที่ผ่านการผลิตในกระบวนการค่าง ๆ ยกเว้นการกรองแบบไมโครฟิลเตอร์ชั้นและแสงญี่อุลตร้าไวโอลेट และดังนี้ที่ใช้วัดคุณภาพน้ำ ผลการทดสอบพบว่าความชุ่มที่วัดได้มีค่าโดยเฉลี่ยประมาณ 0.31 NTU ซึ่งอยู่ในเกณฑ์มาตรฐานผลิตภัณฑ์อุตสาหกรรมน้ำบริโภคที่กำหนดค่าสูงสุดไว้เท่ากับ 5 NTU ส่วนค่าพิเอชและค่าการนำไฟฟ้าที่วัดจากน้ำตัวอย่างที่ผ่านกระบวนการผลิตและบรรจุในภาชนะมีค่าไม่แตกต่างกันมากจากน้ำตัวอย่างน้ำดื่น โดยที่ค่าพิเอชและค่าการนำไฟฟ้ามีค่าประมาณ 6.12 และ 470.5 μ S/cm ตามลำดับ ค่าการนำไฟฟ้าที่ได้อาจไม่แตกต่างกันนักอาจเนื่องมาจากผลกระทบแลกเปลี่ยนประจุของสารเรชินประจุบวกและลบทำให้ค่าการนำไฟฟ้าที่วัดได้ไม่เปลี่ยนแปลงนัก

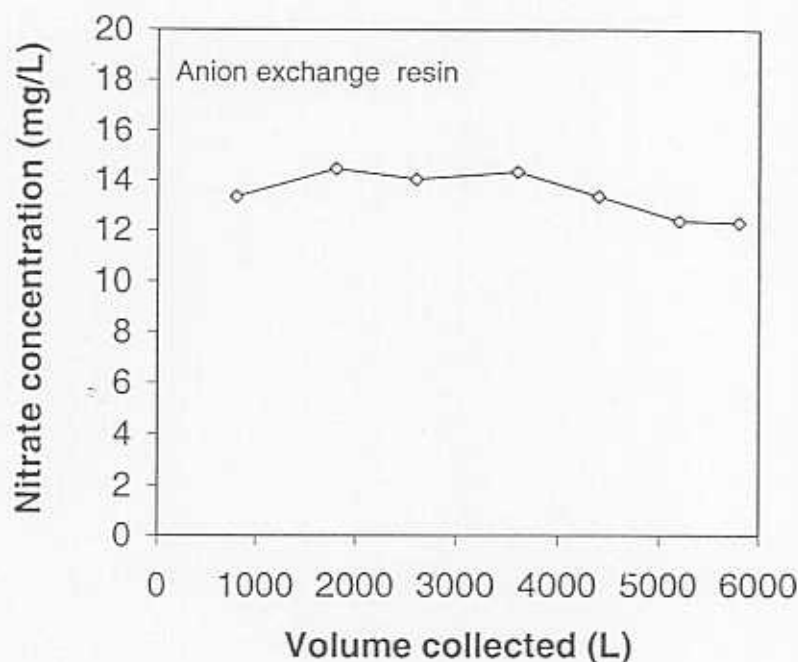
การกำจัดเหล็กและแมงกานีสโดยสารแมงกานีสพบว่ามีประสิทธิภาพค่อนข้างดีในการทดสอบแบบไม่ต่อเนื่อง ส่วนความเข้มข้นของเหล็กและแมงกานีสไม่ได้ถูกตรวจสอบสำหรับน้ำด้วยที่ผ่านกระบวนการผลิตน้ำดื่มน้ำแข็งเนื่องจากปริมาณของเหล็กและแมงกานีสในน้ำด้วยที่ผ่านมีค่าเฉลี่ยและอยู่ในเกณฑ์มาตรฐานน้ำดื่ม ส่วนความสามารถในการกำจัดสารเหล็กและแมงกานีสโดยสารแมงกานีสแสดงผลค่อนข้างดีสำหรับการทดสอบแบบไม่ต่อเนื่อง ความเข้มข้นของสารละลายน้ำที่ใช้ในกระบวนการคือการคุ้งกลืนแสงโดยใช้แสงญี่วีไม่ได้ตรวจสอบตามปริมาณน้ำที่ผ่านกระบวนการผลิต อย่างไรก็ตามการตรวจสอบความเข้มข้นของสารละลายน้ำที่ใช้ในน้ำด้วยที่บรรจุแล้วพบว่าความเข้มข้นของสารละลายน้ำที่มีค่าเฉลี่ยมากกว่า $0.29 \text{ มิลลิกรัมต่อลิตร}$ (โดยที่ความเข้มข้นเริ่มต้นของสารละลายน้ำที่ในน้ำดื่มเท่ากับ $1.11 \text{ มิลลิกรัมต่อลิตร}$) ประสิทธิภาพการกำจัดมากกว่า 73.9% นอกจากนี้ยังพบว่าการใช้ถ่านกันมันต์หรือถ่านคาร์บอนสามารถกำจัดสารละลายน้ำที่ได้โดยคุ้งจากผลการทดสอบแบบไม่ต่อเนื่อง

เรื่องประจุบวกสามารถใช้กำจัดความกระต้าง แคลเซียมและแมกนีเซียมในน้ำ น้ำที่ผ่านกระบวนการผลิตถูกตรวจสอบเพื่อหาความกระต้างของน้ำ แคลเซียมและแมกนีเซียม ค่าความกระต้างที่วัดได้มีค่าโดยเฉลี่ยเท่ากับ $24 \text{ mg/L as CaCO}_3$ (ความกระต้างเริ่มต้นในน้ำด้วยที่มีค่าเท่ากับ $143.3 \text{ mg/L as CaCO}_3$) ซึ่งอยู่ในช่วงคุณภาพน้ำอ่อนโดยมีความกระต้างอยู่ในช่วง $0 - 75 \text{ mg/L as CaCO}_3$ ซึ่งแสดงถึงประสิทธิภาพการกำจัดความกระต้างโดยสารเรื่องประจุบวกเท่ากับ 83.3% ส่วนค่าเฉลี่ยของความเข้มข้นแคลเซียมและแมกนีเซียมวัดได้เท่ากับ 21.2 และ $2.87 \text{ mg/L as CaCO}_3$ ตามลำดับ (ความเข้มข้นเริ่มต้นของแคลเซียมและแมกนีเซียมเท่ากับ 89 และ $54.3 \text{ mg/L as CaCO}_3$ ตามลำดับ) อยู่ในช่วงอนุโภูมของมาตรฐานผลิตภัณฑ์อุตสาหกรรมน้ำบริโภคโดยกำหนดไว้เท่ากับ $200 \text{ mg/L as CaCO}_3$ และ $150 \text{ mg/L as CaCO}_3$ สำหรับค่ามาตรฐานของแคลเซียมและแมกนีเซียมตามลำดับ ค่าประสิทธิภาพการกำจัดแคลเซียมและแมกนีเซียมโดยเรื่องประจุบวกเท่ากับ 76.2% และ 94.7% ตามลำดับ

สารเรื่องประจุลบสามารถใช้กำจัดสารประจุลบ เช่น คลอไรด์ ชัลฟีด และไนเตรต ที่ปรากฏในน้ำด้วยที่ ค่าเฉลี่ยของความเข้มข้นของคลอไรด์หลังผ่านกระบวนการผลิตเท่ากับ $58.3 \text{ มิลลิกรัมต่อลิตร}$ มีค่ามากกว่าค่าที่วัดได้จากน้ำด้วยที่อาจเนื่องมาจากการปริมาณคลอไรด์ที่เกิดจากการเติมกรดไฮโดรคลอริกเพื่อใช้เก็บตัวอย่างก่อนการทดสอบ (ค่าพื้นที่ใช้โดยเฉลี่ยที่วัดได้ประมาณ 2.7 และค่าการนำไปไฟฟ้าโดยเฉลี่ยเท่ากับ 2.29 mS/cm ซึ่งไม่ได้แสดงในตาราง) อย่างไรก็ตามความเข้มข้นที่วัดได้ซึ่งอยู่ในเกณฑ์มาตรฐานคุณภาพน้ำดื่มน้ำในภาคตะวันออกเฉียงเหนือที่ปิดสนิทที่กำหนดมาตรฐานไว้ไม่เกิน 250 mg/L ส่วนความเข้มข้นเฉลี่ยที่วัดได้ของชัลฟีดเท่ากับ $269.3 \text{ มิลลิกรัมต่อลิตร}$ (ค่าเริ่มต้นของชัลฟีดสำหรับตัวอย่างน้ำแข็งน้ำแข็งโดยประมาณเท่ากับ 323 mg/L) ก็เป็น

ประสิทธิภาพการกำจัดซัลเฟตเท่ากับ 16.6% ซึ่งค่าที่วัดได้ยังเกินมาตรฐานคุณภาพน้ำดื่มในภาคตะวันออกเฉียงใต้ที่ปีกันที่ 250 mg/L

ภาพที่ 4.32 แสดงความเข้มข้นของไนโตรตามปริมาณน้ำที่ผ่านกระบวนการผลิต จากกราฟเห็นว่าความเข้มข้นของไนโตรามค่าไม่แตกต่างกันมากนักตามปริมาณน้ำที่ผ่านกระบวนการผลิต ความเข้มข้นของไนโตรามค่าโดยเฉลี่ยเท่ากับ 13.45 มิลลิกรัมต่อลิตร (ความเข้มข้นเริ่มต้นของไนโตรในน้ำดื่มอย่างเท่ากับ 19.64 มิลลิกรัมต่อลิตร) โดยประสิทธิภาพการกำจัดสารไนโตร



ภาพที่ 4.32 ความเข้มข้นของไนโตรตามปริมาณน้ำที่ผ่านกระบวนการผลิต

เท่ากับ 31.5% อย่างไรก็ตามความเข้มข้นของไนโตรที่วัดได้มีค่าในเกณฑ์มาตรฐาน (มาตรฐานคุณภาพน้ำดื่มในภาคตะวันออกเฉียงใต้ที่ปีกันที่ 4 mg/L) อาจเนื่องมาจากผลการล้างสารเรซิ่นประจุลบที่บัง礙ไม่ดีพอและช่วงเวลาที่ใช้ในการดำเนินระบบก่อนที่สารเรซิ่นประจุลบจะถูกถ่าย การเตรียมความเข้มข้นของสารละลายกรดที่ใช้ในการล้างเรซิ่นประจุลบโดยทั่วไปความเข้มข้นของสารในการล้างเรซิ่นควรมีค่าประมาณ 8% - 20% ดังนั้นการทดสอบความเข้มข้นของสารที่มีประจุลบควรตรวจสอบอย่างละเอียดเพื่อความเหมาะสมในการกำจัดสารประจุลบที่อาจส่งผลต่อกุญแจพน้ำดื่ม

จากการทดสอบดัชนีที่ใช้วัดเพื่อตรวจสอบคุณภาพน้ำดื่มหลังผ่านกระบวนการผลิต จะพบว่าดัชนีที่ยังเกินมาตรฐานคุณภาพน้ำดื่มได้แก่สารที่มีค่าประจุลบเข่นในเครคและซัลเฟต ซึ่งสามารถกำจัดได้โดยใช้สารเรซิ่นประจุลบ ดังนั้นสำหรับกระบวนการผลิตจึงควรมีการตรวจสอบ

อย่างละเอียดเกี่ยวกับการนำขั้นตอนการเรียนรู้และการถ่ายทอดเรียนรู้ก่อนและหลังการใช้งาน เพื่อให้เกิดความมั่นใจในการกำจัดไข่ในเครื่องและข้อเดียวให้อยู่ในเกณฑ์มาตรฐาน ส่วนความจำเป็นในการเพิ่มจำนวนถังกล่องขึ้นสำหรับบรรจุสารเรียนรู้กลุ่มอาจจะต้องคำนึงผลการตรวจสอบระบบ อีกครั้ง โดยเฉพาะการถ่ายทอดความสะอาดเรียนรู้กลุ่มก่อนนำกลับมาใช้อีกครั้ง

4.4.2 การประเมินค่าใช้จ่ายในการผลิตน้ำดื่ม

การประเมินค่าใช้จ่ายเบื้องต้นสำหรับกระบวนการผลิตน้ำดื่มโดยเน้นตัวอุปกรณ์การผลิตน้ำคั่มของชุมชนลับแลซึ่งผ่านกระบวนการผลิตหลายขั้นตอน ปริมาณน้ำคั่มที่ผลิตได้ประมาณ 4,110 ลิตรต่อวัน แบ่งเป็นการผลิตน้ำคั่มขวดเล็กขนาด 0.95 ลิตร ประมาณวันละ 1,800 ขวด และการผลิตน้ำคั่มขนาดถังใหญ่ 20 ลิตร ประมาณวันละ 120 ถัง ส่วนราคาที่ใช้ในการผลิตเท่ากัน 2 บาท และ 6 บาทสำหรับการผลิตน้ำขวดเล็กและการผลิตน้ำถังใหญ่ ตามลำดับ ราคาก็จะมีที่ต่างๆ กันตามที่ได้ต่อไปนี้ (คิดการค้าทั่วไปหักกำไรจากการขายของน้ำขนาดขวดเล็กและถังใหญ่เท่ากัน 4,320 บาทต่อวัน สำหรับกระบวนการผลิตถังแต่เริ่มผลิตจนถึงล้างระบบโดยเฉลี่ย 6 วันต่อครั้ง สมมุติมีการผลิตน้ำทุกวันดังนั้นปริมาตรน้ำคั่มที่ผลิตได้ก่อนที่ระบบจะถูกล้างประมาณ 24,660 ลิตร โดยค่าใช้จ่ายในการล้างระบบประมาณ 200 บาทต่อเดือน ซึ่งมีค่าก้อนข้างต่ำ ส่วนใหญ่ถ้ามีการล้างระบบค่าใช้จ่ายที่ต้องใช้คือการเติมเกลือโซเดียมคลอไรด์เพื่อล้างสารเจลในประจุบวกและการใช้กรดไฮดรอกลูติกประมาณ 10% เพื่อล้างสารเจลในประจุลบ การล้างน้ำเพื่อใส่สิ่งทอกหางบนสารแแมงกานีสและถ่านกัมมันต์ ค่าใช้จ่ายต่อเดือนประมาณ 500 บาท ค่าแรงงานประมาณ 7,700 บาท และค่าน้ำมันสำหรับการขนส่งประมาณ 3,000 – 5,000 บาท ส่วนการเปลี่ยนไส้กรองเชรามิกสำหรับการกรองแบบไมโครฟิล์เตอร์ชั้นประมาณ 3 เดือนต่อหนึ่งครั้ง ส่วนการเติมสารคลอรีนเพื่อฆ่าเชื้อจุลทรรศ์ประมาณ 3 วันต่อครั้งในช่วงฤดูฝน ส่วนหน้าเดือนประมาณ 7 – 15 วันต่อครั้ง

4.5 ข้อวิจารณ์การทดสอบ

กุญภาพซึ่งเป็นสิ่งที่จำเป็นและสำคัญเพื่อเน้นการแก้ไขปัญหาคุณภาพน้ำดื่มน้ำที่ยังไม่ได้นำครรภานาคที่ก่อภัยมาอย่างก้าวหนด และต้องคำใช้จ่ายในการทดสอบ ดังนั้นการทราบถึงผลวิเคราะห์คุณภาพน้ำเบื้องต้นยังส่งผลต่อการทดสอบแบบไม่ต้องนีองซึ่งเป็นการทดสอบในห้องปฏิบัติการโดยมีการทดสอบสารทั้งสี่ชนิดเข่นสารเเมงกานีส ถ่านกัมมันต์ สารเรชินประจุบวก และสารเรชินประจุลบ การทดสอบสารทั้งสี่ชนิดทำให้ทราบถึงประโยชน์และประสิทธิภาพของสารเหล่านี้ในการกำจัดสิ่งเจือปนออกจากรากน้ำด้วยอย่าง นอกจากรากนี้การออกแบบการทดสอบแบบต่อเนื่องยังเป็นผลของจากการทดสอบแบบไม่ต้องนีอง โดยน้ำดื่มน้ำที่ยังไม่ได้นำครรภานาคที่ยังไม่ได้ใช้สารเรชินประจุลบ อย่างไรก็ตามการกำจัดในเครื่องสามารถถูกกำจัดได้ดีหลังสารเรชินประจุได้ผ่านการล้างด้วยกรดไฮโคลอริกก่อนที่จะนำมาใช้ในการกระบวนการผลิต

การวิเคราะห์น้ำหลังผ่านกระบวนการผลิตน้ำเพื่อให้ทราบถึงคุณภาพน้ำดื่มและแนวทางแก้ไขปัญหาโดยเฉพาะแผนการดำเนินระบบและการล้างระบบเพื่อลดปัญหาคุณภาพน้ำที่ยังไม่ได้นำครรภานาค รวมทั้งการออกแบบปริมาณน้ำที่ต้องผ่านกระบวนการผลิตก่อนที่จะมีการล้างระบบอีกครั้งก่อนนำกลับมาใช้งานได้อีก ส่วนการใช้สารเคมีที่นำมาล้างระบบควรมีข้อระมัดระวังดึงการใช้และการล้างก่อนที่จะดำเนินการผลิตน้ำดื่มเพื่อลดปัญหาที่อาจเกิดขึ้นเนื่องจากการสะสมของสารเคมีที่ใช้ล้างระบบ

บทที่ 5

สรุปและข้อเสนอแนะ

5.1 สรุปผลการวิจัย

- 1) การทดสอบสารชนิดต่างๆที่ใช้ในกระบวนการผลิตน้ำดื่ม สามารถกำจัดสิ่งที่ปนเปื้อนจากแหล่งน้ำดินและให้ประสิทธิภาพการกำจัดค่อนข้างดี การทดสอบโดยสารแมงกานีสให้การกำจัดเหล็กและแมงกานีสค่อนข้างดี อาจเนื่องมาจากความเข้มข้นของปริมาณเหล็กและแมงกานีสในน้ำด้วยอย่างมีค่าค่อนข้างน้อย ซึ่งก็อยู่ในเกณฑ์มาตรฐานคุณภาพน้ำดื่มแล้ว
- 2) การทดสอบถ่านกัมมันต์สามารถกำจัดสารละลายน้ำได้ด้วยการวัดภาระบนกระดาษในน้ำและการวิเคราะห์จากการใช้แสงอุլติวีโอลูมิเนสเซนซ์ที่ความยาวคลื่นเท่ากับ 254 nm อย่างไรก็ตามพบว่าปริมาณสารอินทรีย์ในน้ำด้วยอย่างมีปริมาณค่อนข้างน้อย การกำจัดสารอินทรีย์ซึ่งไม่含有ปัญหามากนัก ส่วนการกำจัดสารอินทรีย์ประมาณร้อยละ 74.2 88.2 และ 88.5 ตามปริมาณที่เพิ่มขึ้นของถ่านกัมมันต์จาก 0.5 กรัม 1 กรัม และ 2 กรัม ตามลำดับ ส่วนถ่านกัมมันต์ที่ลดลงโดยเฉลี่ยเท่ากับ 0.112 มิลลิกรัมต่อกรัม 0.067 มิลลิกรัมต่อกรัม และ 0.033 มิลลิกรัมต่อกรัม ตามปริมาณที่เพิ่มขึ้นของถ่านกัมมันต์ เนื่องจากมูลค่าคุณภาพน้ำดื่มน้อยเมื่อปริมาณสารภาระบนที่เพิ่มมากขึ้น
- 3) การทดสอบสารเรชินประจุบวกสามารถกำจัดความกระด้าง แคลเซียมและแมงกานีเซียมในน้ำได้มาตรฐานคุณภาพน้ำดื่มน้ำดื่มตามที่กฎหมายกำหนด สำหรับปริมาณสารเรชินที่ใช้จาก 3 กรัม ถึง 10 กรัม ค่าการกำจัดของแคลเซียมประมาณร้อยละ 35.7-43.2 ส่วนการกำจัดของแมงกานีเซียมมีค่าน้อยลงเนื่องจากความสามารถในการจับตัวกับเรชินน้อยกว่าแคลเซียม ค่าการกำจัดประมาณร้อยละ 10.5-13.7 และความสามารถในการกำจัดความกระด้างของน้ำมีค่าในช่วงการกำจัดของแคลเซียมและแมงกานีเซียมค่าโดยเฉลี่ยประมาณร้อยละ 25.1-31.2
- 4) การทดสอบสารเรชินประจุลบสามารถกำจัดชัลไฟฟ์และไนเตรตได้ค่อนข้างดี แต่ความสามารถในการกำจัดค่อนข้างดีอาจเนื่องมาจากปริมาณความเข้มข้นของสารทั้งสองมีค่ามาก ส่วนการทดสอบน้ำใช้สารเรชินที่มีน้ำหนักประมาณ 5 ถึง 15 กรัม พบว่าประสิทธิภาพการกำจัดชัลไฟฟ์มีค่าค่อนข้างดีประมาณร้อยละ 16.1 ถึง 17.9 นิ-

ค่าตัวกว่าการกำจัดของในเศรษฐีมีค่าประมาณร้อยละ 54.0 ถึง 62.8 และพบว่าสารทึ้งส่องให้ก้าวความเข้มข้นเกินมาตรฐานที่กำหนด โดยมาตรฐานกำหนดความเข้มข้นของชั้นเฟดเท่ากับ 250 มิลลิกรัมต่อกิโลกรัม และความเข้มข้นของในเศรษฐีเท่ากับ 4 มิลลิกรัมต่อกิโลกรัม อย่างไรก็ตามจากการทดสอบแบบต่อเนื่องโดยการถ่ายและไม่ถ้างสารเรซินก่อนทดลองกับน้ำตัวอย่าง การทดสอบพบว่าการถ่ายเรซินด้วยกรดไฮดรอกซิลิกสามารถให้การกำจัดที่ดีขึ้นโดยเฉพาะการกำจัดในเศรษฐีในน้ำตัวอย่าง

- 5) การทดสอบการกำจัดสิ่งเรื้อรังในน้ำของน้ำดื่มชุมชนพบว่าค่าการกำจัดชั้ลเฟคและในโทรศัตุให้การกำจัดก่อนข้างดีและความเข้มข้นของทั้งสองมีค่าเกินมาตรฐานคุณภาพน้ำดื่มน้ำ การให้ความเข้มข้นของสารทั้งสองที่ซึ่งเกินมาตรฐานคุณภาพน้ำดื่มน้ำ อาจเนื่องมาจากการลักษณะการล้างระบบทั้งก่อนและหลังการใช้งานเพื่อให้สภาพของระบบน้ำสะอาดกลับมาใช้งานได้อีก ดังนั้นการตรวจสอบประสิทธิภาพการใช้งานของสารเรซิ่นประจุลบจะเป็นสิ่งที่จำเป็น เพื่อให้ระบบสามารถกำจัดชัลเฟคและในโทรศัตุให้มีประสิทธิภาพการกำจัดที่ดีและได้มาตรฐานคุณภาพน้ำดื่มน้ำ และสามารถดำเนินระบบให้มีระยะเวลาข่าวนานมากขึ้น

5.2 ข้อเสนอแนะ

- 1) การใช้ตัวอย่างน้ำจากชุมชนของมีข้อจำกัดในการศึกษาประสิทธิภาพของสารที่ใช้ในกระบวนการผลิตน้ำดื่มน้ำโดยไม่สามารถที่จะปรับเปลี่ยนความเข้มข้นของสิ่งเจือปนในน้ำด้วยได้
 - 2) การใช้น้ำด้วยจากการเตรียมสารขึ้นใหม่ (synthetic sample) สามารถนำมาใช้ในการวิเคราะห์ประสิทธิภาพการกำจัดของสารที่ใช้ในกระบวนการผลิตในเบื้องต้น การศึกษาถูกออกแบบมาเพื่อประเมินผลต่อการกำจัดสารเหล่านี้ ซึ่งต้องออกแบบ การทดสอบและทดลองกับสารเหล่านี้อีกด้วย
 - 3) การศึกษาถึงกระบวนการล้างสารที่ใช้ทดสอบเป็นสิ่งจำเป็น เพราะค่าที่ได้อาจส่งผลโดยตรงกับประสิทธิภาพการกำจัดของสาร นอกจากนี้การใช้สารที่เหมาะสมในการทำความสะอาดจึงเป็นสิ่งที่ต้องควรระวัง โดยเฉพาะการใช้งานกับกระบวนการผลิตน้ำดื่ม ในโรงงานจริง ซึ่งการเลือกใช้สารเคมีสำหรับทำความสะอาดอาจต้องใช้ความคิดเห็นนำ ของทางบริษัทที่จ้างน้ำสารเพื่อใช้ในกระบวนการผลิตน้ำดื่ม
 - 4) การทดสอบแบบค่อนข้างจะสามารถนำมาประยุกต์ใช้กับกระบวนการผลิตน้ำดื่ม เพื่อให้เป็นข้อมูลในสำหรับการคำนวณปริมาณน้ำใช้ในกระบวนการผลิตน้ำดื่มตาม

ปริมาณของสารที่ใช้และเวลาที่เหมาะสมในสำหรับใช้งานก่อนที่จะมีการสังระบบเพื่อให้สภาพของสารกลับมาใช้ได้ใหม่

- 5) สำหรับกระบวนการผลิตน้ำดื่ม ควรมีการบันทึกปริมาณน้ำที่ผลิต ได้และมีการตรวจสอบความเข้มข้นของสิ่งจือปนหลังเหลือในน้ำดื่มน้ำก่อนที่จะใช้บริโภค โดยเฉพาะความเข้มข้นที่ยังพบมากและเกินมาตรฐานน้ำดื่มน้ำดื่ม ทั้งนี้การตรวจสอบยังแสดงถึงประสิทธิภาพของกระบวนการผลิตน้ำ และอาจพบระบวนการผลิตบางส่วนที่ต้องการปรับปรุง
- 6) ควรมีการตรวจสอบคุณภาพน้ำก่อนและหลังบรรจุขวดเพื่อตรวจสอบสภาพของเชื้อแบคทีเรียที่อาจเกิดขึ้นได้ในขวดบรรจุภัณฑ์
- 7) การทดสอบเพิ่มเติมในห้องปฏิบัติการ
 - ทดสอบความเข้มข้นของเหล็กและแมงกานีสที่มีผลต่อการกำจัดโดยใช้สารกรองแมงกานีส
 - ทดสอบความเข้มข้นของสารอินทรีย์ที่มีผลต่อการคุกซับโดยใช้ด่านกัมมันต์หรือแอ็คติวไฟล์เต็คคาร์บอน รวมทั้งการประยุกต์ใช้ Isotherm และการหาพารามิเตอร์ที่เกี่ยวข้องในแบบจำลอง
 - ทดสอบความเข้มข้นของแคลเซียมและแมงกานีเซียมที่มีผลต่อการจับตัวของระหว่างประจุบวก การหาความสามารถการจับตัวของระหว่างทั้งสองสาร
 - ผลการปรับเปลี่ยนความเข้มข้นของชัลเฟดและไนเตรตต่อการกำจัดสารโดยสารเรซิ่นประจุลบ
 - การออกแบบการทดสอบแบบต่อเนื่องโดยทดสอบกับสารแมงกานีส ด่านกัมมันต์หรือแอ็คติวไฟล์เต็คคาร์บอน รวมทั้งสารเรซิ่นประจุบวกและลบ ตามสภาพของน้ำตัวอย่างที่ปรับเปลี่ยนไป

บรรณานุกรม

- กองควบคุมอาหาร. 2543. แนวทางการป้องกันปัญหาการปนเปื้อนของจุลินทรีย์ในการผลิตน้ำบริโภคบรรจุขวด. พิมพ์ครั้งที่ 1. กรุงเทพมหานคร : สำนักงานคณะกรรมการอาหารและยา.
- ประกาศกระทรวงสาธารณสุข ฉบับที่ 61. 2524. เรื่องน้ำบริโภคในภาชนะที่ปิดสนิท ตีพิมพ์ในราชกิจจานุเบกษา เล่ม 98 ตอนที่ 157 (ฉบับพิเศษ) ลงวันที่ 24 กันยายน 2524 ซึ่งได้แก้ไขเพิ่มเติมโดย ประกาศกระทรวงสาธารณสุข ฉบับที่ 135 (พ.ศ. 2534) เรื่องน้ำบริโภคในภาชนะบรรจุที่ปิดสนิท (ฉบับที่ 2) ลงวันที่ 26 กุมภาพันธ์ พ.ศ. 2534 ตีพิมพ์ในหนังสือราชกิจจานุเบกษา เล่ม 108 ตอนที่ 61 ลงวันที่ 2 เมษายน 2534.
- ประกาศกระทรวงอุตสาหกรรม ฉบับที่ 332. 2521. ออกตามความในพระราชบัญญัติมาตราฐานผลิตภัณฑ์อุตสาหกรรม พ.ศ. 2511 เรื่องกำหนดมาตรฐานผลิตภัณฑ์อุตสาหกรรมน้ำบริโภค ตีพิมพ์ในราชกิจจานุเบกษา เล่ม 95 ตอนที่ 68 ลงวันที่ 4 กรกฎาคม 2521.
- ไฟศาล วีรกิจ. 2545. การผลิตน้ำสำหรับอุตสาหกรรม. กรุงเทพมหานคร : บริษัทเย็นแอนด์ซี จำกัด.
- มั่นสิน ตันตระเวศน์. 2538. วิศวกรรมการประปา เล่มที่ 2. กรุงเทพมหานคร : สำนักพิมพ์ จุฬาลงกรณ์มหาวิทยาลัย.
- มั่นสิน ตันตระเวศน์, ไฟพรพรรณ พรประภา. 2545. การปรับปรุงคุณภาพน้ำ สำหรับระบบหม้อไอน้ำ ระบบห้าเหลี่ยม ระบบประปา. พิมพ์ครั้งที่ 4. กรุงเทพมหานคร : ภาควิชาชีววิศวกรรม ลึงแวนดล้อม คณะวิศวกรรมศาสตร์ จุฬาลงกรณ์มหาวิทยาลัย.
- Clifford, D. A. 1990. **Water Quality and Treatment**, Fourth Edition, Edited by Pontius, F. W., American Water Works Association, McGraw-Hill, Inc., New York.
- Mattaraj, S., and J. E. Kilduff. 2003. Using Reverse Osmosis to Remove Natural Organic Matter from Power Plant Makeup Water, **PowerPlant Chemistry Journal**, 5(1), pp. 31-35.
- Pontius, F. W. 1990. **Water Quality and Treatment: A Handbook of Community Water Supplies**, Fourth Edition, American Water Works Association, McGraw-Hill, Inc., New York.
- Eaton, A. D., L. S. Clesceri, and A. E. Greenberg eds. 1995. **Standard Methods for the Examination of Water and Wastewater**, 19th Edition, Washington, D.C.

ประวัตินักวิจัย 1

1. ชื่อและสกุล :

ภาษาไทย นางสุพัฒน์ พงษ์ มัตรราช
ภาษาอังกฤษ SUPATPONG MATTARAJ

2. คำแนะนำ:

- อาจารย์ระดับ 7 ภาควิชาวิศวกรรมเคมี คณะวิศวกรรมศาสตร์ มหาวิทยาลัยอุบลราชธานี
 - รักษาภาระการแทนทบทวนภาควิชาวิศวกรรมเคมี คณะวิศวกรรมศาสตร์ มหาวิทยาลัยอุบลราชธานี

3. ประวัติการศึกษา:

ปีที่จบ	ระดับปริญญา	อักษรย่อ	สาขาวิชา	วิชาเอก	ชื่อสถาบันการศึกษา	ประเทศ
2544	Doctor of Philosophy	Ph.D.	Environmental Engineering	Membrane Technology	Rensselaer Polytechnic Institute	NY, USA
2540	Master of Science	M.S.	Environmental Engineering	Water Engineering	Georgia Institute of Technology	GA, USA
2538	Master of Engineering	M.Eng.	Environmental Engineering	Wastewater Engineering	Asian Institute of Technology (AIT)	ไทย
2535	วิศวกรรมศาสตรบัณฑิต	วศ.บ.	วิศวกรรมโยธา (เกียรตินิยม 2)	-	มหาวิทยาลัยเกษตรศาสตร์	ไทย

4. ประวัติการทำงาน:

4.1 ประวัติการรับราชการ

- รับราชการเมื่อวันที่ 30 กันยายน พ.ศ. 2537 ตำแหน่งอาจารย์ระดับ 3 ภาควิชา
วิศวกรรมเคมี คณะวิศวกรรมศาสตร์ มหาวิทยาลัยอุบลราชธานี
 - ปรับบทบาทตำแหน่งอาจารย์ระดับ 3 เป็นอาจารย์ระดับ 5 เมื่อวันที่ 3 กรกฎาคม พ.ศ. 2545
 - เลื่อนระดับจากอาจารย์ระดับ 5 เป็นอาจารย์ระดับ 6 เมื่อวันที่ 30 กันยายน พ.ศ. 2545
 - เลื่อนระดับจากอาจารย์ระดับ 6 เป็นอาจารย์ระดับ 7 เมื่อวันที่ 14 กรกฎาคม พ.ศ. 2547

- รักษาราชการแทนทัวหนาน้ำภาควิชาสภารัฐเมือง เมื่อวันที่ 11 คุณภาพ พ.ศ. 2545 ถึงปัจจุบัน

4.2 ประวัติการทำงานในบริษัทเอกชนในต่างประเทศ

- วิศวกรสีงแวงล้อน บริษัทจีอี (General Electric, Schenectady, NY, USA) ในส่วนของ GE Corporate ระหว่างเดือนกรกฎาคม พ.ศ. 2545 ถึงเดือนกุมภาพันธ์ พ.ศ. 2545 รับผิดชอบงานป้องกันและควบคุมของโลหะหนัก (Pollution Prevention, P2 Program)

4.3 ประวัติการทำงานในบริษัทเอกชนในประเทศไทย

- วิศวกรโยธา บริษัทซีแพคคอนกรีตโปรดักต์ (CPAC Concrete Products, CO., Ltd) เขตสنانมบินน้ำ จังหวัดคุณหนูรี ระหว่างเดือนเมษายน พ.ศ. 2535 ถึง เดือนกันยายน พ.ศ. 2536 รับผิดชอบการออกแบบ Post-tensioned slab สำหรับงานก่อสร้างดีกสอง

5. รางวัล และเกียรติคุณ

- | | |
|-----------------|---|
| ก.ช. 38- ก.ช.44 | ได้รับทุนจากรัฐบาลไทยไปศึกษาต่อปริญญาระดับโทและเอกสาขาวิชารัฐธรรมสิ่งแวดล้อม ณ ประเทศสหราชอาณาจักร |
| ม.ก.37-ช.ก.38 | ได้รับทุน AIT-Queen Sirikit Environment and Development Fellowship Scholarship สำหรับศึกษาต่อระดับปริญญาโทสถาบันเทคโนโลยีแม่เชียง ประเทศไทย |
| ม.ก.31-มี.ก.35 | จบปริญญาตริสาขาวิชารัฐธรรมสิ่งแวดล้อม โท (เกียรตินิยมอันดับ 2) |

6. ผลงานวิจัย

6.1 ผลงานตีพิมพ์วารสารและเอกสารประกอบการสอน

- Kilduff, J. E., Mattaraj, S., and Belfort, G. (2004) "Flux Decline during Nanofiltration of Naturally- Occurring Dissolved Organic Matter: Effects of Osmotic Pressure, Membrane Permeability, and Cake Formation," *J. Membrane Science*, 239(1), 39-53.
 - Kilduff, J. E., Mattaraj, S., Wigton, A., Kitis, M., and Karanfil, T. (2004) "Effects of Reverse Osmosis Isolation on Reactivity of Naturally Occurring Dissolved Organic Matter in Physicochemical Processes," *Water Research*, 38, pp.1026-1036.

- เอกสารประกอบการสอนวิชาศึกกรรมการประปาและสุขาภิบาล (WATER SUPPLY AND SANITARY ENGINEERING) พ.ศ. 2546
- Mattaraj, S. (2003) "Flux Decline during Nanofiltration of Natural Organic Matter: Impact of pH and Ionic Strength," *Journal of Ubon Ratchathani University*, 5(1) (January - June, 2003).
- Mattaraj, S., and J. E. Kilduff. (2003) "Using Reverse Osmosis to Remove Natural Organic Matter from Power Plant Makeup Water," *PowerPlant Chemistry Journal*, 5(1), pp. 31-35.
- Kilduff, J. E., Mattaraj, S., Sensibaugh, J., Pieracci, J. P., Yuan, Y., Belfort, G. (2002) "Modeling Flux Decline During Nanofiltration of NOM with Poly (arylsulfone) Nanofiltration Membranes Modified Using UV-Assisted Graft Polymerization", *Environmental Engineering Science*, 19(6), pp.477-496.
- Kilduff, J. E., Mattaraj, S., J. P. Pieracci, and G. Belfort. (2000) "Photochemical Modification of Poly (ether sulfone) and Sulfonated Poly (sulfone) Nanofiltration Membranes for Control of Fouling by Natural Organic Matter," *Desalination*, 132, pp. 133-142.
- Mattaraj, S., Chongrak Polprasert, and E. S. K. Chian. (1998) "Kinetic Characteristics of Constructed Wetlands for Treatment of Domestic Wastewater in the Topics", *Overseas Chinese Environmental Engineers and Scientists Association (OCEESA) Journal*, 15(1), pp.13-17.
- Mattaraj, S., and E. S. K. Chian. (1997) "Removal of Hardness and Dissolved Organic Matter (DOM) using Nanofiltration Membrane", *Overseas Chinese Environmental Engineers and Scientists Association (OCEESA) Journal*, 14(2), pp.29-33.

6.2 ผลงานวิชาการอื่น ๆ (Proceedings & Presentations)

- Kilduff, J.E.; Mattaraj, S.; Belfort, G. (2004) "Factors Affecting Flux Decline during Nanofiltration of Natural Water," Presented at NAMS 2004, the North American Membrane Society National Meeting, Honolulu, Hawaii, USA. (June 26-30, 2004).

- Kilduff, J.E.; Mattaraj, S.; Belfort, G., (2004) "Flux Decline During Nanofiltration of Naturally-Occurring Organic Dissolved Organic Matter: Effects of Osmotic Pressure, Membrane Permeability, and Cake Formation," Presented at the 78th ACS Colloid and Surface Science Symposium, Yale University, New Haven, CT, USA. (June 20 -23, 2004).
- Mattaraj, S. (2003) "Effects of Operating Conditions on Nanofiltration Performance of Salt Solutions," The 13th Conference of Thai Chemical Engineering and Applied Chemistry, Srinakharinwirot University, Nakornnayok, Thailand, October 30-31, 2003, S-03, pp. 1-15.
- Mattaraj, S. and J.E. Kilduff. (2003) "Effects of Natural Organic Matter Properties on Nanofiltration Flux," Proceedings of the Fourth Regional Symposium on Infrastructure Development in Civil Engineering (RSID4), Kasetsart University, Bangkok, Thailand (April 3-5, 2003), pp. 1051-1060.
- Mattaraj, S. and J.E. Kilduff. (2003) "Nanofiltration Membrane of Surface Waters: Impact of Salt-NOM Interaction on Solution Flux", Proceedings of the 2nd National Environmental Conference, Environmental Engineering Association of Thailand, Khon Kaen, Thailand, pp. 503-510. (Jan. 22-24, 2003).
- Mattaraj, S. (2002) "Removal of Natural Organic Matter by Reverse Osmosis Membrane," Proceedings of the 8th National Convention on Civil Engineering, Khon Kaen University, Khon Kaen, Thailand (Oct. 23-25, 2002), ENV-201-206.
- Mattaraj, S. (2002) "Nanofiltration Membrane Fouling: Effect of Solution Chemistry and Natural Organic Matter," Proceeding of the 8th National Convention on Civil Engineering, Khon Kaen University, Khon Kaen, Thailand (Oct. 23-25, 2002), ENV-195--200.
- Mattaraj, S. (2002) "Effect of Solution Flux Decline on Nanofiltration Membrane by Natural Water," Proceeding of the 3rd National Symposium on Graduate Research, Suranaree University of Technology, Nakhon Ratchasima, Thailand, pp. 337-338 (July 18-19, 2002).
- Kilduff, J. E., S. Mattaraj, J. P. Pieracci, and G. Belfort. (2000) "Photochemical Modification of Poly (ether sulfone) and Sulfonated Poly (sulfone) Nanofiltration

Membranes for Control of Fouling by Natural Organic Matter," Proceeding of International Water Association Conference on Membranes in Drinking and Industrial Water Production, Volume 2, Paris, France, pp. 239-248. (Oct. 3-6, 2000).

- Mattaraj, S. and J. E. Kilduff. (2000) "Crossflow Membrane Filtration For Removing Natural Organic Matter: Factors Affecting Flux Reduction," Proceeding of the 32nd Mid-Atlantic Industrial & Hazardous Waste Conference, Troy, New York, USA, pp. 373-384, (June 25-27, 2000).
- Mattaraj, S. and J. E. Kilduff. (2000) "Crossflow Membrane Filtration For Removing Natural Organic Matter: Factors Affecting Flux Reduction," Presented at the 74th Colloid and Surface Science Symposium, Lehigh University, Pennsylvania, USA (June 19-21, 2000).
- Mattaraj, S., J. E. Sensibaugh, J. P. Pieracci, G. Belfort, and J. E. Kilduff. (1999) "Effects of Natural Organic Matter on Membrane Processes for Pollution Control," Presented at the 1999 Annual Meeting of the American Institute of Chemical Engineers (AIChE), Dallas, Texas, USA (Oct. 31-Nov. 5, 99).

6.3 Oral Presentation และการเป็นวิทยกรบรรยาย

- Kilduff, J.E.; Mattaraj, S.; Pieracci, J.P.; Yuan, Y.; Belfort, G. Modeling Flux Decline During Nanofiltration of NOM with Poly(arylsulfone) Membranes Modified Using UV-Assisted Graft Polymerization," Presented at the 226th ACS National Meeting, New York, NY, September 7-11, 2003. (Oral Presentation).
- การบรรยายเรื่องการจัดการทรัพยากรื้าและสิ่งแวดล้อม (30 สิงหาคม 2545) คณะวิศวกรรมศาสตร์ มหาวิทยาลัยอุบลราชธานี เรื่อง Reverse Osmosis Membrane For Removing Dissolved Organic Matter และ Mathematic Modeling of Water Quality
- J. E. Kilduff, Mattaraj, S., J. E. Sensibaugh, J. P. Pieracci, G. Belfort. (2001) "Modification of Nanofiltration Membranes for Control of NOM Fouling," Presented at the AWWA Annual Conference, Washington, DC, USA, (June 17-21, 2001).

- Mattaraj, S. (2001) "Effect of Solution Composition on NF Fouling by Natural Organic Matter," Presented at General Electric, Schenectady, NY, USA, (Oct. 31, 2001).
- Kilduff, J.E.; Mattaraj, S.; Pieracci, J.P.; Yuan, Y.; Belfort, G. Modeling Flux Decline During Nanofiltration of NOM with Poly(arylsulfone) Membranes Modified Using UV-Assisted Graft Polymerization," Presented at the 226th ACS National Meeting, New York, NY, September 7-11, 2003. (Oral Presentation).
- Mattaraj, S. and J. E. Kilduff. (2000) "Nanofiltration of Surface Waters: Factors Affecting Flux and Rejection," Presented at the NYS AWWA Conference, Syracuse, NY, USA (April 11-14, 2000).

6.4 วิทยานิพนธ์

- Mattaraj, S. (2001) *The Influence of Natural Organic Matter (NOM) Properties on NF Fouling*, Ph.D. Dissertation, Rensselaer Polytechnic Institute, Troy, NY.
- Mattaraj, S. (1995) *Kinetic Evaluation of Constructed Wetlands for Treatment of Domestic Wastewater*, Master Thesis (M.Eng.), Asian Institute of Technology, Pathumthani, Thailand.
- Mattaraj, S. (1997) *Removal of Dissolved Organic Matter (DOM) by NF membrane*, Master Thesis (M.S.), Georgia Institute of Technology, Atlanta, GA, USA.

ประวัตินักวิจัย 2

1. ชื่อและสกุล :

ภาษาไทย	นางสาวสุมนา สิริพัฒนาคุณ
ภาษาอังกฤษ	SUMANA SIRIPATTANAKUL

2. ตำแหน่ง :

อาจารย์ ภาควิชาศิวกรรมเคมี คณะศิวกรรมศาสตร์ มหาวิทยาลัยอุบลราชธานี

3. ประวัติการศึกษา :

ปีที่จบ	ระดับปริญญา	อักษรย่อ	สาขาวิชา	ชื่อสถาบันการศึกษา	ประเทศ
2545	วิศวกรรมศาสตรบัณฑิต	วศ.ม.	วิศวกรรม สิ่งแวดล้อม	มหาวิทยาลัยขอนแก่น	ไทย
2542	วิศวกรรมศาสตรบัณฑิต	วศ.น.	วิศวกรรม สิ่งแวดล้อม	มหาวิทยาลัยขอนแก่น	ไทย

4. ประวัติการทำงาน :

- อาจารย์ ภาควิชาศิวกรรมเคมี คณะศิวกรรมศาสตร์ มหาวิทยาลัยอุบลราชธานี (2545 – ปัจจุบัน)
- ผู้ช่วยวิจัยค้านสิ่งแวดล้อม โครงการงานบริหารและจัดการระบบกระบวนการน้ำ โครงการ โภง-ชี-มูล : ฝ่ายมนารคาน ฝ่ายกุนกวานี และฝ่ายวังบาง ภาควิชาศิวกรรมโยธา คณะศิวกรรมศาสตร์ มหาวิทยาลัยขอนแก่น (2544 – 2545)
- ผู้ช่วยสอน ภาควิชาศิวกรรมสิ่งแวดล้อม คณะศิวกรรมศาสตร์มหาวิทยาลัยขอนแก่น (2544 – 2545)
- ผู้ช่วยวิจัย ศูนย์การจัดการสิ่งแวดล้อม คณะศิวกรรมศาสตร์ มหาวิทยาลัยขอนแก่น (2542 – 2545)

5. ประสบการณ์ในการวิจัยและช่วยวิจัย

- งานวิจัยปรับปรุงระบบการผลิตและคุณภาพอุดสาหกรรมน้ำดื่มสำหรับชุมชน (2546-ปัจจุบัน)
- งานวิจัยการศึกษาสภาพและแนวทางแก้ไขปัญหาอุทกภัยจังหวัดอุบลราชธานี (2546-ปัจจุบัน)
- การวิเคราะห์ผลกระทบสิ่งแวดล้อม : สวนสัตว์อุบลราชธานี (2546)
- งานบริหารและจัดการระบบกระจายน้ำ โครงการ โขง-ชี-มูล (2544-2545)
- งานศึกษาและจัดทำแผนป้องกันแก้ไข ผลกระทบสิ่งแวดล้อมจากการเก็บกักน้ำในด้วยถังน้ำ โครงการน้ำสร้างราย (2544)
- การคิดความตรวจสอบคุณภาพสิ่งแวดล้อม ภาคตะวันออกเฉียงเหนือตอนบน สำนักงานสิ่งแวดล้อมภาคที่ 6 (2544)
- งานวิจัยลุ่มน้ำพอง (2543-2545)
- การศึกษาผลกระทบต่อคุณภาพน้ำจากโปรเจคกรีน (2543-2544)
- การศึกษาผลกระทบสิ่งแวดล้อมเมืองดันโครงการคลองผันน้ำคูฟ้า-เชบ้าย (2543- 2544)
- การคิดความตรวจสอบคุณภาพสิ่งแวดล้อม บริษัท พินิกช พลพ แอนด์ เพเพอร์ จำกัด (มหาชน) (2543)
- โครงการเสริมสร้างประสิทธิภาพการดำเนินการจัดการสิ่งแวดล้อมระดับจังหวัด ประจำปี 2543 สำนักงานสิ่งแวดล้อมภาคที่ 7 (2543)
- การกำหนดเขตพื้นที่ประกอบการอุดสาหกรรม 4 จังหวัด : ขอนแก่น มหาสารคาม กาฬสินธุ์ และเลย (2542 – 2543)
- การศึกษาความเหมาะสมในการปรับปรุงสิ่งแวดล้อมในการทำงานของสถานีวิทยุเสียงอมรริการประจำประเทศไทย จังหวัดอุบลราชธานี (2542)

6. รางวัล และเกียรติคุณ

ธ.ค. 2545 รางวัลประกาศเกียรติคุณสำหรับผู้สำเร็จการศึกษาระดับมหาบัณฑิต เกรดเฉลี่ย 4.00

7. ผลงานวิจัย

7.1 ผลงานวิชาการ

- บทความทางวิชาการในการประชุมวิชาการเกcko ในโลยสัมเมดต์อ้มประจำปี ครั้งที่ 15 : การวิเคราะห์ผลกระบวนการสิ่งแวดล้อมสวนสัตว์อุบลราชธานี (2546)
- บทความทางวิชาการในการประชุมวิชาการสั่งการต้อมแห่งชาติ ครั้งที่ 2 : การหาเวลาที่เหมาะสมในการย่อตัวกอนแบบใช้อากาศด้วยระบบอสบีอาร์ที่อุณหภูมิ เมืองพิลิคและเทอร์โนฟิลิก (2546)
- บทความทางวิชาการในการประชุมสัมมนา The 8th Tri-University international Joint Seminar & Symposium.: Clean Technology in Native Starch Industry (2544)

7.2 ปริญญา ni พนธ

- งานวิจัยวิทยานิพนธ์ : การหาเวลาที่เหมาะสมในการย่อตัวกอนแบบใช้อากาศด้วยระบบอสบีอาร์ที่อุณหภูมิเมืองพิลิคและเทอร์โนฟิลิก (2545)
- โครงการศึกษาวิสากรรมศาสตร์บัณฑิต : การบำบัดโดยเมื่อยนและแมลงกานีสจากน้ำทึบการทดลอง BOD และ COD (2542)

